

Министерство геологии СССР
ЧИЛДНСКОЕ ТЕРРИТОРИАЛЬНОЕ ГЕОЛОГИЧЕСКОЕ УПРАВЛЕНИЕ

Т О С У Д А Р С Т В Е Н Н А Я
Т Е О Л О Г И Ч Е С К А Я
К А Р Т А С С С Р

масштаба 1:200 000

Серия Западно-Забайкальская

Лист № 49-1У

ОБЪЯСНИТЕЛЬНАЯ ЗАПИСКА

Составили Л.Ф.Эйлерман, В.Г.Бородина,
Н.Ф.Башурова
Редактор В.В.Старченко

Утверждено Научно-редакционным советом Всесоюзного
19 апреля 1976 г. протокол № 9

Сдано в печать 16/УП-1980 г.
Подписано к печати 17/УП-1980 г.
Тираж 149 Формат 60х90/16 Уч.-изд. л. 6 л.
Заказ 0149 Корректор Н.А.Судонкина

Ленинградская картографика
объединение "Аэрогеология"
Москва 1980

С о д е р ж а н и е

Стр.

Введение 3

Геологическая изученность 4

Стратиграфия 7

Интузивные образования 46

Тектоника 59

Тектоморфология 70

Полезные ископаемые 71

Подземные воды 78

Оценка перспектив района 81

Литература 83

Список промышленных месторождений 86

Список непромышленных месторождений 87

Список проявлений полезных ископаемых 88

В В Е Д Е Н И Е

Стр.

Территория листа № 49-ГУ ограничена географическими координатами $51^{\circ}20' - 52^{\circ}00'$ с.ш., $111^{\circ}12' - 112^{\circ}$ вл. Она относится к Хилокскому и Ульговскому районам Читинской области и Хоринскому аймаку Бурятской АССР. Рассматриваемая плоскость расположена в пределах Яблонского и Цаган-Хургайского хребтов и их отрогов (горы Атха, Обон), разделенных Хилокской и Гарекинской системами ящиков. Абсолютные отметки водоразделов колеблются от 1100 до 1592 м, их относительные превышения над дном реки составляют 100-400 м. Впадины имеют ширину до 8 км и абсолютные отметки около 900 м.

Главнейшей рекой района является Хилок (ширина русла до 30 м, глубина 1-2 м, скорость течения 0,7 м/с). В период осенних дождей ее уровень поднимается на 2-3 м. Основные притоки Хилка – реки Курган, Хила, Зун-Неметей, Ортина, Тарека. Реки северной части района – Кудун с притоками – относятся к бассейну Уды.

Климат района резко континентальный. Средняя температура января -22° , июля $+25^{\circ}$. Продолжительность безморозного периода около 45 дней. Среднегодовая температура $-3,5^{\circ}$, что обуславливает развитие острожной многолетней мерзлоты, верхняя граница которой располагается на глубине 3-3,5 м. Годовая сезонного промерзания 2-2,5 м. Покое оттаивания завершается в конце июня – начале июля.

Среднегодовое количество осадков 270 мм, 80-90% их выпадает в летний период, преимущественно в июль-август.

Большая часть площади покрыта смешанной тайгой: сосна, редко лиственница, бересклет, осина, кедр. Тополь, стлойный и крепкий лес могут заготовляться на месте.

Население района сосредоточено в долине Хилка в дер. Харатун, пос. Могзон, деревнях Укурек, Улеста, Табут и др. Оно занято обдуванием железной дороги, сельским хозяйством и лесоразработками. Основными путями сообщения являются лесовозные дороги, проложенные

практически по всем крупным падям. Через всю площадь проходит железная дорога.

Обнаженность большей части территории уломостроительная, повышенные мощности рыхлых отложений (30-100 м) отмечаются только в депрессиях.

ТЕОЛОГИЧЕСКАЯ ИЗУЧЕНИЕ СТРУКТУРЫ

Первые сведения о геологическом строении района получены В.А. Обручевым и А.П. Пересыпьевым в 1895-1896 гг. По мнению этих исследователей, Забайкалье сложено икономорфными сланцами, гнейсами и гранитами раннепалеозойского возраста. Прекий фундамент разбит на систему горотов и грабенов. Последние наполнены повышенными утилитарными отложениями.

Геологобъемочные работы №-ба 1:1 000 000, проведенные в 1939 г. А.А. Арсеньевым и В.М. Клевенским на правобережье Хилта [12], И.В. Лучинским и Н.С. Нагибной на левобережье этой реки [19], показали, что геологическое развитие района было многостадиальным. Этапы исходившими разработаны следующая схема стратиграфии и металлизации: глубоко метаморфизованные породы нижнего палеозоя, возможно, докембрий; древнепалеозойские порфиророды и интрузии гнейсо-гранитов и габбро-дунитов; зернистопалеозойский интрузионный комплекс; мезозойский аллювиально-интузивный комплекс, включавший интрузии габбро-диабазов и все индепрессионные эрозионно-осадочные образования, обособленные А.А. Арсеньевым в паган-курганскую синзу; континентальная утилитарная синза позднепалео-раннемелового возраста; мезо-кайнозойский комплекс базальтовый.

В результате геологобъемочных работ №-ба 1:200 000, а затем тематических исследований, проведенных в 1954-1961 гг. под руководством В.И. Фельдмана, были составлены геологическая, гидротектоническая карта и карта полезных ископаемых листа №-49-ЛУ. Авторами в рассмотренную выше схему стратиграфии и метаморфизма внесены следующие уточнения: установлено наличие каменноугольных отложений; из мезозойского аллювиально-осадочного комплекса выделена харгатинская синза среднепалеозойских пород; паган-курганская синза, по А.А. Арсеньеву, в соответствии с легендой западно-забайкальской серии была приращена по объему ко всем докембрийско-палеозойской Бурятии и расщеплена по составу на три синзы: Петровгольскую, Голимскую и Чаган-Хунтейскую; выделены интрузии, прорывавшие раннепалеозойские вулканы: триасовые шлаковые граниты и послепалеозойские вулканы и габбро. Поисковыми работами этих авторов установлена кинетика перспективности территории на рудные полезные ископаемые.

Отмечены незначительные проявления молибдена. Выявлены слабые металлогенические ореолы рассеяния цинка, олова, вольфрама, берилля. Указано наличие строительных материалов: кирпичных глин, камня, гравия, галечника.

В 1956 г. проведена зономагнитная съемка №-ба 1:200 000 [3, 23], материалов которой позволяют выделить основные тектонические структуры района. Для этих же целей могут быть использованы данные гравиметрической съемки №-ба 1:1 000 000 [17].

В 1958 г. А.Л. Пальцов провел поисковые работы на редкие и рассеянные элементы в бассейнах Оргинки, Тайдутки, Янной, Загарино и признал эти участки бесперспективными.

В 1958-1962 гг. Г.И. Менакером и В.Л. Лисичиным проведенымагнитно-грави- и электроразведка в Хилковской зоне депрессионных структур. В результате определен однотип геоструктурный план депрессий, выявлены важнейшие разломы, определены мощности верхнепалеозойских отложений.

Обобщение данных по геологии рассматриваемого в определенных районах проводится в т. XXXII "Геология СССР (Читинская область)".

В 1962 г. опиcованы и оценены как бесперспективные металлогидротектонические ореолы берилля, выявление В.И. Фельдманом в первоиль Оргинки (Наморга, Ильченко). В 1965 г. В.Я. Ильченко опиcована Загаринская проявления молибдена и дал ему отрицательную оценку.

С 1957 по 1969 г. на территории листа проводятся крупномасштабные (1:25 000) аэрогеоразведочные исследования: гамма-магнитная съемка; аэлектроразведка (метод БИК) и гамма-спектро-магнитная съемка [15].

Начиная с 1964 г. проводят поисковые и оценочные работы на редкие металлы партии Территориальной экспедиции.

В 1965 г. И.Н. Фомин защитил диссертацию, в которой обобщил материалы геологических съемок №-ба 1:200 000 в междууречье Кудла, Хилка и Игиды и провел формационный анализ геологических образований района.

В 1959-1966 гг. исследованиями Л.А. Козубовой [18] установлено широкое развитие в пределах Хилковской зоны пород раннепалеозойской интрузионной серии, которая подразделяется этим автором на парагорскии, Кударинский, Ольхинский, малокутнайский и Гулдурский комплексы. По же первые в регионе выделены нижнепалеозойские вулканические образования.

В 1969 г. было завершено составление металлогенической карты Центрального Забайкалья №-ба 1:200 000 и обследование залива №-бай 21. Авторами установлено, что вулканогенные образования лже-

да-Хилокской серии состоит из двух разновозрастных групп - ранней (черногоровская и тамирская съемки) и поздней (лаган-Хунгейская съемка), разделенных перерывом, к которому приурочено интенсивное биотургическое комплекса. Последний, по мнению В.В.Старченко, объединяет явагатольский, Кударинский и Очуурский комплексы Л.А.Бозуевой. Определена молибден-релькометальная металлогеническая специализация Хилокской зоны, в которую входит и описываемая площадь. В процессе составления металлогенической карты Л.А.Мещанином собраны и проанализированы результаты геофизических работ на этой территории, проведенного районирования геофизических полей. Выделены поля, соответствующие стабильным блокам земной коры различного типа и участкам, претерпевшим в палеовое и мезовое тектономагматическую активизацию.

В 1969-1972 гг. проведены геологотъемочные и покровные работы м-ба 1:50 000 на площади листов №-49-19-А, Б [26] и №-49-8-Г [14]. В результате было установлено, что мезовозрастные магматические образования представляли трёх вулкано-плутонических ассоциаций:

триасовой, раннепермской и позднепермской. Уточнен объем этих подразделений, расшифровано строение вулканических построек. В образованных лаган-Хунгейской съемки собраны остатки флора, позволяющие уверенно датировать ее ранней ирой. Уточнен объем палеозойской интрузии. Выявлен ряд геохимических, гидрохимических и шлиховых образцов, а также источники обилийных камней. Геологотъемочные работы крупного масштаба сопровождались наземными геофизическими исследованиями, которые позволили более расширять внутреннее строение вулканических построек и позднемезозойских эндлин.

В 1970-1972 гг. В.И.Сизик, В.Е.Колесников и Л.Л.Позднякова провели исследование рудности гранитных массивов северной части рассмотриваемого района. Выявлены зоны слабо грейзенизованных, микроклинисторных и пропилитизированных пород.

В 1973 г. на площади листа проведена гравиметрическая съемка м-ба 1:200 000 [16], материалы которой использованы для выделения разновозрастных структур и зон разломов.

Основой для составления настоящей геологической карты послужили данные, полученные Укурской партией Комплексной геологотъемочной экспедиции Читинского геологического управления в 1973-1974 гг. в процессе геологического документации м-ба 1:200 000 - Л.Е.Эйдельманом, В.Г.Бородиной, Д.В.Сапуновым, Т.С.Джаловой [27]. Полнота использования данных съемок м-ба 1:50 000 [14, 26], а также первичные материалы съемки м-ба 1:200 000 [24], дающие Территориальной экспедиции и геофизические материалы в основном среднего масштаба. Интерпретация их проведена под руководством В.Л.Огородникова. В процессе работы используются авторитетные схемы м-ба 1:47 000 и 1:25 000 удовлетворительного качества и плохой печатируемости.

Все лабораторные исследования проходили в Центральной Комплексной лаборатории ЧГУ. Сторово-пильные комплексы изучены А.А.Смирновым, радиологический возраст пород определяет А.Г.Саксоним, химические анализы выполнены С.С.Белобородько, Е.В.Саргиной, А.И.Федоровой, минерологические - А.А.Лисовской, Е.Н.Батагулиновой и др., спектральные анализ проведены под руководством В.И.Сисовой.

С опубликованными картами листов №-49-Ш, №-49-У и №-49-ХХII составленная карта имеет существенные неувязки. Они обусловлены принципиально иным расчленением геологических образований на основе нового фактического материала и использования данных съемок м-ба 1:50 000 и крупнее [14, 26, 27]. С подготовляемыми к изданию Читинским территориальным геологическим управлением листом №-49-Х схемки контуров и легенды полигонов.

Сведения о полезных ископаемых даны на карте по состоянию на 1 ноября 1975 г.

С Т Р А Т И Г Р А Ф И Я

Стратифицирование образований слагает около 20% территории. Среди них выделяются породы нижнего и верхнего протерозоя, кембрий (?), нижнего карбона, нижнего-среднего триаса, нижней, средней и верхней иры, нижнего мела и осадки четвертичного возраста.

Одновозрастные вулканические группы слагают единые вулканотектонические структуры, а породы и единые тела. Обычно они склонны по внешнему облику, петрографическим и петрохимическим признакам и отличаются только характером залегания. Нередко на геологической карте они разделены условно. В связи с этим, а также для более полной характеристики строения вулканических построек в настоящем разделе приводится совместное описание обеих групп вулканических образований.

ПРОТЕРОЗОЙСКАЯ ГРУППА, НИЖНИЙ ПРОТЕРОЗОЙ

Малханская серия первоисследования (PR_{1m})

Малханская серия развита в юго-восточной части площади на юго-западе и южных склонах Яблонского хребта. Она представлена линейными с редкими линзами амфиболитов мощностью 5-10 м. Эти породы слагают небольшие (от первых квадратных метров до 2,4 км²) складки в раннепротерозойских гнейсо-гранитах. Складки имеют пластинкообразную форму и расположены согласно с ориентировкой гнейсовойности в гнейсо-гранитах, с которых они образуют единую

структуру – гнейсо-гранитный купол. Стимарная мощность пород в складках (под Былтия) около 1000 м. Породы повсеместно интенсивно метаморфизованы и превращены в послойные и теневые магматиты.

Тнейси – темно-серые мягко- и тонкозернистые полосчатые, реже очковой текстуры с порфирибластами кальевого полевого шпата. Структура их лепидотово-блестяческая. Минеральный состав: птишоклаз (I-II генерации – ксеноморфные реакции интенсивно спиритизированных зерен, 2-я генерация – скелет олигоклаз № 30) – 30–50%, зеленая роговая обманка – 5–10%, зеленовато-бутий блит – 20–25%, кварц – 15–20%, кальцит полевой шпат – 5–10%; акцессорные минералы – апатит, циркон, ортит, сфен, рудный минерал.

Амфиболиты черные наименослаицентные. Структура их неметаморфо-блестяческая. Минеральный состав: интенсивно серпентинизированный птишоклаз – 15–25%, зеленая роговая обманка – 70–80%, сфен и рудный ми-

нерал – 2–5%. Таким образом, для пород серии характерны разновесные минеральные ассоциации амфиболитовой фации метаморфизма. Образования мактанской серии обнаруживают большое сходство с тундро-и степени метаморфизма они обнаруживают большее сходство с тундро-и степени метаморфизма, для которой, как и для описанных образований, характерна неразрывная связь с гнейсо-гранитами. В связи с этим мактанская серия датируется так же, как и Гунировская, для которой принят раннепротерозойский возраст [21], но существует точка зрения, что последние относятся к верхнему архею [17].

ВЕРХНИЙ ПРОТЕРОЗОЙ

Застепинская свита (PR_{3,2a})

Застепинская свита представлена блестяческими и блестя-щесерпентиновыми сланцами. Они развиты на северном склоне Былтонского хребта, где слагают поле, вытянутое в северо-восточном направлении (12x4 км) согласно с общим простиранием Ортинской зоны, к которой они приурочены (см.рис.3).

Определяемое породы с базальными конгломератами в основании (мощность около 100 м) залегает на раннепротерозойских образованиях выше конгломератов следует толща метагравелитов с прослоями метапесчаников и линзами метаконтактомагматитов. Мощность толщи 800–1000 м.

Венчается разрез толщей метапесчаников с прослоями (50–100 м) метагравелитов – около 1000 м. Общая мощность свиты около 2000 м.

Конгломераты сложены растянутыми гальками и валунами размером до 30–40 см. Обломочная структура их видна очень четко. В менее грубых разностях она в значительной мере затушевана. Так, метагра-

велиты и мелкогалечные конгломераты макроскопически представляют собой серые мелко-тонкосернистые сланцеватые породы с многочисленными (20–25%) белыми линзовидными размером от 2x3 до 5x10 мм – уплощенными гальками и гравийными частичками. Метапесчаники – светло-серые тонко-мелкозернистые наименослаицентные породы, иногда со слабо выраженной (раннитовой) структурой. Они аналогичны заполнителю в континератах и гравелитах. Структура их блестячесамитовая. Обломочные материалы во всех породах представлены гнейсо-гранитами, реже алитами, кристаллическими сланцами и гнейсами, а также раздробленными зернами кварца, птишоклаза и светло-желтого пегритового граната, характерного для гнейсо-гранитов раннего протерозоя. Очень редко встречаются обломки метасланцевиков южного состава. Основная толща пород состоит из гравеластового агрегата кварца (30–40%), птишоклаза (15–20%), олигита (10–20%), мусковита (0–15%), кали-шата (15–20%). Аксессорные минералы нередко окатаны и представлены гранатом, цирконом, апатитом и сфеном.

Минеральный состав пород и их структура свидетельствуют о том, что они претерпели распадение и динамометаморфизм. Минералы высоких ступеней зеленослаицентной – низких ступеней эпидот-амфиболовой фации. В породах содержится повышение концентраций V, Sc (3,3–8,2 киларта), Nb, Y, U, Zr, Ce (1,4–1,8 киларта).

Описанные образования по составу, степени метаморфизма и стратиграфическому положению аналогичны породам стратотипа застепинской свиты 5, которая ранее рассматривалась в качестве самого молодого члена мактанской серии. Полученные нами данные о несогласии залегания описанных образований на гусько-метаморфизованных породах мактанской серии и сформированных за их счет гнейсо-грунтов, а также о значительно более низкой степени метаморфизма отложений застепинской свиты указывают на недавнююность отнесения их к мактанской серии. Возраст свиты принимается (в значительной мере условно) позднепротерозойским, так как она близка по стратиграфическому положению и формационным признакам к низам разреза даурской серии Восточного Забайкалья, датированной на основании палеонтологических данных [22].

ПАЛЕОЗОЙСКАЯ ГРУППА, КЕМЕРИЙСКАЯ СИСТЕМА

Н и ж и и о т л е л (?) (ε₁?)

Образования, условно датируемые ранним кембрием, слагают ряд небольших (до 3 км²) кислолитов в гранитоидах позднего палеозоя (среднее течение Мал.Улентуя, правобережье Ахи) и трапов (низовья

Черного Желкса, верхояя Кингера). Они представлены метаморфизованными липаритами и пакетами. Небольшая плодородность развития, отсутствие стратиграфических контактов и очень плохая обнаженность не позволяли составить разрез описываемой толщи и выяснить характер сложения ее структур.

Метаморфизованные липариты – серые и розово-серые породы (с выраженным полевого шпата или кварца в полевого шпата) и зеленоватые породы. Они сложены кварцем (30–40%), плагиоказом (20–45%), кальцитом (20–30%), биотитом (0–10%) и амфиболом (0–10%). Давиты отличаются от липаритов меньшим количеством кварца (10%), каменистого (3–5%), повышенным содержанием плагиоказа (60–80%) и темноцветных минералов (10–15%). Вкрапления уплотнены и расщеплены в тонкие линзочки. Основная масса обладает микротрансекстостовой (роговиковой) структурой. Разработанность вкраплений и наличие участками динамично-полостчатой текстуры указывают на то, что под роды претерпели динамический метаморфизм.

Описание метаморфизов можно продолжить маханская серия, так как они слабее метаморфизованы и на соседней с запада территории образуют самостоятельную структуру, находящую на структуру раннепротерозойских образований [25]. Верхняя возрастной предел рассматриваемой толщи устанавливается по прорывам метаморфизов позднедиагенезисных гранитоидами. От ортинской и застенской свит, именем которых отмечено относительное возрастные рамки, описание образования отличаются иным составом. Учитывая, что к северу от изученного района интенсивный кислый пуканит проявился в раннем кембрии (одиннадцатая свита), мы условно датируем ранним кембреем и рассмотренную толщу метаморфизов.

КАМЕННОСЛОЙНАЯ СИСТЕМА

Нижний отдел

Ортинская свита (Ст. ог.)

Ортинская свита сложена песчаниками и алевролитами с полиминеральным количеством гравийных и конгломератов. Она развита в междугорье Пестанки – Бод.Хаджигата (8,5 км²) и в верхоях Ортина (9 км²), вдоль северного края южного экстрема горнодайского фундамента. В обоих выходах порода имеет пологое (10–35°) моноклинальное падение на северо-запад.

Пестанское поле представляет собой квадрат в гранитоидах позднедиагенетического возраста. Здесь схематический разрез свиты, со-

ставляемый по элювию и отдельным обнажениям, имеет следующий вид (схему внизу) в м:

1. Конгломераты мелко-среднегальванические	100
2. Пересыпь конгломератов и песчаников	150
3. Песчаники средне-мелкозернистые	200
4. Пересыпь песчаников, песчанистых алевролитов и алевролитов при преобладании последних	500
Общая мощность по разрезу 950 м.	

Ортинское поле с юга ограничено разломом, а на севере эти отложения со слабо выраженными следами размыва перекрываются эйбузинско-осадочными образованиями красноватого возраста. В этом поле свиты сложены более тонкослоистыми отложениями, чем в Пестанском, что видно из разреза, состоявшегося по элювию и горным выработкам. Здесь снизу вверх прослеживаются (в м):

1. Песчаники крупно-среднезернистые, гравелитистые с линзами улистых алевролитов мощностью до 1 см	620
2. Алевролиты с чешуйкой горизонтальной слоистостью	80
3. Песчаники крупно-среднезернистые гравелитистые, вверх по разрезу сменяющиеся мелко-среднезернистыми алевролитами песчаниками	200
4. Алевролиты улистые с тонкой горизонтальной слоистостью	140
5. Песчаники алевролиты с прослоями (до 1 м) улистых алевролитов	250
6. Алевролиты улистые тонкослоистые	180

Всё это заливает тымирскую свиту. Общая мощность ортинской свиты по разрезу 1470 м.

Сравнение описанных разрезов позволяет предположить, что об разование Ортинского поля с пачки 2 наращивает разрез Пестанского. Таким образом, общая мощность ортинской свиты определяется приближительно в 1800 м.

Конгломераты мелко-среднегальванические. Количества гальванических конгломератов и гравийных

от 7 до 30%. Она представлена гнейсо-гравийными конгломератами и гнейсами раннепротерозойского возраста. Заполнитель – мелко- среднезернистый пестанник. Заполнение базальное. Конгломераты рассланцеваны: талька уплотнена, а породы вытянута в тонкие линзочки. Пестанники от мелкозернистых гнейсистых до средне-крупнозернистых гравийных массивные, реже – с тонкой горизонтальной

слюдистые арковые. Структура пород блокосамитовая с элементами каталястической: пемза перекристалзован, превращен в кварц-серпентиновый агрегат.

Алевролиты упакованные тонкокомпактные. Обломочный материал представлен кварцем и пелевыми шпатами. Тонкорасчлененное упакованное зерно составляет 20-50% породы. Иногда наряду с ним присутствует обугленный растительный лагарт. Структура блокосамитовая. Как и в песчаниках, цемент превращен в кварц-серпентиновый агрегат.

В породах санти в концентрациях, превышающих 1 км/км², породы наряду с кварцем и пелевыми шпатами, включают в себя 2-4 раза, содержание Pb, Zn, Nb, U, Yb, Zr, Ce в 5-8,2 раза "Ч и Со."

Георгенический состав ортинской свиты, а также обогащенность ток-козеристых пород углистым веществом указывает на то, что нахождение санти происходило в континентальных или прибрежно-морских условиях. Городы претерпели лигнотермальный метаморфизм флилитовой фации.

Непосредственно к южному от описанной территории в отложениях ортинской свиты И.Н.Фоминым собраны остатки *Lepidostegia sp.*, по определению О.М.Борсук, характерные для нижнекаменноугольных отложений [9].

МЕЗОЗОЙСКАЯ ГРУППА, ТРИАСОВАЯ СИСТЕМА

Нижний - средний отделы

Тамурская санти (Т-2тн)

Описываемые образования представлены липаритами, дацитами, андезитами, базальтами, конгломератами, песчаниками, алевролитами. Они занимают площадь около 650 км² и развиты в пределах двух зон северо-восточного пространства: Куючской на севере и Бодгаринской на юге. Образования указанных зон заметно отличаются по набору пород и их фациальной принадлежности. В первой развита преимущественно субулкантические образования, во второй - породы стратифицированной группы фаций.

В Бодгаринской зоне тамурская санти выходит две впадины: Айтинскую и Обонскую, расположенные соответственно в низменностях и в пределах хр.Ооб.

Отложения Обонской впадины застегают на гранитопах протерозойского и палеозойского возраста и породах ортинской свиты. В целом они образуют крупный приподнятый риг, никакая часть которого сложена конгломератами, верхняя - песчаниками и алевролитами. Покров базаль-

того прилегает к низам разреза и распространяется в южной и восточной частях впадины. Алевролиты слагают серию экструзивных тел (АТ-2) площадью до 3 км² в осевой части эпигенета. Некоторые из них на разных ступенях биогенных уровней, они проникают один в другой и с различной интенсивностью на правобережье этой реки. Здесь на утильных алевролитах ортинской свиты, моноклинально (230-35°) падая на север, залягают (в м):

1. Конгломераты мелко-среднегравийные чужка-номитовые с обломками подстилающих алевролитов	130
2. Песчаники среднезернистые пулансито-вие	100
3. Конгломераты мелко-среднегравийные чужка-номитовые	120
4. Песчаник алевролит	80
5. Андезито-базальты пластикоморфные крупнопорфирные	150
6. Базальты мелкодорфирные	120

Мощность по разрезу 700 м.

Более высокая часть разреза санти изучена по залежам, лежащим в отдельном обрамлении на левобережье Ортике. Здесь на базальтах, по-видимому, относящихся к горизонту 6 описанного выше разреза, моноклинально падают на юго-запад (45°), залегают (в м):

1. Конгломераты мелко-среднегравийные	100
2. Липариты полевошпатовые (экструзии) ..	100
3. Конгломераты, аналогичные породам слоя 2	450
4. Базальты афировые плотные	170
5. Конгломераты разнотекущие	120
6. Базальты афировые мелкодорфирные ..	10
7. Песчаники крупно-среднезернистые	250
8. Конгломераты разнотекущие с редкими вкраплениями	450
9. Базальты мелкодорфирные интрузивные	
10. Алевролиты горизонтально-слоистые	100
Итого по разрезу 2020 м. Общая мощность свиты в рассмотренной части впадины около 2700 м.	

К югу от описанного разреза в составе санти увеличивается количество базальтов, песчаников и алевролитов, к западу, наоборот,

горизонты песчаников и базальтов выклиниваются. Здесь слоята сложены преимущественно континентальными и мощность ее увеличивается до 3900 м.

В Альменской впадине тимирская сияя тахио представлена преимущественно континентальными и лишь в юго-западной части содержит повышенные базальты мощностью 20-25 м и небольшие экструзии липаритов.

В Кунгурской зоне наиболее крупные полы описаныими пород (150-200 км²) расположаются в северной части хр. Чисты-Уртас, в районе

рек Тулгов Балата, Кудын-Сарын, Токтор-Сарыр, Серия более мелких (10-15 км²) выходов развиты в сассинах Бол. Саранка, Баргуз. и Чук-Ненецкая, Баргуз. Илки. Они представлены только пустынниками. Базальты известьяно-базальты, эпидемит (трехмерные) слагают серые зелено-серые разрозненные таб (общая площадь 11 км²), представляющие собой конгломераты в гравийниках байкальского комплекса и суббураинских липаритах. Незначительные размеры выходов и плохая обособленность не позволяли составлять разрезы толщи среднесосисных эйдитовых.

Среди кислых и умеренно кислых вулканитов рассмотреваемой 30-ки (390 км²) выделяются пластиковые, кварц-пластиковые и эпидемитовые липариты, пластиковые липарито-диабазы, диабазы, редко - арагидриты. Поролы каждого разновидности слагают самостоятельные табы. Принадлежность некоторых из них к суббураинской группе фаций установленася по достаточно определенно по антиным контактам или по распространению однородных пород на большой площади, а также по распределению сплошных или тем, а также кольцевому отсутствию пирокластических и зулманитово-осилических образований. Так, крупные (200 км²) тело кварц-полевошпатовых липаритов в районе гольца Реда-та имеет зональное строение: эпидемитохрома зона (1-4 км) сложена лавобреками, в которых от периферии к центру уменьшается размер и количество обломков как собственных, так и имеющих пород, в ос-

тальной части тела — очертание липарита. Отмечается лишь некоторое улучшение их раскрытия к центру тела. Форма это, по всей вероятности, пластина: несмотря на повышенную плотность и роль, оно расположается в пределах интенсивного гравитационного минимума.

Среди обширного поля описываемых вулканитов, расположенного в верховых рек Ара-Бархи и Кунгурки, преобладают кислые и умеренно кислые эйдитзы с арагидритами полевого шпата. Породы пестрые бело-серые, широко развиты лавобреки. Все это, а также пологое изменение флюидальности указывает на преобладание излившихся разновидностей.

Последовательность формирования тимирских вулканитов в Кунгурской зоне устанавливается по наличию обломков одних разновидностей в других (от ранних к поздним): эйдитзы среднего и основного соста-

ва; пластиковые липарито-диабазы, пакеты; пластиковые липариты; кварц-пластиковые липариты.

Базальты темно-серые с беловатым оттенком плотные, редко мицеллективные; обычно с крупными вкрапленинками пластиказза, реже — микропорфировые и эпироровье. Минеральный состав наиболее сложен: пластиказз (во вкрапленинках № 50-55, в основной массе № 38-40) — 45-55%, моноклинный циркосен — 10-15%, роговик обманка обмановская — 0-2%, оливки и кварц — единичные зерна, вторичные минералы по стеклу — сернит, хлорит, эпидот, рутил, минерал, ильмитит — 30-40%. Структура основной массы интесерталльная микродабазовая, субтектовая.

Андиезиты, трактандезиты отличаются от базальтов более светлым окраской. Их минеральный состав: пластиказз (во вкрапленинках № 40-45, в основной массе № 32-34) — 55-70%, циркосен моноклинный № 10%, роговик обмановская — 10-20%, кварц — 2-3%; вто-ричные минералы по стеклу — рутил (5-15%), сернит, хлорит (5-10%). Структура основной массы пилотактическая, интесерталльная. Найданны во всех описаных породах включения хлорита, квар-бокситом, гидроокисями жадеита.

Липариты арафитовые и криптозернистые темно-серые до черных массивные, редко ксанторифидальные, содержат вкраплениники белого полевого шпата (пластиказз № 23-32, редко перлит-антитертий) или полевого шпата и кварца, единичные зернушки другого сиотита. Основная масса кварц-полевошпатовая с 1-2% темноцветных минералов, полностью замещенных хлоритом. Структура ее фельзитовая с редкими сферолитами участками и обособлениями тонкозернистого кварца.

Диабазы, трактандезиты макроскопически склонны с липаритами. Вкраплениники в них сложены пластиказзом, иного в отличие от липаритов зональным. Фенокристаллы кварца очень редки. Основная масса сложена полевым шпатом, кварцем, полностью разложенным стеклом и темноцветными минералами, замещенными агрегатом хлорита, эпидота, лейкоксена (20-50%). Структура ее микропакитовая, микролитовая до пакетиков, редко — фельзитовая.

Лавобреки кислых и умеренно кислых эйдитовых содержат до 40% чужеродных и собственных обломков. Последние отличаются от связанных массы меньшей степенью раскрытия или другим ее характером.

Континентальные разновидности, редко с единичными включениями. Оквазиты массы мелких степеней раскрытия или другим ее характером.

Континентальные разновидности, редко с единичными включениями. Оквазиты массы мелких степеней раскрытия или другим ее характером.

Вулканитовый, особенно в Обинской впадине, где преобладает гипака, экструзионных липаритов. В базальных горизонтах смыт, по видимому, предшествовавших формированию большей части липаритовых таб.

пребывает талька гранитовых палеозоя и протерозоя. Несколько над покровами базальтов до 70% тальк представлено этим породам. Заполнитель (20-40% породы) - вулканогеной разновидностью гравелитовой пещанки, заполнение базальтоное.

Песчаники различной зернистости залегают-серые и серые массивные, полимиктонные. Они сложены плохо-и среднекоксажными зернами кварца, полевых шпатов, кислых и основных аффильтров. Цемент представлен серцитом-кварцом-полевым шпатом материалом.

Алевролиты зелено-серые и темно-серые массивные или с редкой горизонтальной стяжностью, по составу аналогичны элементу песчаников.

Вторичные преобразования ранне-среднотриасовых пород в целом соответствуют высоким ступеням алигации и переходу вулканитов из единиц в палеотипы. История шата в них серийизирована, открыто и замкнутые минеральные разломы (пироксен и амфибол земноводного якоря), оливин - магнезитом). Структур перекристаллизации основной массы не нарушается. В юго-западной части Оюской машины в зоне Карпатского разлома (ширине 2-4 км) породы интенсивно рассланцованны. В континентальных тальках уплощены и растянуты так, что породы затягиваются граници между тальком и заполнителем, в зернушках среднего и основного состава растянуты вправо-вправо, пластинация. В целом в зонах динамометаморфизма породы претерпели изменения, соответствующие низким ступеням залегающих тектонических фаций.

Описание вулканитов представляют собой петрологически единую серию пород с содержанием кремнезема от 51,3 до 76,3% (табл. I). В целом они являются промежуточными между сериями Лассен-Пик и Сан-Франциско. Средние и кислые разности по содержанию полевомаштавовой известняк приближаются к породам типа Этих. К указанным ассоциациям близки ранне-среднепримитивные вулканиты и по индексу Пика, равному 56. Особенность их является резко выраженная напряженность.

Вулканиты содержат в концентрациях, превышающих километр в 1,1-2,4 раза, Ni, Cu, Pb, Mo, As, U, Zr. Резко повышена концентрация Sc (5-13 километров).

Рассмотренные вулканиты по минеральным и петрологическим особенностям близки к типичным представителям трахикандидитовой формации, по Ю.А.Кузнецовой. По соотношению пород различного состава они могут быть выделены в трахикандидит-липариевую формацию.

Относительное возрастное положение описанных образований определяется следующим. Таманская свита залегает на ортинской свите раннекаменноугольного возраста и в базальных горизонтах содержит тальку ортинских углистых алевролитов (верховье Ортинга), а субвулканические липариты прорывают метаморфизм кимбрия [26] и трахикандидиты

таких позднепалеозойского возраста (Гол.Речка). Они прорывают гранитоиды южного комплекса (юж.Кулуручи) и липариты района (левобережье Бол.Саранка). При этом между структурами, сложенными тамарским вулканитом и сибирским гранитоидом, с одной стороны, и центрально-курганским вулканитом и антиклиналью гранитоидами, с другой, наблюдаются четкие структурные несогласия. По стратиграфическому положению и составу описаные образования аналогичны тамарской свите для Бурятии, в которой обнаружены остатки флоры нижнемиоценового триаса [4]. На триасовый возраст указывает и большинство определений радиохронического возраста описанных пород (табл.2).

ИЮСКАЯ СИСТЕМА

Нижний отдел

Нижний верхний частях. Отложения нижней и верхней частей отеля (лаган-курганская свита), и связанные с ними суббукинитические образования представлены белочными эфузиевыми различного состава: от основного до кислого. Они развиты в пределах двух текстовомагматических структур: Черновской и Казарта-Немецкой. Первая заходит на территорию листа (низыья Чёрного Копейского) своим южным окончанием. Вторая протягивается по речному стоку Хр.Патан-Хургай и хребту Атга от западной границы листа до р.Зурган. Начинается на 62 км. Ширина структуры 10-25 км. На всем протяжении она ограничена разломами, за которыми отмечается лишь редкие даек раннеюрских пулканитов.

Хазарта-Немецкий вулканиты состоят из двух сопряженных вулканотектонических структур второго порядка: Хургайского линейного грабена и притянутого к нему с востока Загаринского куполовидного поднятия. В пределах грабена как в современном срезе, так и на глубине до 300 м образования, подстилающие описываемые, не сокрушены. Поэтому ниши разреза нижней поры и его полная мощность здесь неизвестны. В нижней части разреза свиты вообще отсутствуют. Нижняя часть отеля представлена средними и основными аффильтрами, верхняя - кислыми. Эффузивы каждой части отеля сопутствуют субвулканическим обрывозависимым склонам состава. Среди средних и основных вулканитов преобладают породы структурно-диоритовой группы фантий, среди кислых - эфузиевые и суббукинитические тела.

Нижняя часть (5¹) представлена серыми потоков трахикандидитов, трахикандидитов, трахикандидит-диабазитов и трахикандидитов. Они слагают ряд крупных (10-100 км²) разобщенных полей в бассейнах Бол. Саранка, Хургай, Бол. и Мал. Улентя, Бол.Ключ. Кроме того, доле-

Таблица I

Химический состав и числовые характеристики по А.Н.Завариному

Номера образцов	Компоненты												Сумма
	SiO ₂	TiO ₂	Al ₂ O ₃	Fe ₂ O ₃	FeO	MnO	MgO	CaO	Na ₂ O	K ₂ O	nmn	P ₂ O ₅	
464-2	47,8	2,442	I7,06	IO,02	2,08	0,156	3,65	7,68	3,70	0,74	3,75	0,82	99,87
619-2	54,74	I,35	I5,02	5,00	6,89	0,18	3,35	6,57	3,60	I,86	I,09	0,56	99,94
620-2	58,60	I,20	I7,33	2,53	4,30	0,15	2,15	4,39	5,05	2,70	0,70	0,34	99,44
622	66,6	0,63	I6,55	I,60	2,87	0,II	I,18	I,97	4,90	2,70	0,22	0,12	99,45
209I	69,00	0,46	I5,90	0,99	2,94	0,II	0,87	I,97	4,65	2,70	0,30	0,10	99,99
I27	7I,44	0,28	I4,60	0,00	2,40	0,07	0,50	I,08	3,30	5,00	I,20	0,07	99,94
2076	76,26	0,23	I2,45	0,12	I,73	0,10	0,31	0,44	3,55	4,30	0,33	0,08	99,90
97	48,58	I,36	I7,I7	3,28	7,52	0,18	6,18	7,55	4,03	I,13	2,05	I,00	I00,2
C-I7-42	57,39	I,30	I6,8I	3,90	3,95	0,12	2,84	4,55	4,67	2,70	I,40	0,30	99,96
C-I3-2015	6I,60	0,90	I6,08	3,32	4,02	0,146	I,18	2,63	5,30	4,20	0,75	0,29	I00,4
495-2	7I,I4	0,30	I3,60	2,35	3,5I	0,09	0,24	0,44	4,15	4,60	0,40	0,08	I00,90
2203-5	72,50	0,44	II,5I	2,37	2,83	0,07	0,40	0,77	3,77	5,30	H.o.	0,07	I00,03
I499-5	78,6	0,22	8,35	2,85	I,36	0,08	0,43	0,26	2,65	4,I0	0,82	0,03	99,75
C-300-388	46,6	2,I7	I7,56	9,76	I,79	0,16	3,16	6,17	6,05	I,26	4,7	0,9	I00,24
C-7-35	59,00	I,8I	I5,7I	2,58	4,67	0,125	2,3I	4,2I	4,65	3,00	I,7I	0,30	I00,07
I90	66,34	0,50	I5,69	2,36	2,5I	0,044	0,16	0,11	6,00	5,80	0,87	0,09	I00,47
I84	7I,82	0,40	I4,04	0,94	I,58	0,025	0,40	0,44	3,80	5,30	0,76	0,02	99,52
75	74,94	0,16	I2,54	0,79	2,I5	0,049	0,44	0,6I	3,15	4,30	I,0I	0,03	I00,25
7080-I	75,00	0,15	I2,87	0,90	I,60	0,04	0,3I	0,87	3,60	4,60	0,50	0,03	I00,47
6073-I	76,00	0,12	II,66	0,22	2,40	0,03	0,45	0,54	2,20	6,I0	0,70	0,020	I00,44
340	53,7	I,35	20,05	3,62	3,37	0,12	3,26	7,08	4,20	I,14	I,75	0,27	99,91
333-2	6I,8	0,8I	I6,46	3,26	2,72	0,106	2,76	3,56	4,15	2,50	I,92	0,19	I00,23

Номера образцов	Компоненты												Сумма
	SiO ₂	TiO ₂	Al ₂ O ₃	Fe ₂ O ₃	FeO	MnO	MgO	CaO	Na ₂ O	K ₂ O	пнп	P ₂ O ₅	
I94-a	54,8	I,19	I6,58	4,6.	5,I	0,117	3,83	6,53	4,4	I,48	0,82	0,39I	99,84
247	66,4	0,47	I6,63	2,03	2,15	0,09	I,08	3,I5	4,80	2,30	0,50	0,12	99,72
I68	69,0	0,48	I4,54	I,90	2,5I	0,09	I,33	3,06	4,20	2,60	0,45	0,089	I00,25
I289-I	68,I	0,46	I6,0	0,45	I,43	0,06	0,98	2,46	4,70	3,20	0,65	0,14	99,63
979	69,5	0,42	I4,43	I,08	2,87	0,05	0,98	2,24	4,3	4,2	0,15	0,089	I00,33
I79	7I,24	0,22	I4,37	0,55	2,0I	0,035	I,I	I,52	4,25	3,7	0,47	0,055	99,5I
2207	75,2	0,I7	I2,9	0,33	I,36	0,094	0,5	0,55	4,15	4,I	0,48	0,032	99,89
I60-5	53,65	I,58	I6,63	3,52	4,80	0,14	3,95	5,33	4,20	3,90	I,97	0,42	I00,09
I64	58,64	I,50	I5,52	3,30	4,05	0,08	I,95	3,9I	5,55	3,30	I,63	0,42	99,85
4264	65,45	0,80	I5,30	I,69	3,46	0,10	I,87	3,15	4,I0	3,30	0,80	0,0I	I00,03
619-3	67,88	0,77	I5,50	0,78	2,72	0,09	I,07	2,04	4,55	3,80	0,78	0,12	I00,00
2313-3	70,72	0,48	I4,25	I,70	I,38	0,073	0,55	0,6I	4,60	5,20	0,37	0,08	I00,0I
24	7I,57	0,40	I4,83	0,95	I,65	0,068	0,66	I,18	4,35	3,15	I,03	0,12	99,96
9	75,86	0,23	I3,00	0,64	0,75	0,016	0,15	0,42	4,25	4,00	0,44	0,07	99,82
549	62,I2	0,75	I7,3	I,6	3,I6	0,14	0,95	I,64	6,50	4,90	0,32	0,84	I00,2
I683	63,54	0,75	I7,43	I,94	I,72	0,136	0,87	0,77	7,5	5,3	0,18	0,3	I00,4
56I-2	68,92	0,30	I3,7I	2,60	2,16	0,195	0,39	0,44	5,47	5,35	0,83	0,22	99,84
28-5	74,47	0,15	II,2I	I,13	2,89	0,04	0,19	0,42	4,69	4,39	0,02	0,159	99,84
2448-6	75,02	0,12	I0,78	2,30	2,15	0,09	0,16	0,33	4,45	4,I5	0,07I	0,37	99,99
2222-I	75,88	0,22	II,19	I,4I	I,59	0,09	0,3I	0,2I	4,34	4,39	0,03	0,79	99,88
C-I-80	49,78	2,I7	I7,32	3,64	6,II	0,127	0,73	8,37	4,40	3,00	3,15	I,09	99,89
209	53,80	2,05	I6,55	3,44	5,89	0,146	3,35	5,55	3,70	2,50	2,07	I,00	I00,06

Продолж. табл. I

Номера образцов	Компоненты								n	Q	a/c
	a	c	b	s	a'	f'	m'	c'			
464-2	I0,I	7,4	2I,I	6I,4	-	55	32	I3	88,5	-4,8	I,4
619-2	I0,8	4,8	20,2	64,2	-	55,2	28,5	I6,3	74,6	2,0	2,2
620-2	I3,3	4,2	II,5	69,0	-	56,6	32,3	II,I	74,0	3,1	3,7
622	I4,4	2,3	8,7	74,6	30,I	47,4	22,5	-	73,4	18,0	6,1
209I	I3,8	2,3	7,3	76,6	31,0	49,5	19,5	-	72,4	23,3	5,9
I27	I4,I	I,3	5,4	79,2	43,0	41,9	15,1	-	50,1	28,8	II,0
2076	I3,3	0,5	3,7	82,5	39,6	47,0	13,4	-	55,6	37,7	26,2
97	I0,9	6,5	24,3	58,3	-	43,0	44,5	I2,5	84,4	-II,5	I,7
C-I7-42	I4,5	4,3	I3,6	67,6	-	53,9	35,9	I0,20	72,4	2,0	3,4
C-I3-205	I7,7	I,9	9,9	70,5	-	68,0	19,0	I3,0	65,4	3,7	9,3
495-2	I5,I	0,5	6,6	77,5	I8,6	77,7	5,7	-	57,8	24,3	29,6
2203-5	I4,7	0,5	5,6	79,2	-	72,3	II,6	I6,1	50,2	28,3	27,3
I499-5	I0,6	-0,6	4,0	84,8	-	75,4	I7,I	I7,5	46,9	47,9	18,9
C-300-388	I6,3	I,5	20,3	58,9	-	54,0	28,4	I7,6	87,9	19,3	3,6
C-7-35	I4,8	3,2	I2,7	69,3	-	53,9	30,9	I5,2	70,1	5,8	4,6
190	20,7	0,6	3,9	74,8	-	89,8	6,8	3,4	59,7	7,6	34,5
184	I5,4	0,5	4,6	79,5	35,8	50,0	14,2	-	52,2	27,7	30,8
75	I2,6	0,7	5,4	81,3	37,9	48,9	I3,2	-	52,7	36,9	I7,9
7080-I	I4,0	I,0	3,2	81,0	I5,5	68,9	I5,6	-	54,3	34,6	14,0
6078-I	I3,I	0,6	3,7	82,6	I5,9	64,4	I9,7	-	35,4	38,4	20,7
340	II,7	8,5	I3,4	66,4	-	51,0	43,9	5,1	84,8	0,99	I,4
333-2	I2,9	4,4	I0,9	71,8	5,7	50,9	43,4	-	71,6	I3,3	2,9
I94-a	I2,C2	5,2	I8,4	64,3	-	49,0	35,7	I5,2	81,8	-0,7	2,3
247	I3,9	3,8	6,4	75,9	I0,9	60,5	28,6	-	76,03	20,06	3,63
168	I2,8	3,0	7,0	77,2	-	57,14	30,5	8,6	70,8	25,8	4,3
I289-I	I4,9	3,0	4,7	77,4	9,4	55,8	34,8	-	69,06	I1,9I	5,0I
979	I5,I	1,8	6,0	77,1	-	59,6	26,8	I3,6	60,8	22,1	8,25
I79	I4,3	I,8	4,9	79,0	I6,2	47,3	36,5	-	63,6	27,4	8,0
2207	I4,4	0,6	3,2	81,8	25,4	49,4	25,2	-	69,6	34,1	22,5
I60-5	I5,2	3,8	I7,5	63,5	-	44,8	38,9	I6,3	62,1	-7,1	4,0
164	I7,I	I,9	I2,9	68,1	-	52,2	25,6	22,2	71,9	0,2	9,0
4264	I3,7	3,3	8,4	74,6	-	56,9	37,3	5,8	65,4	I8,3	4,1
619-3	I5,3	2,5	5,3	76,9	4,9	61,6	33,5	-	64,5	20,6	6,2

23I3-3	I7,I	0,7	3,7	78,5	-	74,3	28,8	0,9	57,4	22,I	24,4
24	I3,6	I,4	6,2	78,8	44,4	38,2	I7,4	-	67,7	28,9	9,8
9	I4,5	0,5	2,6	82,4	44,6	46,2	9,2	-	61,7	35,4	28,6
549	I1,6	0,9	5,7	71,8	-	52,4	28,8	I9,5	66,8	0,4	24,0
I683	I3,0	0,8	4,6	71,6	-	52,5	28,8	I8,7	67,2	3,6	28,0
56I-2	I7,9	I,3	3,9	76,9	-	71,2	I6,8	I2,0	58,2	I6,7	13,7
28-5	I4,4	I,6	2,8	81,2	-	70,6	8,3	I7,6	57,5	31,9	8,8
2448-6	I3,9	I,3	3,0	81,8	-	81,0	8,3	I0,7	58,0	34,5	I0,6
2222-I	I4,2	0,9	2,6	82,3	-	70,3	I9,9	9,8	57,5	35,0	15,6
C-I-80	I5,I	4,9	I7,2	62,8	-	57,0	7,8	35,2	69,0	-9,4	3,1
209	I2,5	5,3	I6,6	65,6	-	54,0	35,3	I0,3	68,9	1,2	2,3

П р и м е ч а н и е. Таймирская свита (Ранне-среднетриасовые субвуликанические образования): 464-2 - базальт (правобережье Ортынки, верховье), 619-2 - андезито-базальт (левобережье Бол. Саранки, верховье), 620-2 - трахиандезит (левобережье Бол. Саранки, верховье), 622 - трахиапалит (левобережье Бол. Саранки), 2076 - липарит (правобережье Бурун-Хуртая). Чаган-хунтейская свита (раннеюрские субвуликанические образования): 97 - трахибазальт (левобер. Саранки, низовье), C-17-42 - трахиандезит (левобер. Хуртая), C-13-205 - трахиит (район пос. Сарантий), 495-2 - липарит (пос. Тайдут), 2203-5 - кварц-полевощатовый липарит (район Хуртая), I499-5 - липарит (левобер. Мал. Саранки). Харыгратинская свита: C-300-388 - трахибазальт (левобер. Хуртая). Балынская свита (позднеюрские субвуликанические образования): C-7-35 - трахиандезит (левобер. Ихк-Горхона), I90 - трахио-липарат (правобер. Кулрукты), I84 - трахиолипарит (левобер. Хильи), 75 - андезиновый липарит (левобер. Атхи), 7080-I - андезин-анортоклазовый трахиолипарит (правобер. Мал. Харыграты), 6078-I - кварц-андезин-анортоклазовый трахиолипарит (правобер. Атхи). Раннепротерозойские ультраметаморфические образования: 340 - гнейсо-диорит (междуречье Бол. Харыграты - Айтчи), 333-2 - гнейсо-диорит кварцевый (водораздел Айтчи-Бол. Харыграты). Позднепалеозойские интрузии. I фаза: I94-a - сиенито-диорит (водораздел Мал. Саранки - Грязного Ключа); II фаза: I47 - гранодиорит (правый борт долины Носорихи), I68 - гранодиорит (водораздел Белой Речки - Барун-Кульякту), I289-I - гранодиорит (левый борт долины Шин-Кихты), 979 - гранит амфибол-биотитовый (район г. Аита), I79 - гранит-биотитовый (водораздел Мал. Саранки - Хуртая); III фаза: 2207 - лейкократовый гранит (правый берег Мал. Саранки). Позднетриасовые интрузии. I фаза: I60-5 - габбро-сиенит (верховье Барун-Неметая), 164 - сиенит (верховье Барун-Неметая); II фаза: 4264 - граносиенит (верховье Кадакты), 619-3 - граносиенит-порфир (левобер. Бол. Саранки); 23I3-3 - гранит (правобер. Зун-Неметая); III фаза: 24 - гранит субшелочной (левобер. Арин-Горхона); III фаза: 9 - аляскит (правобер. Арин-Горхона). Раннемеловые магматические образования: C-1-80 - трахибазальт (левый борт долины Гареки), 209 - трахиандезито-базальт (правобер. Хильи). Анализ C-7-35 из коллекции А.Т.Бахаева [14], остальные анализы из коллекции Л.Е.Эйдельмана и др. [27].

Таблица 2

Результаты определения радиологического возраста пород

№/п	Номер образца	Породы	Место взятия пробы	K, %	A_{Kr}^{40}	$\frac{A_{\text{Kr}}^{40}}{K^{40}}$	Возраст, млн. лет	
					10^{-9} , г/г	K^{40}		
I	2	3	4		5	6	7	8

Таймирская свита (ранне-стреднетриасовые субвулканические образования)

I	3380-3	Рассланцовый базальт	Левобережье Айты (верховые)	0,66	10,5	0,018	220
2	3386-2	То же	Правобережье Айты (верховые)	0,27	3,08	0,0935	161
3	3393-3	" "	То же	1,05	14,6	0,0114	194

Цаган-хунтейская свита (ранненеопротерозойские субвулканические образования)

4	C-I3-38	Трахит	Правобережье Хилка (вблизи дер. Сарантуя)	3,71	42,4	0,0094	I62
5	C-II-22	"	Правобережье Хуртэя	3,78	51,5	0,0112	I91
6	C-I7-42	Трахиандезит	Левобережье Хуртэя	2,32	32,2	0,0114	I94
7	C-II-I	Трахизабазальт	Правобережье Хуртэя	0,91	21,2	0,0127	I25
8	I533	Шелочной липарит	Правобережье Тайдутки	3,21	38,5	0,0099	I70
9	C-I7-210	Шелочной липарит	Левобережье Хуртэя	4,76	60,0	0,0119	I93
10	2269	" "	Водораздел Бол. Саранки - Жепкеса (вблизи дер. Харагун)	3,58	46,1	0,0105	I80
II	I532	" "	Правобережье Тайдутки	4,91	60,5	0,0101	I74
I2	342	" "	Правый борт долины Жепкеса	3,78	55,0	0,0119	202
I3	C-II-4	" "	Левобережье Хуртэя	1,16	12,7	0,00874	I51
I4	2259	" "	Правобережье Бол. Саранки (низовье)	6,52	78,0	0,00966	I65

I	2	3	4	5	6	7	8
Бадинская свита (поздненеопротерозойские субвулканические образования)							
I5	C-464-I63	Трахилипарат	Правобережье Женхесена	4,58	51,5	0,0032	I58
I6	C-464-206	"	То же	4,87	58,0	0,0098	I69
I7	C-464-255	"	" "	1,97	16,0	0,00665	I15
I8	C-204-275	Липарат	Верховые Ямной	3,91	43,1	0,009	I55
I9	I345	"	Левобережье Ямной	4,25	46,0	0,0089	I58
20	C-255-60	"	Междуречье Ортинки - Загарино	4,00	39,2	0,0081	I40

Тигинская свита (нижнемеловые отложения)

21	C-I ^I -31 ^x	Трахизабазальт	Левобережье Гареки (низовье)	2,12	I7,6	0,0068	I16
----	-----------------------------------	----------------	------------------------------	------	------	--------	-----

Раннепротерозойские ультраметаморфические образования

22	I2I-3	Гнейсо-диорит	Правобережье Мал. Харылгаты	2,00	50,6	0,0207	339
----	-------	---------------	-----------------------------	------	------	--------	-----

Позднепалеозойские интрузии

23	I289-I	Гранодиорит	Правобережье Айты (в среднем течении)	2,92	64,0	0,018	298
24	C-255-I76	"	Междуречье Ортинки - Загарино	2,60	39,5	0,0125	I22
25	960-I	"	Район г. Айта	2,57	36,0	0,0115	I96
26	960	Гранит	То же	2,23	38,8	0,0142	239

^x) На карте и в тексте номером со штрихом C-I обозначены скважины Укурской партии [27] и скв. 7 Территориальной экспедиции, прочие - без штриха

Продолж.табл. 2

I	2	3	4	5	6	7	8
27	577	Гранодиорит	Верховье руч.Агхи	1,64	22,5	0,0112	I91
28	I95	Диорит	Левобережье Гризного Ключа	1,0	17,4	0,0143	I241
29	220	Граносиенит	Правый борт долинки Зун-Неметая	4,75	65,0	0,0112	I92
Раннеиерские интрузии							
30	I664	Шелочной гранит	Правобережье Мал.Ямной	4,21	45,5	0,0089	I58
31	2202-а	Шелочной гранит-порфир	Левобережье Мал.Саранки	3,89	47,7	0,0100	I72
32	403	То же	Правобережье Бол.Улентуя	3,86	49,0	0,0104	I78
33	I683	Шелочной сиенит	Левобережье Мал.Ямной	4,61	50,7	0,009	I65
34	I694	То же	Правобережье Мал.Ямной	4,59	53,5	0,0095	I68

Все анализы из коллекции Л.Е.Эйдельмана и др. [27].

Мощные выходы этих пород (от 1 км² до узких клиньев шириной 5-10 м) встречаются практически повсеместно в зоне остатков между руслами и гальками кислых эфузивов. Распространение выходов срецных и осечных вулканитов, а также общий распространение фундамента материкового пояса свидетельствует о том, что эти несомненно эфузивные эфузивы выклинивают всю структуру. Их мощность превышает 700 м.

В Загаринском поднятии нижняя часть прослеживается узкой (2-5 км) полосой по периферии центрального блока, сложенного породами дюнкского фундамента (низовья Усугуты, между реками Зун-и Барун-Неметая). Здесь их мощность значительно меньше, чем в грабенах, и составляет 100-300 м.

Наиболее полный разрез нижней части наблюдается на левобережье Большой Саранки (составлен по данным, обнаженным в скважинах). Здесь снизу вверх прослеживаются (в м):

- | | |
|--------------------------------------------|---------|
| 1. Трахиты роговообманиково-полевошпатовые | 50 |
| 2. Трахиты полевошпатовые | 100 |
| 3. Трахиландезито-базальты | 50-70 |
| 4. Трахиландезиты | 100-150 |
| 5. Трахиландезиты | 200-300 |

Общая мощность по разрезу до 670 м.

Каждая пачка (покров) склонных по составу эфузивов состоит из серии сливущихся потоков мощностью от 4 до 55 м. Наиболее широко распространены трахиты и трахиландезиты. Покровы трахиландезитов и

трахиландезито-базальтов сконцентрированы вдоль подводных каналов и быстро выклиниваются. На границах покровов иногда появляются прослои туфов, по составу соответствующих выплескам эфузивов, и перекристаллизованные породы (5-10% обломки потоков).

Центры извержений эфузивов покрыты фиксируется круглодиаметрическими руслами телами эссеексит-диабазов (β_j) размером от 0,4x0,3 до 1,6x1,0 км, которые протягиваются цепочкой в осевой части грабена.

В обрамлении Хасарта-Неметайского вулканического всплытия встречаются лайки эссеексит-диабазов протяженностью от 50-130 м, мощностью до 20 м. Они ориентированы в северо-восточном направлении согласно с простиранием вулканических.

Трахиты. Роговообманиково-полевошпатовые трахиты - сиреневато- и коричневато-темно-серые до черных массивные плотные или пористо-миндалекаменные с вкрашенниками птиоликлаза № 30, итюльчатого амфибола, редко - калишата. Минеральный состав: птиоликлаз - 50-55%, калишат - 30-40%, роговая обманка зеленовато-бурая - 5-10%, рудный минерал - 5%, моноклинный пироксен, биотит, кварц - единичные зерна. Основная масса микротрахитовая и микроплитовая.

Половинчатые трахиты - пористо-миндалекаменные породы темно-серого и бурого цвета с вкрашенниками полевых шпатов. Они сложены

платоклазом (в лезакоритизированных вкраупенниках № 2-13, в основной массе — платоклаз с албитовыми вкраплениками) — 40%, калиногранитом — 50% полевым шпатом — 25-30%, кварцем — 1-2%. Плинтины микрокристаллического моноклинного пироксена и роговой обманки. Вторичные минералы по стеклу представлены хлоритом — 10-15% в рудных — 10-15%. Структура основной массы ортобрюмка, реже — ясно выраженная трахитовая. Вторичные изменения: блогит и албитид олигоклинизированы, платоклаз сертифицирован, реже — хлоритизирован, замещает пелититы, заторван, по широкому развитается хлорит. Минералы выполнены хальцедоном, цеолитом, зелеными хальцедоноподобными материалами.

Трахидиезиты — золисто-фиолетовые и массовые плотные, реже миндалевидные породы строневато-темно-серого и коричневого цвета. Минеральный состав: платоклаз (во вкраупенниках № 58, в основной массе № 42) — 70-80%, моноклинный пироксен — 15%, кальцит — 10%, кварц — 1-7%. Структура основной массы многоаксталовая с участками микрокристаллической. Вторичные изменения минералов те же, что и в трахидиезите. Минералы выполнены цеолитами, реже хлоритом и кварцем.

Булыжники трахидиезального состава представлены различающимися только по степени раскрытия зефект-диабазами и трахидиезитами, между которыми наблюдаются постепенные переходы. Эзекийт-диабазы — масловатые породы черного цвета тонкозернистые, реже с вкраупленниками платоклаза и оливина. Минеральный состав зефект-диабазов, между которыми наблюдаются постепенные переходы, зефект-диабазы — масловатые породы черного цвета тонкозернистые, реже с вкраупленниками платоклаза и оливина. Минеральный состав зефект-диабазов (во вкраупенниках № 64-70, в основной массе № 58 с албитовыми вкраплениками) — 55-65%, пироксен бесцветный ($2V = +56^{\circ}$, $cNg = 44^{\circ}$, №-№ = 0,031) с повышенным содержанием титана — 20-25%, оливин — 5%, рудный минерал — 10-15%, кальцит — 1-2%. Структура основной массы диабазовая, участками пойнтобрюмковая, реже хлоритовая и пилотасцитовая.

Трахидиезиты — черные, реже коричневые и буро-красные плотные и миндалевидные породы. По минеральному составу они близки к зефект-диабазам и отличаются только наличием полностью разложенного стекла (5-40%). Эзекийт-диабазы и трахидиезиты обычно изменены: платоклаз заменяется серпентитом, хлоритом, эпидотом, оливин — серпентитом, эпидотом, рудным минералом, хлоритом, пироксен-хлоритом. Минералы выполнены кварцем, цеолитами.

Трахидиезиты-базальты макроскопически и по структурным признакам близки к трахидиезитам. Их минеральный состав: платоклаз (во вкраупенниках № 35-40) — 70-80%, моноклинный пироксен — 5-15%, рудный минерал — 5-10%, кварц — до 5%, кальцит — до 5%.

Туфи трахидиезитов массивные, иногда тонкослоистые, серо-зеленые до темно-зеленых. Структура их посеребро-песчановатая, выры-

рует от кристалло-витроэластической до витро-кристаллоэластической. Обломки стекла замещены хлорит-минераловым агрегатом в рудных №-№. Составные компоненты агрегата — представители платоклазом и пироксеноидом, посторонние обломки — материалом более ранних извержений и городами фундамента.

Туфи трахидиезитов — темно-зеленые и зеленовато-бурые сложные. Структура псевдо-плагиомеловая либо-витро-кристаллоэластическая. Они состоят из обломков стекла среднего состава, замещенного агрегатом хлорита с маленькими зернами кварца и платоклаза (40-55%), обломков глауконитовых (5-10%), кристаллоэластиков и платоклаза и пироксена (5-20%), примеси осадочного материала, а также пород более ранних извержений и фундамента (5-30%). Связующая масса — агрегат хлорита и серпентита с микрозернами платоклаза, кварца и рудного минерала.

Турполечники и туфальверлиты — зеленовато-серые, серые и розово-серые сложные породы. В них чередуются слои (0,5-1 см), обогащенные плагиокластическим материалом или расщепительным легибитом. Структура параллельная от круглозвездистой псевматовой до алевролитовой. Осадочный материал — упакованный и слабо окатанные обломки зефект-диабазов, кварца, полевых шпатов. Цемент, представленный продуктом разложение пепла среднего состава, распространен неравномерно и составляет от 5 до 50% породы.

В е р х н я я ч а с т ь (J_2). Кислые вулканиты раннепротерийского возраста представлены преимущественно экструзивными и судувуланитескими телами плоских липаритов (J_1), реже гранит-порфиров (J_2/J_1). С липаритами связаны небольшие по площади наряды лав, пирокластических и пирокласто-осадочных пород (латентная кутейская свита, верхняя часть).

По наличию и составу вкраупенников липариты делятся на айронвейне, полевошпатовые и кварц-полевошпатовые. Каждая разновидность липаритов, а также граносенит-порфирит образуют самостоятельные тела, имеющие в плане вид резко вытянутых линз и эллипсов размером от 5-10x50-100 м до 14x6 км, реже изометричную (до 1x0,8 км) форму. В большинстве случаев тела крутопадающие, на что указывают неизменность выходов их контактов от рельефа, непосредственное замеряется плоскостей контактов, многочисленные замеры флигельности в них, а также резко закономеренный характер матового поля плоскостей развития липаритов. Ориентировка аномалий на каждом участке совпадает с ориентировкой липаритовых тел, отражая характер насыщенности высокомагнитных пород нижней подсвиты немагнитными кислыми эфузиями. Форма тел липаритов, их активные контакты с нижележащими породами, а также установление в ряде случаев по характеру сдвигов флигельности восходящее движение лавы позволяют уверенно относить

их к субинтрузивной группе фаций. По наличию яснокрасных одних разновидностей кислых вулканитов в других установлен последовательность их образования (от ранних к поздним): эйдозные липариты; полевошпатовые липариты; альбовые липариты; кварц-полевошпатовые липариты крупнозернистые; трахосланцы-псомиты.

Экструзии липаритов имеют зональное строение. Центральные части сложены массивными или грубодисперсными наиболее раскрытыми зонами различными, красные — более тонкораскрытыми, зонами разности, красные — более тонкораскрытыми, зонами оторочки, мощность которых колеблется от первых метров до первых сотен метров, как правило, сломаны турболавами, лавобреками, частично турбэзидами и итимбритецоподобными, реже — тонкофрактальными липаритами, тонкофрактальными, реже массивными. Жилко контактовые оторочки, мощность которых колеблется от первых метров до первых сотен метров, как правило, сломаны турболавами, лавобреками, частично турбэзидами и итимбритецоподобными, реже — тонкофрактальными липаритами со сферолитами. По пространству характер эндоконтактной оторочки может меняться.

С экструзиями липаритов связаны небольшие (до 4 м²) поля их турбов и турбосланчиков, турбоконтактов. На левобережье нижнего течения Келькеса толща кислых пирокластических пород застегает на трахизавальтия паган-Хунгейской санки (нижняя часть) и имеет мощность около 250 м. В основании ее (150 м) застегают турбоконтактовые и зандровых липаритов, выше (100 м) — кварц-полевошпатовых липаритов. Более мощные выходы турбов, турбосланчиков и пирокластических лав отмечены в обрамлении экструзий кварц-полевошпатовых липаритов в междуручье Кургэя-Бол.Саранки. Здесь в турбосланчиках собраны отпечатки *Equisetites* sp.

Липариты — альбовые и криптозернистые породы темно-фиолетового, темно-серого, реже спленеватого, буроватого и зеленого цвета, мессинговые, пятнистые и фиолетовые. Выделяются полевошпатовые, кварц-полевошпатовые и альбовые липариты. Полевоз шпат вкрашенников перлит-антрепит (микроклин и альбит), редко — анортоклас. Во всех группах присутствуют лейкократовые и меланократовые разности. Последние содержат пелевые темнотвёрдые минералы (гастингит-хлорит, арфведсонит-магнезиоарфведсонит, баркелиит-магнезиоглауконит, эгирий-диопсид) и повышенное количество рудного минерала. Структура основной массы сферолитовых, микропойнтитовых (до гранитовой), редко — фельзитовых. Отмечаются лучше раскрытыми зонами участки, сложенные зернистым кварцем, в меланократовых разностях — в сочетании с эгирием.

Лавокласты липаритов приурочены к краевым и аникальным частям экзогрунтовых и субувиднических тел или слагают наименее мощные из них. По морфологическим признакам, несмотря на существование промежуточных разностей, их можно разделить на две группы: турболавы и лавобреками.

Турболавы — лигнитные языковидные породы трахитовой структуры, различие в которых определяется на зональность обломков и обособленность (турболавы).

Лавобреками — обломочные породы, очень схожие с псевдогнейскими турами. Они состоят из изометрических с оплавленными отверстиями субзональных обломков и утюватых обломков выщерченных пород. Цемент (10%) представлен кальцит-кальцитом агрегатом, часто обогащенным рудным минералом, различающимся по зонам.

Турбоконтактовые, пелитовые, реже — с промежуточными, содержат до 10% чужеродных обломков. Цвет пород серый и желтовато-серый.

Описанные вулканиты представляют собой петрохимические сложные, обогащенные гематитом породы от трахизавальтия до зеленых липаритов (см. табл. I). На платформе А.Н.Заваринского к фильтратенным породам с "пакетлеритовой тенденцией". По сравнению с типичными породами они отличаются тем, что в них количество полевошпатовой известки, а кислоте более лейкократиче-

ской. По индексу никеля, равному 51, рассматриваемые образования приближаются к типичным магнезиальным сериям (Хайвут). По соотношению щелочей они относятся к калиевому ряду: в средних и основных разностях наряду незначительно преобладает над калием, в кислых же соотношение меняется на обратное.

Рассмотренные породы содержат повышенные концентрации (1,5–17,5 клярков) Рb, Sc, Be, Y, Yb, La, Nb, Ce, Zr.

Таким образом, по минеральному составу и петрохимическим особенностям описание вулканитов наиболее близки к ассоциации мелозинских пород с "пакетлеритовой тенденцией", которые, по Ю.А.Кузнецовой, являются представителями трахизавальтиевой формации. По количественному соотношению пород они могут быть отнесены к трахизавальти-трахит-мелано-липаратовой формации.

Рассмотренные вулканиты латируются ранней ирой на основании следящих линз: образование ими структуры наложено на структуры триасового возраста; в междууречье Тайшетка — Барун-Чеметая находитесь налегание паган-Хунгейских трахизавальтий-базальтов на граниты бичурского комплекса (в том числе на субмелочи); в бассейне Бол.Саранки дайки зесекит-диабазов и шистовых липаритов прорывают триасовые эфузивы и граниты; на соседней с запада площади [26] паган-Хунгейские вулканиты и прорывание их гранитами в трапы-

кого комплекса несогласно перекрываются отложениями харыгатинской свиты среднерусского возраста; спорово-пыльцевые комплексы, выделенные из турбидоводитовых пачан-хунтейской свиты, нижняя часть (см. табл. 17), по мнению А. А. Сиротенко, можно датировать "ранней-средней ирой", вероятно, концом лейаса - началом доттера"; на правобережье Курган в двух пачан-хунтейской свиты (верхняя часть) были совместно с В. А. Амантовым обнаружены отпечатки юрского хомса *Echidnites sp.* (определение В. П. Владимирикова); большая часть определений радиологического возраста описываемых пород указывает на интервал от 162 до 194 млн. лет (см. табл. 2).

Средний отдел

Харыгатинская свита (J_{2hr})

Свата представлена терригенными континентальными отложениями, выполненными редкими двумя видами: северной (Намгурской) и южной (Харыгатинской). Они протягиваются цепочками северо-восточного простирания через всю изученную площадь.

Отложения наиболее полно представлены в Харыгатинской впадине. В северном борту ее (водораздел Ати - Мал. Харыгаты) они смыты в антиклинальную складку субширотного простирания с размахом крыльев 1,7-2,7 км и падением 30-70°. Идро ее четко трассируется повышенной интенсивностью магнитного поля, что свидетельствует о близости фрагмента, хотя он не обнаруживается. В составленном здесь по карте и залитию разрезе наблюдается (снизу вверх) в и:

1. Контакторати валуны (размер валунов 20-70 см) с разногранечно-песчанием заполнителем.

В составе валунов резко преобладают глыбы до-

мозойского фрагмента 70

2. Контакторати крупно-среднегранечные с ани-

лотичным составом галек 30

3. Лессники зелено-серые средне-крупно-

зернистые с эпилитичной галькой и гравием 30

4. Контакторати крупновалуные. В составе

валунов 50% гранитоидов, 50% эфузитов. Запол-

нитель - среднезернистый аргиллит. 30

6. Переслаивание мелко-среднегранечных кон-
гломератов, гравелистых крупно-среднезерни-
стых и мелкозернистых зеленых песчаников. Мощ-
ность прослоев 1-3 м 30

7. Конгломераты среднегранечные. В гальках гра-
ниголов и зонтичные пачан-хунтейской свиты. Залоп-
ниты - песчаник разнозернистый полимиктовый 140-180
8. Песчаники яйковые среднезернистые с
линиатом гравелистистикой и прослоями мелкозернистых
песчаников мощностью 10-20 см. 30

Очная мощность по разрезу 470-560 м.

Таким образом, вверх по разрезу размер обломочного материала уменьшается, степень окатанности увеличивается, состав меняется от гранитного до эфузивного.

К югу (водораздел Бол. и Мал. Харыгаты) описание отложений сменяется однообразной толщей контакторатов, состоящей максималь-

ной (1,5 км) мощности. Конгломераты валуно-гальчевые, редко разно-

гальчевые с единичными линзами песчаников. В составе обломочного ма-

териала преобладают кисти эфузивной тамерской свиты и гранитоиды позднего палеозоя, встречаются афузины пачан-хунтейского облика и гранитоиды агинского комплекса. Валуны и галька хорошо оката-
ны, часто уплощены. Заполнитель песчаник, тип заполнения горо-
вый и базальто-горовий.

В северо-восточном направлении уменьшается мощность свиты и несколько изменяется ее состав. Так, на водоразделе Лип-Лихты, Мал. Харыгаты, лигнит в нижней части свиты появляется прослойка трахиди-
заплечий мощностью по 100 м. Еще восточнее (между деревнями Липы - Ор-
тигин) в основании ее контакторат замещается дресингитами (165 м).

В Намгурской впадине в разрезе харыгатинской свиты резко пре-
обладают валуно-гальчевые контактораты (диаметр валунов 20-120 см),
а на крайнем северо-востоке впадины - разногранечные контактораты,
притом в составе валунов присутствуют только гранитоиды позднепалео-
зойского и байкальского комплексов, а в составе галек - превращен-
ченные кислые эфузиты тамерской свиты. В верховых Барун-Курте в
верхних разрезах появляются песчаники (100-300 м) с прослоями базаль-
тов мощностью до 100 м.

Контактораты валуно-гальчевые и разногранечные зелено-серые
буровато-серого цвета. Валуны (до 1 м в диаметре) и галька состав-
ляет 50-80% породы. Они хорошо окатаны и уплощены. В составе их преобладают местные породы. Заполнитель - гравелит, песчаник, злев-

ритистый песчаник. Распределение валуно-гальчевого материала различ-
ной крупности неравномерное, количество заполнителя варьирует от
20 до 50%. Заполнение поровое и базальное.

Песчаники - разнозернистые плохо сортированные породы зелено-
вато-серого цвета. Состав обломочного материала варьирует от арко-
вого до полимиктового и вулканогенного. Цемент (5-10%) глинистый, гидрослюдисто-глинистый, редко карбонатный, слюда шпатно-зиро-
ванный. Структура его пакето-алевритовая (0,04-0,1 мм), тип - кон-
гломераты и контактово-пористы.

Трахобазальт - темные массивные и пористые породы, состоящие из птициоказа (андезин № 40-45) - 60%, рудного минерала - 35%, стекла - 0-5%, псевдоморфов рудного минерала и хлорита по темно-цветным минералам. Структура афировая и порфировая с интерсервальной основной массой.

Характер отложений карпатинской свиты свидетельствует об их принадлежности к молассовой формации, к фации конусов винosa и сухих дельт временных потоков.

На соседней с запада территории свита несогласно налегает на ранненерские вулканиты и гранитоиды [26] и несогласно же перекрываеться бадинской свитой (верхняя яра). Отпечатки флоры, собранной в лесном борту лопини Мал. Харлата из гальки карпатинских континентальных, определены В.А.Вахромеевым как *Glaucopilepis ex gr. nain* винописа (Lest. N.) Бонап. Они имеют широкое вертикальное распространение: весь разрез яри - низ мела [26]. По данным палеонтологического анализа (исполнитель А.А.Сиротенко), наиболее вероятный возраст этих отложений средний-поздний яра.

Все эти данные с учетом относительного возраста положения позволяют датировать описание отложения средней яри.

В е р х н и й о т д е л

Бадинская свита (J₃bd)

Описываемые образования представлены кислыми, умеренно кислыми, в резко подчиненном количестве средними вулканитами и тесно связанными с ними вулканитенно-осадочными и осадочными породами. Они слагают две тектономагматические структуры (вулканария): Гаре-ка-Сычигинскую и Хылinskую (см.рис.1,3). Первая из них представляет собой структуру линейного типа, протягивающуюся в северо-восточном направлении от низовьев Гареки до восточной рамки листа на 62 км. Она состоит из четырех линейных структур второго порядка: Агинско-йот (22x2-3 км), Янинской (27x1-4 км), Хылinskой (32x1-4 км) и Кепхесенской (протяженность около 8 км). Хылinskий вулканарий состоит из двух сочлененных ветвей: одна (32x7-10 км) протягиваеться в субмеридиональном направлении по берегам Хыл., другая, судя по протяжению, прослеживается от стрелки Хыл. - Куркуту до верховьев Зун-Хуртая на 50 км при ширине 1-5 км.

Из-за плохой обнаженности описываемые образования изучены преимущественно по скважинам. Сложенные ими структуры состоят из северо-восточных гал. (J₃) сопровождающимися небольшими потоками лав и полями пирокластических и вулканитенно-осадочных пород. На участках замещания структур вулканогенные образования замещаются терри-

генами. Большинство кислых вулканических имеет круглое пачение, но что указывает соотношение их контактов с рециклом, круглые пачения бимодальности волнистые или, в тоже время, кратерные и контакты разного характера матричных полей, установление при контактах геофизическими исследованиями. Участники (бисекции Ахх., Кумары) наблюдавшихся склонов тела, состоящие из коррелирующего по времени канала и погоризонтально вытянутых частях. По петрографическим признакам породы разных фаций аналогичны. Экструзии имеют эшелонное строение, причем зональность в покровах и погоризонтальных каналах (до вулканических склонов). Непосредственно на контактах отмечаются лавобрекчи. К центру тела раскрытие залежи пород несколько увеличивается. Мелкие тела представляют породами эндоконтактовых фаций. С экструзионами тесно связаны наполнители приокрасительного межтеррака. При удалении от экструзии, прослои турфов быстро выклиниваются.

Описание образования очень измечено. В различных вулканариях и отдельных структурах второго порядка выражают соотношение эндоконтактов развитого состава, а также пород, отработанных и субинтрузивной групп фаций. Однако во всех структурах наблюдается общая последовательность указанных пород, образовавшихся в два крупных этапа. Каждый этап начинается небольшим извержениеми эфузионного и среднеосновного состава. В дальнейшем отмечается увеличение кременистости и шелочности извергаемого материала. Установлена общая последовательность формирования южноалтайских вулканитов: первый этап - трахилитозиты, трахиты, трахиг-литопариты, анортозиты, липариты андезит-анортозит-базальты, липариты андезитовые, трахилитариты андезит-анортозитовые и кварц-андезит-анортозитовые.

Образования первого этапа наиболее полно представлены в восточной части Хылinskого вулканария. В основании свиты здесь залегают трахиты и трахилитозиты. Чередование массивных и пористо-мелкокристаллических, часто шлакоподобных, разностей определено сдвигом тектономагматического залегания. Мощность трахилитозитов в скв. 770 м. выше залегают трахилит-липараты (74 м). Описание породы приводится линейными экструзиями анортозитовых трахилитаритов, с которыми связаны поля туfov, туфолестничников и туфоконгломератов (мощность до 100 м). Завершается вулканит на рассматриваемом участке формированием секущих тел экзплозионных брекций (скв. 7). Они состоят из обломков трахилит-липаратов и трахилитозитов, сплющенных кислым стеклом с кристаллолистами андезина, по-видимому, по составу соответствующими андезитовым липаратам. Заднее в составе свиты количество вулканогенного материала уменьшается.

Гарек-Сантинский зулинкар состоят из четырех структур (Гравенов) второго порядка. В крайней с запада Алтинской структуре состоят позднеирских образований каменич. Восточный фланг ее сложен вулканогенными и вулканотектно-осадочными образованиями второго этапа. Андезиновые липариты слагают два куполовидных вулкана, в которых выделяются крутопадающие подводные канали и пологие излившиеся части мощностью до 39 м. выше, на разных флангах этих куполов, залегают тонкии вулкано-глеченые туфоконгломератов. Толща имеет прослояки (5-15 м) туфострувеев и туфопесчаников. Толща имеет мелкие язычья андезин-анортоклазовых и кварц-андезин-анортоклазовых туфиллитаритов, с которыми связаны прослои туфов мощностью до 27 м, быстро зыблывающиеся по удалению от подводных каналов. Общая мощность толщи превышает 100 м. К западу количество и размер экструзийных тал уменьшаются. В составе свиты преобладают вулкано-осадочные, а на левобережье Гареки – осадочные породы: конгломераты, песчаники, алевриты. Они имеют единичные линии трахиллитаритов. На правобережье Гареки в нижней части разреза содержатся прослои трахилитарито-базальтов.

Амгинская структура сложена преимущественно экзфузиями, среди которых присутствуют породы только второго этапа позднеирского вулканизма. В скв. 204, проиженной в образованиях покровной фации, наблюдается (снизу вверх, основание разреза не вскрыто) в м:

1. Тонкии андезиновых липаритов 215
2. Толши вулканитов трахилитаритового со-

става:

поток трахилитаритов	41
туфы трахилитаритов псамитовые балесные ..	14
туфопесчаники средне-крупнозернистые, содержащие тонкие (до 3 см) прослои псамито-алевритовых туфов	5
общая мощность толши 60 м. общая мощность по разрезу 276 м.	

В Худертинской структуре присутствуют образования обоих этапов позднеирского вулканизма. Так, в скв. 578, вскрытой породы покровной фации, на архозовых песчаниках карылатинской свиты залегают (в м):

1. Трахилитариты
2. Туфоконгломераты вулканомиктовые медно-среднегалечные. Преобладают обломки подстилающих трахилитаритов, реже встречается галька гранитоидов. В верхней части горизонта появляются гальки трахилито-базальтов

3. Трахилито-базальты

4. Алевритовые липариты

35

96

Ноут, по разрезу 238 м.

Б. Юту ст. спасенной скамки развиты андезит-анортоклазовые и кварц-андезит-анортоклазовые трахилитариты, сформированные в зоне кластичную стадии позднеирского вулканизма.

Желтесенская структура второго порядка имеет своеобразца. В ее структуре существующий роль играют тонкообломочные осадочные породы, близкие по облику к осадкам нижнего яруса, и она в значительной мере перекрыта нижнеледовыми отложениями. В разрезе по отдельным скважинам (462, 464) не наблюдается резкой смены вулканогенных и вулканогенно-осадочных образований байдинской свиты нижнеледовыми осадками. Однако имеющийся материал позволяет считать более вероятным предположение о том, что нижнеледовые и верхнеирские образования выполняют самостоятельные структуры. Желтесенская структура представляет собой вулканогенно-осадочный грабен, к осевой части которого приурочены язычья андезин-анортоклазовых трахилитаритов, а остальная объем выполнена изложимыми лавами, туфами, вулканогенно-осадочными и осадочными породами. В разрезе по скв. 462 на палеозойских гранитах замечают (в м):

1. Туфы трахилитаритов сильно каолинизированы
2. Трахилитариты (возможно, их туфы) силь-но изменение
3. Туфтогравелиты
4. Исконные трахилитаритов псамитовые ..
5. Туфы трахилитаритов атакитовые
6. Крупноблобоменные
6. Исконные трахилитаритов псамито- псамитовые
7. Смешанная несортированная порода, состоящая из редких плохо окатанных гальек подстилающих туфиллитов и алевролитов и заполните-
8. Тонкие (1-3 см) ритмичное переслаивание песчаников (от средне- до мелкозернистых), алевролитов и артиллитов. Слоистость горизонтальная прямая и слабоволнистая. Часть слоев замутивания и небольших разрывов
9. Сметанные породы, аналогичные слою 7 ..

10,5

7

I.0. Песчаники вулканомиктовые ритмично-слоистые	
содержат редкие прослои (1–4 см) алевролитов. Сло-	
истость прямая горизонтальная	14
I.1. Породы, аналогичные слой 7	7
I.2. Туры трахиллитаритов алевролитовые ...	0,5
I.3. Ритмично переслаивающиеся вулканомиктовые	

песчаники и алевролиты, аналогичные слой 8. В средней части горизонта – трехметровый прослой смешанных несортированных пород, аналогичных породам слоев 7 и 9. Для этих пород, как и ранее, характерны скопления угловатых обломков трахиллитаритов. Видимо, они пирокластические

I.4. Туры трахиллитариты средне-мелкозернистые. В нижней части слоя (около 1 м) – скопление угловатых обломков трахиллитаритов, а также подстилающих песчаников и алевролитов

I.5. Алевролиты с прослоями (2–3 см) мелко-среднезернистых песчаников, редко – конгломератов (до 0,5 м)

8

I.6. Песчаники вулканомиктовые. В нижней части слоя средне- крупнозернистые гравелистые, выше мелкозернистые

44

Выше залегают осадки нижнего мела. Граница крия и мела нерезкая, проводится по смене отложений с гидрослюдитовым цементом, характерным для вулканогенно-осадочной толщи, породами с карбонатным цементом (K_1). Общая мощность по разрезу 207 м.

За пределами позднеэрских вулканических структур встречаются лайки субулканитических лейкократовых липаритов и гранит-порфиров (λJ_3). Они развиты в междуречье Женгис-Булата в раннеэрских вулканиках и гранитах, на левобережье Аты в конгломератах хардигнатитской свиты и в междуречье Носорых-Гареки в позднеэрских гранитоидах. Лайки круглогладкие, мощность их колеблется от 3–5 до 50–150 м, протяженность – от десятков метров до 5 км.

Трахиллитариты – породы черного, реже буго-красного и серого цвета плотные и пористо-иногда замененные с микровкрапленниками птишоказа. Структура основной массы птигактостовая. Минеральный состав: птигоклаз (во вкрашениниках № 40–50, в основной массе № 20–25) – 40–65%, моноклинный пироксен – 15%, рудный минерал – 10%, стекло – 5–35%, кальцит – 0–5%. Минералы выполнены карбонатом и кварцем.

Трахиллито-базальты в отличие от описанных пород содержит более крупные вкрашениники птигоклаза и большее количество (20–25%) темношокетного минерала. Структура их основной массы интересная.

14
7
0,5

Г7,5
6

Трахиллитариты – породы серого и белесого цвета массивные, очень редко – нейочно флиимальные, афировые или с 3% вкрашениниками белого, реже водяно-прозрачного калинитового полевого шпата. Иннеральный состав: калишпат – 30–50%, птигоклаз (альбит) – 40–60%.

Кварц – 1–5%, рудный минерал – 2–7%, биотит – единичные зерна. Структура основной массы трахилитов с участками пойкилитовой.

Липариты андезиновые – розовато-серые, буроватые, реже серые в стекловатых разностях, черные массивные и нейено флиимальные. Они содержат вкрашениники андезина (№ 32), буторого биотита, редко – кварца. Основная масса микроФельзитовая с участками пористой структуры или отдельными псевдофельзитами. Редко отмечаются витрофиды. В последних иногда наблюдается перититовая отдельность.

Трахиллитариты микроскопически и по структурно-текстурным признакам сходны с липаритами. По составу вкрашениников среди них виделяются анортоклавызы, андезин-анортоклавызы и кварц-андезин-анортоклавызы. Во всех разновидностях, кроме того, присутствуют вкрашениники бурого биотита.

Липариты липариты и трахиллитариты делятся на две основные разновидности: туфоловы и лавобрекции. Туфоловы характеризуются псевдообломочной структурой основной массы, обусловленной наличием многочисленных склонно ориентированных линзочек аклюлитового строения. Лавобрекии представлены плотно спекшимися осломками губчатых размером до 1 см.

Эксилловые брекции – обломочные породы, состоящие из угловатых и округлых обломков размером от 1 мм до 3–4 см. Обломки разнообразны по составу, но редко преобладают вмещающие породы. Цемент (1–2%) представлен вулканическим стеклом кислого состава.

Туры кислого состава – светло-серые, зеленоватые и белесые массивные и слоистые породы кристалло-лито-витролистистской структуры. Плитовые, псамитовые, редко – псевдогравитационные. Состав кристаллокластов аналогичен составу вкрашениников соответствующих эфузивов.

Трахиллитариты разновидичные, реже вулкано-галечные иссортгравитационные. Валуны и глыбы представлены преимущественно (60–100%) ранее сформированными верхнеэрскими эфузивами, в меньшей степени – породами дольерянского фундамента. Окатаанность малома хорошая и средняя. Изредка встречаются угловатые обломки эфузивов, формировавшихся одновременно с осадками. Заполнитель (30–60%) – разнозернистый туфолипарит и туфогравит.

Туфолипариты – светло-серые и белесые породы массивной текстуры разнозернистые; обломки угловатые и плохо окатанные, представлены кварцем, польевыми шпатами, биотитом, эфузивами. В липаритах

содержатся примесь алевротового материала, иногда значительная (до 40%). Цемент гипрослюдистый.

Описываемые вулканиты представляют собой петрохимически единую серию пород с содержанием кремнезема от 57,5 до 77,6%, среди которых резко преобладают (95%) кислые и умереннокислые разности (см. табл. I). Для них характерна независимость содержания полевошпатовых цепочек и известия от меланократовости пород. На левой половине диаграммы А.Н.Заварзикого ряд их фигураций точек расположается параллельно оси ЗВ в лейкократовой части между кривыми Сан-Франциско и Этии, в меланократовой — между ассоциациями "Пан-Темперитового типа" и Этии. На правой части диаграммы ряд точек параллелен оси АЗ и располагается между кривыми "Пан-Темперитового типа" и Пеле. Породы пересечены гипноземом, калий в них замещает преобладает над натрием. Они могут быть отнесены к формации калиевых липаритов.

Для описанных образований характерны пониженные концентрации элементов-примесей. Достигают клярковых только содержания Ні, Zn, Pb.

Структуры, выполненные описанными образованиями, наложены на структуры хардитинской свиты. В центральной части Хардитинской структуры антизионские липариты несогласно залегают на хардитинской свите и палеозойских гранитоидах. На соседней с запада территории Феустигийской окраине отложения нижнего мела с разрывом налегают на бадинскую свиту и прорывающие ее граниты-порфирты и сопряжат гальку этих пород [2, 25]. На правобережье Хилья, непосредственно севернее рассматриваемого района, в бадинской свите В.М.Скобло и В.Ф.Бергровым [20] собраны остатки энтомобиля из отрядов Diptera и Homoptera, в том числе из семейства Rhopalosyllidae, гораздо более сходные с видами из верхней при Кара-Тау, чем из леса Средней Азии, и другие характерные формы, известные только в верхнепротерозойских слоях Кара-Тау. Предварительно опенивая этот комплекс, А.П.Расников указывает, что это "почти несомненная верхняя края". Радиологический возраст пород 135–155 млн. лет (см.табл.2). Примененный материал позволяет достаточно уверенно датировать бадинского магнитным полем и локальными гравитационными минимумами.

МЕЛОВАЯ СИСТЕМА

Нижний отдел

Нижнемеловые терригенные отложения выполняют две системы напластований: Кылжакскую (Хардитинская и Могонская впадины) и Гарекинскую (Гарекинская и Чепсанская впадины). Они характеризуются спокойным магнитным полем и локальными гравитационными минимумами.

В разрезе каждого яруса выделяются два крупных ритма, разделенных трахибазитами. Породы нижнего ритма соответствуют коронинской свите, верхнего (нижней с базальтом) — Талынская.

Ларонинская свита (К₁dr)

В пизах разреза синти залегает ритмично построенная толща котловинногранитов, гранититов, песчаников и алевролитов с прослоями угленых алевролитов и линзами углей, в верхах — монотонная толща алевролитов с прослоями мелко-тонкозернистых песчаников и аргиллитов. Свита наиболее широко развита и лучше изучена в Хардитинской впадине, усложненной двумя протальными валами, делитими ее на три мульды. Типичной для валов разрез наблюдался в скв. I, где на трахобазальтах раковина при застекает (снизу вверх) в м:

Нижняя толща

1. Конгломераты крупногранитные	1,3
2. Песчаники крупно-трубозернистые с прослоями среднетектальных конгломератов мощностью 0,1–0,3 м	7,3
3. Алевролиты серые тонкослоистые с прослоями (5–6 см) песчанистых алевролитов ...	1,0
4. Пачка переслаивания разнозернистых песчаников и среднетектальных конгломератов. Мощность слоев 10–40 см	3,1
5. Конгломераты мелкогранитные	0,8
6. Конгломераты крупногранитные с обутленным растительным детритом	4,2
7. Ритмичное переслаивание утолистых аргиллитов, алевролитов, разнозернистых песчаников	3,5
8. Песчаники крупно-трубозернистые с единичными прослоями (5–20 см) алевролитов ...	5,8
9. Песчаники крупно-трубозернистые полимиктовые с прослоями мелкозернистых песчаников (10–30 см) алевролитов	1,0
10. Песчаники мелкозернистые с прослоями с крупно-трубозернистыми песчаниками с содержанием прослоев (10–30 см) алевролитов ..	8,1

12. Ритмичное переслаивание мало-, средне- и крупнозернистых песчаников	1,6
13. Песчаники кутино-трубозернистые с редкими прослойками (10–30 см) гравелитов и контомератов	2,8
14. Контомерата средне-крупногалечные	2,2
15. Песчаники крупнозернистые с редкой	1,9
16. Контомераты разногалечные с редкими прослойками песчаников	7,9
17. Песчаники светло-серые крупно-трубозернистые	1,9
18. Разнозернистые песчаники	8,1
19. Ритмичное переслаивание узких сланцев, алевролитов с прослойками угля и разнозернистых (от мелко- до тубобозернистых) песчаников.	2,9
Мощность ритмов 15–70 см	14,6
20. Разнозернистые песчаники	0,3
21. Ритмичное переслаивание разнозернистых песчаников и алевролитов с тонкими (1 см) прослойками угля. Мощность ритмов 15–70 см	7
22. Ритмичное переслаивание песчаников различной зернистости (от тонкой до крупной). Мощность ритмов 20–50 см	11,6
23. Разнозернистые песчаники	8,4
24. Простой углей	0,3
25. Ритмичное переслаивание алевролитов, песчанистых алевролитов и тонко-, мелко- и среднезернистых песчаников	6,8
26. Переслаивание песчаников, гравелитов и мелкогалечных контомератов	6,7
Верхняя толща	
27. Алевролиты серые массивные	11,5
28. Алевролиты серые тонкосложные с редкими прослойками (3–15 см) крупнозернистых песчаников	7,4
29. Тонкие (1–30 см) ритмичное переслаивание серых алевролитов и светло-серых песчанистых алевролитов	11,9

30. Переслаивание тонкозернистых и мелкозернистых слюдистых горизонтально- и косослоистых песчаников

31. Алевролиты песчанистые светло-серые с прослойками алевритистых аргиллитов

32. Алевритистые аргиллиты серые массивные с маломощными (5–7 см) прослойками алевролитов

33. Алевролиты серые горизонтальнослойстые с маломощными (5–7 см) прослойками песчанистых алевролитов

34. Песчаники светло-серые тонкозернистые с прослойками песчанистых алевролитов

35. Алевролиты серые с травянистыми частичками и прослойками песчанистых алевролитов

36. Переслаивание (1–10 см) песчаников и алевролитов

37. Алевролиты с единичными гравийными частичками и обугленным детритом

Мощность нижней толщи 122,4 м, верхней – 147,6 м. Общая мощность 270 м.

От валов (скв. I, 4) к центрам мышиль (скв. 6, 10) наблюдается увеличение мощности отложений и замещение контомератов и тубобозернистых песчаников нижней толщи мелко-среднезернистыми песчаниками и алевролитами, в верхней толще появляются прослои аргиллитов, мощность и количество прослоев песчаников уменьшаются. Максимальная мощность нижней толщи (285 м) установлена в скв. 7, верхней (352 м) – в скв. 6. Максимальная изученная мощность доронинской свиты в Харлутской впадине 637 м. По данным ВЭЗ, она достигает 800 м. В Могозонтской впадине, по данным А. Т. Бахаева [14], разрез доронинской свиты аналогичен вышеописанному. В прибрежевой части ее (скв. 4к) на контомератах средней икры залегают разногалечные контомераты нижней толщи (49,9 м) и песчаники и алевролиты верхней толщи (37,6 м). К центру впадины отложения становятся более тонкогалечными и мощность их превышает 198 м (скв. 3к).

В Гарекинской и Желхесской впадинах доронинская свита несогласно залегает на средне- и верхнерусских образованиях. Она предстает на гравийно-мелкогалечными контомератами, фациально замещающимися песчаниками с единичными прослойками гравелитов. Изученная мощность смысла в Гарекинской впадине 94 м (скв. 5), в Желхесской – 120 м (скв. 462).

В алевролитах верхней толщи доронинской свиты (Каралушская впадина, скв. 2) найдены единичные створки плоской сохранности *Zejai-* *sa cf. altaria Scopl., Z. sp., Daurina ? kuenkensis Sip.* (определения С. М. Синицы), характерные для верхов тургинской – низов кутлинской

свиты (нижний мел). На принадлежность свиты к нижнему мелу указывает и спорово-пыльцевые комплексы, выделение из отложений всех рассматриваемых видов.

Титинская свита (K_1^{tg})

Свита представлена разногабаритными конгломератами, гравелитами, песчаниками, алевролитами и трахидазитами.

В Харалгусской впадине она выполняет малые мульды преимущественно в ее краевых частях. Так, на юго-западе (скв. I-1) Титинской свиты залегает на алевролитах доронинской свиты, и разрез ее имеет следующий вид (снизу вверх) в м:

I. Базальты зеленовато-серые массивные и миндалекаменные	5,5
2. Алевролиты	1,0
3. Базальты серые массивные и миндалекаменные	1,0
4. Алевролиты песчанистые светло-серые	14
5. Базальты черные массивные и миндалекаменные	1,1
6. Алевролиты песчанистые светло-серые с прослойями и линзами аргиллитов, иногда обогащенные утилитом велеситом	9,8
7. Базальты черные тонкокристаллические массивные и миндалекаменные	31,7

Мощность свиты по разрезу 51,5 м.

В северо-восточной части впадины к титинской свите относены гравелиты (40 м), залегающие на алевролитах доронинской свиты (скв. I-5).

В Могоноской, Гарекской и Желхесенской впадинах титинская свита согласно залегает на доронинской, выполняя центральные части мульд. В двух первых она имеет мощность около 40 м и представлена разногабаритными конгломератами с прослойями разнозернистых песчаников. В Желхесенской впадине в основании свиты залегают трахидазиты (20 м), выше — мелко-среднегабаритные конгломераты (60 м). Общая мощность свиты не менее 80 м.

Согласное залегание доронинской и титинской свит и полная идентичность выделенных из них спорово-пыльцевых комплексов, характерных для нижнего мела, позволяют датировать титинскую свиту ранним мелом, чому не противоречит и абсолютный возраст базальтов (119 млн. лет, табл. 2).

Нижнегелловые отложения относятся к угленосной молассовой формации. В них в содеряниях, превышающих классы, присутствуют следующие элементы-примеси: Zn, Pb, Sc, Be, Ga, Zr, Ti, Vb, Ce, La.

КАЛКОЗОЙСКАЯ ГРУППА, ЧЕТВЕРТИЧНАЯ СИСТЕМА

Четвертичные образования различного генезиса покрывают сплошь весь щеблом мощностью 1–10 м всю исследованную площадь. Только в долине реки Мал. Йынка мощность их достигает 20–50 м, а во впадине Левобережной — 97 м. Они делятся на верхнечетвертичные, верхнегелловые современные и современные.

Верхнечетвертичные отложения (Q_{II})

Осадки этого возраста выполнены между Левобережной, расположенной на левобережье реки Мал. Йынка. В юго-западной части выделяются две субширотные мульды, разделенные Петровским фундамента. Большая часть выдина перекрыта более молодыми (Q_{III-IV}) осадками.

Представительный разрез описываемых отложений вскрыт скв. 9 в Центральной части северной мульды, где под зелеными осадками и аллювием I террасы общей мощности 40,6 м залегают (сверху вниз) в м:

1. Песок желтовато-серый средне-мелкозернистый с единичными утюговатыми обломками размером 1–10 см	5,8
2. Суглинок желтовато-серый с редкими гравийными зернами	1,2
3. Глина зеленовато-темно-серая с песчаными частичками	2,0
4. Суглинок зеленовато-серый с прослоями (10–20 см) песка	8,0
5. Глина черная с единичными прослойками (10–20 см) супеси и редкими частичками песка и гравия	3,0
6. Супесь желтовато-серая с прослойками (10–20 см) песка	6,0
7. Песок желтозернистый серовато-желтый с редким гравием и прослойками (0,1–0,3 м) черной глины	6,0

А л л и в а л ь н ы е о т л о ж е н и я

песчаными зернами (0,1-1 см), составляющими 30% объема интervала	15,0
9. Глина черная с редкими гравийными зернами (2-7 мм)	1,0
10. Глина желтовато-тепло-серая с 10-20% песчаних и гравийных зерен	6,0
II. Обломки (0,5-10 см) угляющие и слабоскатанные	3,8

Ниже залегают обрывки нижней при. общая мощность верхнечетвертичных отложений по разрезу 56,8 м.

Нижняя часть разреза (слой II) сложена осадками дельвильско-проливального генезиса. К верхам разреза (слой 3-10) они постепенно сменяются осадками озерного генезиса. Венчает разрез осадки дельвильско-проливального и проливального генезиса (слой I-2).

В направлении от центра моря к берегам фундамента и борегам морянина резко уменьшается мощность осадков, становится грубо-зернистым. Разрез этих частей напоминает сложение осадками лишь двух генетических типов: дельвильско-проливального и проливального, причем ближе к бортам впадины и выступам фундамента первые доминируют. Истоги из характера осадков, состава и особенностей их распределения, можно предположить, что формирование отложений впадины происходило в небольшом мелководном замкнутом бассейне. Присутствие в осадках мелкой (0,5-1,5 мм) единичной витраленности землистого вибрания указывает на восстановительную обстановку среди накопления.

Описанные образования являются древнейшими рыхлыми осадками района. Они перекрывают отложения нижнего мела и перекрываются валнико-золовыми и золово-проливальными образованиями позднечетвертичного-современного возраста. По данным спорово-пыльцевых анализов глины (сказ. 9), возраст описываемых осадков соответствует второй половине казанского междниковья, т.е. является позднечетвертичным.

В е р х е ч е т в е р т и ч н ы е - с о в р е м е н н ы е о т л о ж е н и я (III-IV)

Отложения этого возраста широко развиты в бортах долин рек и их крупных притоков. Они представлены осадками аллювиального, дельвально-проливального и золового генезиса.

Эти осадки слагают первую надпойменную террасу многих крупных рек. Наиболее полный разрез террасовых отложений вскрыт скв. 15 в правом борту долины Хилга (сверху вниз) в м:

1. Глинисто-песчано-гравийные отложения с плохой и средней, редко хорошей окатанностью зерен	16,3
2. Песок средне- крупновернистый гравелистый, слабо скреплен глинистым материалом, который составляет 10-15% породы	7,2

3. Песчано-глинистые отложения с редким гравием

4. Песок гравелистый с редкой хорошо окатанной галькой	16,5
--------------------------------------------------------	------

Террасовые отложения перекрывают ссыпки нижнего мела. Общая мощность по разрезу 45,0 м.

Болези тыловых швов террас в нижних частях разреза среди валнико-золовых появляются простые дельвильско-проливальные осадки.

Отложения первой надпойменной террасы залегают на осадках позднечетвертичного возраста. В террасовых отложениях Гареки определены спорово-пыльцевые комплексы, характерные для раннего голоцен. Кроме этого, на сменной с севера птицами в террасовых отложениях Кулина И.Н. Фомин в 1955 г. собрал костные остатки позвоночных (*Rhinoceros antiquitatis* Blum., *Eacus hamatus* Pan., *Gervus sp.*), характерные для отложений не древнее среднеплейстоцена. Все это позволяет считать террасовые отложения позднечетвертичными-современными.

Дельвильско-проливальные и золовые образования

На площади работ широко развиты рыхлые образования смешанного генезиса, представление в основном песками, привнесенным к различным гипсометрическим уровням вилоть до гребней подгоразделов. Среди песков выделяются два типа: монотонные и с примесью псевдоглинистого материала. Первые окрашены в яркие жайне и коричневые тона, характерные для золовых образований, и обладают слюистостью, присущей основанию песчаных золовых толщ. Пески второго типа (проливально-дельвильские) содержат обломки обнажавшихся волнистых пород. Они сформировались при перемещении по склонам золовых песков и смешивании их с местным материалом. Наблюдается участки переслаивания песков этих генетических типов. Это говорит о том, что золо-

ые и дельтическо-противильные процессы проходили геологически одновременно. Мощность рассматриваемых отложений колеблется от 25 м у подножий склонов до 0,5-1 м в приводораздельных частях. Наиболее склонах, где золовые отложения развиты незначительно резко повышенная мощность склоновых осадков (5-7 м) отмечается только у их основания.

Описанные образования залегают на поздне четвертичных осадках впадины Левобережной. Кроме этого, они перемежаются с террасовыми отложениями Хилта (вблизи типовых швов террас). В связи с вышеизложенным и учтывая, что их формирование продолжается и в настоящее время, дельтическо-противильные и золовые осадки датируются как поздне четвертичные-современные.

С О В Р Е М Е Н Н И Е О Т Л О Ж Е Н И Я (Q_T)

Среди современных отложений выделяются осадки альлювиального, дельтического и золового генезиса.

Альлювиальные образования развиты в долинах всех рек и имеют мощность от первых метров до 15-33 м. Они представлены песчаными, песчано-гравийными и песчано-гальваническими отложениями. Талька и гравий размером от 0,7-2 до 5-7 см хорошо окатаны. В прибрежных частях долин, в основании разреза современного аллювия, иногда появляются листы суглинков с дресвой и щебенкой дельтического генезиса. Дельтические отложения, представленные крупногабаритным, дресвойно-гальваническим и песчано-гальваническим материалом, развиты на склонах и у подножий сопок. Мощность их увеличивается от крутых склонов к влаголоженным участкам от 0,3-0,5 до 5 м.

Эоловые отложения (0,5-2,5 м) развиты на вершинах плоских водоразделов и представлены щебеночно-гальваническим материалом. Размер обломковарьирует от первых сантиметров до 1-2 м, в общем увеличивается вниз по разрезу.

И И Т Р У З И В Н И Е О Б Р А З О В А Н И Я

Эти образования слагают 80% территории. Среди них выделяются ультраметаморфические породы раннепротерозойского возраста, крупные инструменты позднего палеозоя и мезозойские гипабиссальные и субвулканические инструменты: трапповые, раннекорские, позднекорские и раннемеловые.

РАННЕПРОТЕРОЗОЙСКИЕ УЛЬТРАМЕТАМОРФИЧЕСКИЕ ОБРАЗОВАНИЯ
Данные образования представлены гнейсо-литоритами и гнейсо-графитами, которые являются производными послеплавительных стадий

единого процесса ультраметаморфизма. Совместно с породами магматической серии они слагают крустные выступы фундамента. Либо это (водораздельная часть Южного хребта) сложено породами кислого состава, на периферии (северные отроги хребта) преобладают более основные разности.

Гнейсо-диориты ($d_1 R_1$) подразделяются на амфиболовые и биотит-амфиболовые. Первые развиты в бассейне Бол. Харката, вторые —

в бассейнах Желтеса (левый) и Мал. Харката. Амфиболовые гнейсо-диориты — среднезернистые породы гнейсовой структуры и неясно выраженной полосчатой текстуры.

Они состоят из линзовидных стяжений лейкократовых минералов, разделенных полосчатыми "колышевыми" (перегородчатыми) скоплениями биотита и роговой обманки. Последняя, кроме того, слагает крупные корогнеизометрические порфиробласти. Амфиболовые разности отличаются отчетливее выраженной полосчатости, обусловленной линзовидными скоплениями амфиболя. Для обеих разновидностей характерны значительные колебания количества темноцветных минералов: от 10 до 30%, а также неравномерное распределение кварца, содержание которого меняется широкими (сотни метров) полосами и не зависит от меланократичности пород. По составу породы варьируют от диоритов до кварцевых диоритов и сложены платикокзом — 60-80%, калишпатом — 0-15%, кварцем — 0-20%, биотитом — 0-20%, роговой обманкой — 2-40%, сфеином — 1%. Плагиоклаз двух типов: первый — интенсивно серпентизированный — образует мелкие кристаллы, иногда слагающие скопления гранобластовой структуры; второй (# 30-40) — новообразованный — свежий, образует кристаллы, обнаруживающие гединию роста. Иногда это типичные "наполненные" порфиробласти с включениями биотита и платикокзаза первого типа. Характерна оптическая ориентировка позднегеологического платикокзаза, свидетельствующая о его росте в условиях одностороннего давления. Ксеноморфные зерна кварца располагаются параллельно гнейсовойности, иногда образуя скопления, вытянутые в виде жилок. Они корродируют платикокзаз и темноцветные минералы. Калиевый полевой шпат (обычно нерешетчатый) встречается в порфиробластах и мелких ксеноморфных зернах и корродирует все минералы. Отмечается прямая зависимость между содержанием кварца и калиевого шпата. Темнопечевые минералы (зеленый биотит и зеленая роговая обманка) образуют линзовидные скопления или окаймляют метабласти платикокзаза.

Роговая обманка, кроме того, образует крупные порфиробласти, содержащие включения платикокзаза и кварца. Гнейсо-гнейсит ($g_k R_1$) — мелко- и мелко-среднезернистые породы гнейсовой текстуры: темноцветные минералы и линзоочки (гнейс) кварца ориентированы. Сложенное гнейсо-гнейситами тело имеет

полосчатое строение, обусловленное вариациями минерального состава пород. В образованную ими структуру вписываются многочисленные скважинами гнейсов и амфиболитов малханской серии. На контактах со скважинами нередко отмечается обогащение гнейсо-гранитов темноцветными минералами с образованием пород трансдиоритового состава. Гнейсы метаморфизованы по гнейсоподобности пестрятками и лейкократовыми гранитами с образованием пород типа полосчатых митматитов. Встречаются единичные скважины лайки пегматитов и амфиболов (9РРТ) мощностью 1-2 м, протяженностью первые десятки метров.

Структура гнейсо-гранитов трансдиоритовая, реже порфиробластовая, иногда флюкстная и гиппоморфозернистая. Состав изменчив: пльюковаз - 20-25%, кварц - 25-50%, кальевый полевой шпат - 25-40%, биотит - 5-20%, роговая обманка - до 1%, акцессории - циркон, апатит, сфен, ортит, рудный минерал. Шлифовка (шлифовка) слагает короткотралистические зерна в основной массе пород, а также единичные порфиробласты. Калинит совершенно съемки, не имеющий порфиритов и микролитовых решеток. Он встречается как в виде порфиробластов, захватывающих при росте пльюковаз, биотит, кварц, так и в ксеноморфных зернах, выпавших из интерстиции. Кварц в зернах неправильной формы образует линзовидные складки (гранулы).

Характер гнейсо-диоритов и гнейсо-гранитов свидетельствует о их ультраметаморфическом происхождении за счет пород малханской серии в результате перекристаллизации, сопровождающейся привносом кремнезема и окиси калия.

В гнейсо-гранитах в концентрических, превышающих клярковые в

1,2-3 раза, содержатся Ni, V, Sc, Mo, La, Y, Zr.

Возрастное положение ультраметаморфических пород определяется тем, что они сформированы за счет нижнепротерозойских образований малханской серии и слагают с ними единую структуру. Это позволяет считать их синекзигнатами и датировать ранним протерозоем. Верхне-протерозойские отложения залегают на описанных породах с различным и содержит их гальку (верхний Оргинка).

Однако в пределах Яблоновского и Малханского хребтов, так же как и в других районах Забайкалья, описание образования в течение последней истории геологического развития было повергнуто неоднократной ревизии. Так, в блоках ультраметаморфических пород, расположенных в бассейнах Мал.Харытаги, Оргинки и Малхесена, широко проявлен процесс наложенной калинитизации. Структура этих пород метасоматическая портробластовая, реже - гетеробластовая. Состав калинита неизменен. В них выделяются реликтовые участки гнейсо-диоритов, гнейсо-гранитов, гнейсов и крупные новообразования порфиробласты кварца и решетчатого микроклина.

В зоне Северо-Яблоновского разлома (левобережье Большого Харытаги) описаны породы так же, как и контактирующие с ними палеозойские гранитоиды, перегрели интенсивное расслабление и повторную перекристаллизацию.

В части Яблоновского хребта, расположенной на территории листа, продукты регенерации представлены прожилками и небольшими галечами (первые сотни метров) лейкократовых гранатогнейсовых гранитов. В масштаде карты они не могут быть показаны. По мнению авторов, В.В.Старченко, В.А.Амантова, Б.Я.Хоревой и др., с процессами регенерации связано омоложение радиогеодетического возраста гнейсо-гранитов. Однако породы, в которых не наблюдается следов значительного вторичного преобразования вещества, эти исследователи датируют по времени их формирования ранним протерозоем. Л.А.Козлова считает гнейсо-граниты палингнейсами и датирует ранним палеозоем в соответствии с полученными ею радиогеодетическими данными: 442-57 млн. лет по горий-свинцовой изотропе (лаборатория ВСЕГЕИ).

ПОЗДНЕПАЛЕОЗОЙСКИЕ ИНТРУЗИИ

Позднепалеозойские гранитоиды занимают около 1000 км². Ими сложены четыре массива: Зун-Куртэйский, Шин-Кяхтинский, Тангинский и Песчанский, представляющие собой трещинные кристаллические тела, сформировавшиеся в мезаобитальных условиях в три фазы, соответствующие трем этапам эволюции математического очага. Об этом свидетельствует как закономерное изменение петрографических и петрохимических признаков, так и характер взаимоотношений пород различных фаз друг с другом. Первая фаза представлена диоритами и сиенито-диоритами. Они интрузируются гранитами и гранодиоритами второй (главной) фазы (водораздел Мал.Саранки и Гризного Ключа). Последние в свою очередь прорывают лейкократовыми гранитами третьей, заключительной фазы (левобережье Мал.Саранки).

На изученной территории расположена восточная часть, Зун-Хуртэйского массива, которая имеет протяженность 50 км и ширину 43 км. Она разделена более молодыми образованиями на группу выходов общей площадью 670 км². Почти вся изученная часть массива сложена гранитоидами II (главной) фазы, граниты III фазы слагают небольшие кристаллические тела в центральной части массива, а мелкие тела диоритов I фазы совместно с ксеномитами раннекембрийских (?) аффузиров распределены в южной периферийской части. Здесь же в породах главной фазы появляется мелкозернистая эндоконтактовая оторочка, что свидетельствует о близости естественного контакта массива, упакованного более молодыми образованиями. Указанное распределение

ние пород внутри массива находит отражение в магнитном поле: отрицательном над лейкогранитами гранитами и частично над гранитоидами II фазы (биотитовые разности), положительном – над отдельной частью массива. В гравитационном поле массив характеризуется четким минимумом, обусловленным пониженной плотностью пород. Гравитационная ступень совпадает с нижним контактом массива. Геофизические данные, по мнению Л. А. Мастолина [21], свидетельствуют о том, что Эн-Хуртейский массив является плоскообразным телом мощностью 13–17 км с кругопадающими контактами.

Шин-Кожгинский и Песчанский массивы в отличие от вышеописанного – небольшие (240-й 50 км²) линейные кругопадающие тела северо-восточного простирания. Тантинский массив – крупное изометрическое в плане тело с кругопадающими контактами, расположившееся на изученной территории северной части. Шин-Кожгинский и Тантинский массивы располагаются в пределах гравитационного максимума, что сильнее зависит от их небольшой вертикальной мощности. Песчанской массива характеризуется понижением гравитационного поля на фоне регионального максимума, а городки, слагающие это, интенсивно катаклизированы. К позднепалеозойским интузиям этот массив отнесен условно.

Перечисленные массивы сложены гранитами и гранодiorитами II фазы с редкими ксенонитами диоритов I фазы и городок-диабазом, что находит отражение и в магнитном отрицательном над гранитами и положительном над гранодiorитами. Граниты II фазы закартированы только в Тантинском массиве.

I фаза. Диориты, сменяющие диориты ($\text{J}_2, \text{J}_2^P, \text{PZ}_3$) – мелкозернистые порфировидные существенно роговообломковые породы, состоящие из поблочных вкраплений роговой обманки (20–45%) и призматических зернистых основных масс. Минеральный состав: платигранит двух генераций (мелкогранито-зональный I генерации – № 31–60, не-зональный II генерации – № 24–37) – 50–70%, роговая обманка – 25–35%, кварц – единичные зерна, калишпат – единичные зерна – 20%, биотит – 0–15%, пироксен – единичные зерна. Иногда, при обогащении пород амфиболом (40–60%), они переходят в габро-диориты и габбро, при понижении кварца (до 10–15%) – в кварцевые диориты и сменяют диориты.

II фаза. Граниты, трансформируются ($\text{J}_2, \text{J}_2^P, \text{PZ}_3$), являясь резко преобладающим в составе интузии, слагают все наиболее крупные тела.

В гранитах выделены две фациальные разновидности: амфиболовые, участками переходящие в амфиболомые, и биотитовые. Амфиболовые граниты – участки переходящие граниты – это среднезернистые порфировидные породы пинистой окраски с крупными (до 4x1,5 см) порфировидными вкрапле-

ниями белых и розовых полевых шпатов (редко кварца) и гипидоморфно-зернистостойкой основной массой. Биотитовые граниты – разновидности мелкозернистые породы с неоднородной структурой (мелкозернистые с элементами аллотротоморфно-зернистой). В составе гранитов содержатся: кварц – 25–45%, платигранит (струнчато-зональный) – 15–50%, I генерации № 12–37 и неизохронный II генерации № 13–17) – 15–50%, перитектизованный миократит, встречающийся в реакционных зонах потоков, – 15–45%, роговая обманка в короткоглинистых кристаллах – 0–10%, биотит дурий – 0–1%.

Гранодiorиты также представляют яркие разновидности: зандровые и биотитовые. Аллотротоморфные гранодiorиты слагают два разобщенных участка в Эн-Хуртейском массиве. Это серые массивные среднезернистые породы с характерными узкими промежутками (до 4x13 мм) между плоскими кристаллами роговой обманки (10–15%), серовато-серыми табличками полевых шпатов и единичными чешуйками биотита. Биотитовые гранодiorиты (до гранитов) закартированы в западной части Тантинского массива. В отличие от аллотротоморфных гранодiorитов это светло-серые среднезернистые породы с характером разночленением составом за счет пристойной неравномерности распределения кварца (от 10 до 25%). Другие минералы в обеих разностях присутствуют в субзональных количествах: зональный платигранит – 35–60%, магнетит – 15–25%.

Словобородый облик имеет интенсивно катаклизированые граниты Песчанского массива – темно-серые с пачистыми скоплениями темнозернистых минералов породы, состав которых меняется от гранодiorитового до гранитного в интервале от полей метра до сотен метров, структура – от блестокактластической (в катаклизмах) до блестомилонитовой и лейкоплантобластовой (в милонитах). Катаклизмы состоят из просленных порфиробласт платигранита (олигоклас № 28–30) – 40–50%, биотита – 25%, кварца – 20%, кусковита – 5%, единичных зерен калишпата, карбоната и сфена. Гранобластовый мелкозернистый агрегат занимает 10–15%. Милониты состоят на 70% из гранобластового агрегата и редких (5–10%) реликтов прослененного платигранита. Вторичные минералы – серцит, хлорит, мусковит – следственствуют о залегании девой фации метаморфизма этих пород.

III фаза. Граниты лейкогранитовые ($\text{J}_2, \text{J}_2^P, \text{PZ}_3$) – это светло-розовые мелко-среднезернистые породы, состоящие из темно-серого кварца, образующего глыбоскопления, – 30–40%, неизохронного пневматолиза (№ 8–16) – 10–40%, калишпата (микроклина) – 25–50%, биотит – 0 – единичные чешуйки. Структура пород аллотротоморфно-зернистая однородная.

Дайки пегматитов и амфиболов (ρ_3 , РЗ) встречаются очень редко во всех описанных массивах. Мощность их 0,5–2 м, протяженность 100 м. Простирание разнобразное, контакты с выщепающимися породами резкие, крутые.

Петрохимические особенности пород комплекса (см. табл. I) свидетельствуют о том, что они представляют собой единую серию пород первой фазы и с очень слабым отклонением в сторону пород с повышенной щелочностью в поздних фазах. По петрохимическому составу они приближаются к типу Сая-Баранческого и относятся к группе габбро-дiorит-гранитовых формаций, по И.А.Кузнецкову.

Описанные гранитоиды бедны элементами-примесями. В концентрациях, превышающих кластер в 1,1–2,7 раза, в них содержатся Mn, Cu, Pb, Be, La.

К верхнему палеозою описание гранитоидов относится на основании следующих данных. Они прорывают метасибириты нижнего кембрия (?) (р. Мал. Улугту) и прорываются ранне-среднетриасовыми экструзиями липаритов, связанных с тамбрской свитой (р. Балык Река). Абсолютный возраст пород (см. табл. 2) колеблется от 298 до 191 млн. лет. Триасовые липариты противоречат геологическим данным и связанны, очевидно, с наложением мезозойских процессов активизации. Значения 239–298 млн. лет соответствуют верхнему палеозою.

Песчанский массив липаритов поздним палеозоем условно. Из-за интенсивных наложенных процессов (катаклаза и магматизации) взаимоотношения его с ортинской свитой нижнего карбона решаются неоднозначно. По наблюдениям Л.А.Козубовой [18], ортинская свита залегает на гранитах массива, по наблюдениям авторов, массив интрузирует снизу [27].

ТРИАСОВЫЕ ИНТРУЗИИ

Триасовые интрузии представлены ранне-среднетриасовыми субулкантическими образованиями (описаны выше совместно с тамбрской свитой) и позднетриасовыми гранитоидами бичурского комплекса.

Бичурский комплекс

Гранитоиды этого комплекса совместно с вулканитами раннегосреднего триаса слагают Кудукскую тектономагматическую структуру (см. рис. 3). Их сложено пять массивов общей площадью 450 км². Все они характеризуются склонным положительным магматическим полем в отличие от находящегося поля позднепалеозойских гранитоидов. Три-

асовые массивы совместно с позднепалеозойскими расположаются в пределах гравитационного минимума, несмотря на то, что плотность пород, слагающих их, значительно выше, чем гранитоидов позднего палеозоя. Это наряду с резко выраженным гипабиссальным, иногда субвулканическим (гранит- и гранатосенин-диориты) обликом пород, свидетельствует о незначительном объеме plutонов и гипабиссальных условиях их становления. Последнее происходило в три основных и один дополнительный этап. I фаза представлена сиенито-диоритами, габбро-сиенитами, сиенитами, граносенинто-диоритами; II – гранитами, граносенинами, граносенинто-диоритами; вторая дополнительная (III) фаза – субделокальными граносенинами, гранитами; III фаза – амфиболовыми гранитами. Для всех фаз характерно широкое развитие порфировых аналогов составляющих их пород.

Наиболее крупные массивы Волгорадский и Кудукский. Первый (140 км²) приурочен к водораздельной части хр. Цаган-Хурэй. В плане его очертания извилистые с многочисленными заливами и апофизами, простирающиеся параллельно северо-восточным (основным) и северо-западным (перечным) разломам. Строение массива зональное. Иная и краево-восточная части сложены образованиями I фазы, а южная западного и северо-западного контактов – мелкие тела их расположаются перикратой цепочки. Центральная часть массива сложена субделокальными гранитоидами II (полуполнительной) фазы, прорванными узкими, реже изометричными телами амфиболов III фазы, группирующими в две цепочки северо-западного простирания. Для всех тел, слагающих массив, характерна дайкообразная форма (от 1,5×4 до 4×15 км). Круговое падение контактов и резко меняющееся (на 90°) простирание тел свидетельствует о приуроченности образований I и частично II фазы (гранит-диоритов) к трещинам северо-восточного простирания, а III фазы – к трещинам перечного направления. Исключением являются тела II (полуполнительной) фазы, использующие обе системы.

Кудукский массив расположен на водоразделе Кудуна и Хильи. При ширине 2–8 км он вытянут в субширотном направлении на 40 км. Массив сложен в основном гранитами II фазы. В плане форма образованного ими тела резко удлиненная "стулечная" с извилистыми и угловатыми очертаниями. Вдоль контакта прослеживается мелкозернистая, а участками порфировая факция шириной 0,1–1 км. Падение контактов в основном, круглое, только на северо-востоке, судя по сравнительно широкой (500 м) зоне экзоконтактового ороговывания, более пологое. К юному и северному контактам описанной интрузии приурочены мелкие штоки и дайкообразные тела амфиболов III фазы.

Из других массивов два (Холхинский и Прикудукский) на излучине площади расположены частично. Они сложены преимущественно гранитоидами I и II фаз. Падение контактов круглое.

I фаза. Сиенито-диориты, габбро-сиениты ($\Sigma_2 \text{Si}_2 \text{O}_5 \text{Ti}_3$), сиениты ($\Sigma_2 \text{Si}_2 \text{O}_5$), граносиенито-диориты ($\Sigma_2 \text{Si}_2 \text{O}_5 \text{Ti}_3$) образуют небольшие тела, расположенные на периферии всех массивов. Породы этой фазы характеризуются обильной пестротой состава, даже в пределах одного тела. Цвет их варьирует от сиреневато-серого до темно-серого с буроватым. Они отличаются резким идиоморфизмом лейстовидных плагиоклазов и частично калишпатом амфиболов. Наиболее распространены сиенито-диориты, состоящие из плагиоклаза (# 25-40) – 55-75%, калишпата – 3-7%, пироксена – 1-2%, роговой обманки – 10-20%, псевдоморфов по темноцветным минералам – 3-4%, рудного минерала – 2%. Кварца – 1-5%. При резком увеличении количества калишпата (до 40-60%) они переходят в сиениты, кварца (до 20%) – в граносиенито-диориты, темноцветных минералов – в габбро-сиениты. Для всех пород характерно наличие мономинеральных сростков и скоплений, обусловливающих тактику текстуру, обрастание и частичное замещение перититизированным калиевым полевым шпатом плагиоклаза, изменение структуры от призматической до типично-морфозернистой.

Лайки граносиенито-диорит-порфиротов ($\Sigma_2 \text{Si}_2 \text{O}_5 \text{Ti}_3$) очень редки, встречаются на правобережье Бурун-Кутэя. Они имеют северо-восточное пространение, крутые падения и разрезы породика 5х50 м.

II фаза. Граниты ($\Sigma_2 \text{Si}_2 \text{O}_5$), граносиениты, граносиенито-диориты ($\Sigma_2 \text{Si}_2 \text{O}_5 \text{Ti}_3$), гранит- и граносиенит-порфирьи ($\Sigma_2 \text{Si}_2 \text{O}_5 \text{Ti}_3$). Каждая из выделенных групп пород слагает самостоятельные трещинные тела, частично зонального строения. Гранит- и граносиенит-порфирьи слагают преимущественно эндоконтактовые зоны и мелкие кильные тела. Кулруктинский массив сложен гранитами, в долю линого контакта переходящими в граносиениты. Граносиениты, слагающие Хоккинский и Барун-Неметейский массивы, часто переходят в граниты и граносиенито-диориты (доминанты).

Породы II фазы характеризуются серым и сиреневато-серым цветом, иногда голубовато-серым цветом и порфировидной структурой. Преобладают граниты, которые состоят из 25-50% калишпата, 15-50% плагиоклаза (# 20-40), 20-40% кварца, 0-2% роговой обманки, 1-7% биотита. Граносиениты содержат 85-80% калишпата, 1-2% плагиоклаза, 15-20% кварца, 1-2% роговой обманки и 2-3% биотита. Граносиениты постепенно переходят в граносиенито-диориты, содержащие больше плагиоклаза (35-50%) и темноцветных минералов (10-15%). Основная масса пород микро-, мелко- и среднезернистая (альбитогранит-песчанистая с элементами микротекстурой, миткогранит-литовая, амфиболовый и сфералитовый строения), содержит скопления мелких зерен зеленовато-бурового биотита и зеленого рогового обманки. Калиевый полевой шпат поритизированый, часто интенсивно замещает плагиоклаз.

Лайки гранит-, граносиенит- и граносиенито-диорит-порфиротов ($\Sigma_2 \text{Si}_2 \text{O}_5 \text{Ti}_3$) расположены мощностью 2-130 м, протяженностью от 100 м до 1,5 км. Они разбросаны между речью Грязного Кичча – Мал. Сарыни и на срелке Халык – Баран. Преимущественно среди палеозойских гранитов.

III (полигенитическая) фаза. Субшелочные граносиениты, граниты ($\Sigma_2 \text{Si}_2 \text{O}_5 \text{Ti}_3$), гранит- и граносиенит-порфирьи ($\Sigma_2 \text{Si}_2 \text{O}_5 \text{Ti}_3$) слагают тела значительного размера, причем зональность обусловлена не только наличием мелкозернистых и порфировых эндоконтактовых оторочек, но и изменением состава пород от периферии тела от граносиенитов с обычновенной роговой обманкой до гранитов и граносиенитов с субшелочной роговой обманкой. При этом в породах уменьшается количество плагиоклаза и увеличивается содержание щелочного полевого шпата, а содержание кварца резко варьирует.

Породы III фазы характеризуются голубовато- и сиреневато-серым цветом, лейкораковины обликом, порфировидной и порфировой структурой. Основная масса амбитоморфозернистой, участками микрографической и албитовой структуры. Граносиениты состоят из перитит-антитеррита – 50-87%, плагиоклаза (# 25-33 до # 15-17) – единичные зерна – 25%, кварца – 10-20%, роговой обманки – единичные зерна – 5%, биотита – единичные зерна – 1%, сфена – до 0,5%. С увеличением количества кварца до 25-30% они переходят в граниты. Для этих пород характерно наличие широкогабитичных кристаллов перитит-антитеррита, в которые включены зерна плагиоклаза.

III фаза. Амбиктовые граниты ($\Sigma_2 \text{Si}_2 \text{O}_5 \text{Ti}_3$) слагают мелкие штокобразные тела с узками (50-100, редко 500 м) эндоконтактовыми оторочками гранит-порфиротов. Иногда гранит-порфирьи ($\Sigma_2 \text{Si}_2 \text{O}_5 \text{Ti}_3$) образуют самостоятельные тела. Описанные породы сиеневато-розовые массивные с темно-серым (до мориона) кварцем характерной округлой формы в порфировых разностях. Состав их однороден: плагиоклаз (# 29 до # 16-18) – 10-40%, калишпат (перититизированный) – 30-65%, кварц – 25-40%, биотит – 0-2%. Структура мелко-среднезернистая (амбитогранит-литовая) и порфировая с амбитоморфозернистой и албитовидной основной массой).

Лайки гранит-порфиротов ($\Sigma_2 \text{Si}_2 \text{O}_5 \text{Ti}_3$) расположаются вблизи интрузий III фазы. Преодолевшее пространение их северо-восточное (с отклонением по северо-западному), мощность от 5-25 до 50-70 м, падение круглое. Породы, слагающие их, по составу полностью аналогичны вышеописанным гранитам. Структура их порфировая с албитовой и микротектурой основной массой.

Лайки диоритовых порфиротов ($\Sigma_2 \text{Si}_2 \text{O}_5 \text{Ti}_3$) завершают формирование базического комплекса. Они образуют пояса в дотрасовых породах (между-

рече Транки Колч - Мал.Улутуй, Носориха - Голекс и др.), реже встречаются среди описываемых гранитоидов (бассейны Черного Железа, Зун-Куртая и др.) мощность даек 3-40 м, протяженность 50-600 м, простирание, в основном северо-восточное, падение крутое.

Диоритовые порфириты - зеленовато-серые массивные породы, содержащие 1-20% порфирокристаллов пластика размером от 1х2 мм до 2x4 см. Состав пород: шамоказ (во вкраепленниках № 50, в основной массе № 40) - 60-75%, широксен - 20-25%, роговая обманка - 1-20%, кварц - 1-2%, рудный минерал - 2-3%, калиевый полевой шпат - единичные зерна. Структура основной массы прозрачно-зернистая, участками дисперсная.

Контакты гранитоидов очурского комплекса с замещающими образование резкие, архитектонические. Эндоконтактовые изменения в интрузивных телах всех фаз однотипны (мелкозернистые и порфирокристаллические).

Эндоконтактовое воздействие на вмещающие вулканиты триаса проявляется в их ороговиковании в зонах шириной от первых метров до 500 м. В позднепалеозойских гранитоидах на контактах с олиговасстыми породами отмечается обльбиязация амфиболов.

Гранитоиды очурского комплекса представляют собой петрохимически единую серию ($S_{10,2} = 53,6-76\%$) нормального с повышенной плотностью ряда, очень близкую по составу к титановым вулканитам (см. табл. I). Вулканиты и гранитоиды склонны по содержанию полевошпатовой известняк, в среднем приближающиеся к типу Эльбы. Для тех и других характерна резко выраженная натриевость. Однако общее количество полевомагнитных цепочек в гранитоидах (в среднем промежуточное между типами Сан-Франциско и Эльбы) несколько выше, чем в эйфор-

тизах.

Трещинная форма интрузий, гипабиссальные и субвулканические установки образования, тесная пространственно-структурная и временная связь с олигакомплексами раннего-среднего триаса указывают на принадлежность комплекса к ряду вулканогенных интрузивных формаций (по И.А.Кузнецкову). Петрохимические особенности пород и их количественные соотношения позволяют выделить очурский комплекс в сиенит-трапециент-гранитовую формацию. В породах этого комплекса, как и в тамбуканитах, в концентрациях, превышающих клярк в 1,1-3 раза содержатся Си, Zn, Pb, Mo, Be, Za, Y, Zr. Резко повышенная концентрация Sc (5-13 каратов).

Относительное возрастное положение очурского комплекса определяется прорицанием им тамбуканитов синтеза в междуурье Курткуту - Хилья и несогласным залеганием на них трахибазальтов раннеэйской пачки дунитовой синтеза на левобережье Тайдугма. Радиогеологический возраст пород комплекса 192 млн. лет (см. табл. 2), по-видимому, от-

ражает заключительный этап становления интрузии. Все это позволяет датировать очурский комплекс поздним триасом.

РАННЕЯРСКИЕ ИНТРУЗИИ

Раннеярские интрузии развиты в основном в пределах Хазарта-Неметейской и Черновской тектономагматических структур совместно с вулканитами того же возраста. Интрузии представлены субвульканическими образованиями (описаны совместно с паган-Хунтейской свитой) и южными гранитоидами атжинского комплекса.

Атжинский комплекс

Атжинский комплекс представлен южочными сиенитами (I фаза) и цепочками гранитов (II фаза). Они слагают четвере массива: Тайдугский (190 км²), Атжинский (100 км²), Ула-Шадурский (20 км²) и Хатырский (12 км²). Кроме того, как в пределах вулканов, так и в юго-западном направлении имеется множество даек этих пород. Атжинский и Хатырский массивы сложены породами обеих фаз, остальные - только гранитами II фазы. Все массивы, кроме Тайдугского, являются типично-крутоизогнутыми трещинными интрузиями. Слагающие их тела разных фаз субпараллельны, вытянуты согласно с общим пространением массивов и имеют зональное строение, тайштетский массив, судя по геофизическим данным, представляет собой пластовое тело небольшой мощности. К югу от него отходят две крутоизогнувшие амфибозы, полуокольцом охватывающие Загаринскую куполовидную структуру.

В эндоконтактах массивов трапеевые и раннеэйские эфузивы в зонах мощности от десятков сантиметров до первых метров присоединяются к роговиковую структуру. Изредка отмечается сладое окварцевование. Только в остатках краяли Атжинского массива и в восточном эндоконтакте. Тамбутоидные массивы зоны роговиков достигают 500 м. I фаза. Шаточные сиениты до квадратных сиенитов ($\Sigma_{\text{Si}}^{4,7}$) сиенит-порфириты ($\Sigma_{\text{Si}}^{4,7}$) - массивные породы сиренево-коричневого и коричневого цвета. В центральных частях интрузивных тел сиениты крупнозернистые, в периферийских - средне- и мелкозернистые порфирокристаллические, в эндоконтактах - до крупнопорфировых сиенит-порфиритов. Структура сиенитов гипидроморфосернистая. В основной массе сиенит-порфиритов, кроме того, отмечается участки микротрещинистой структуры. Минеральный состав: микроклин-перлит (с единичными реликтовыми включениями интенсивно альбитизированного шамоказа № 33-46) - 75-80%, кварц - 1-10%, щелочные амфиболовы (магнезиогастингит и арфедсонит) - 2-4%, эгрин-диопсид - до 2%, диопсид в реликтовых

кристаллах и биотит — единичные зерна, акцессорные — апатит, сфен, орцит, рутил, минерал, чеканит.

Дайки сиенит-пироклазов ($\Sigma_{2,1}$) редки. Небольшие рои их встречаются на правобережье Куртэя, в низовых Чёрного Днепра. Это — крутоопадающие тела протяженностью до 1 км, мощностью до 10 м.

П. ф. а. з. а. Целочные граниты до граносенитов ($\Sigma_{2,1}$) — серые и сиреневатые массивные породы различной, как правило, равномерной зернистости: в центральных частях массивов средне-крутоизернистые, в периферических — средне-мелкоизернистые и мелкоизернистые в эндоконтактах. Структура их гипидроморфозернистая с участками микротрафическойской. Минеральный состав: калиеватровые полевые шпаты (микроклин-перит и альббит), имеющий со всеми минералами реакционные взаимоотношения — 55–65%, кварц — 30–40%, эгирий-диопсид — 1–4%, магнезиохлорит и арфроэссионит — 2–4%, акцессорные те же, что и в сиенитах. Альбит распределен крайне неравномерно.

Размеры участков интенсивной альббитизации колеблются от 2–3 см² до 20–100 м², а в Атжинском массиве в верховых Вол.Куды и на правобережье Мал.Линой, а также в зоне восточного контакта Тайцетского массива наблюдаются поля алббитизированных гранитов площадью в первые квадратные километры. В этих породах отмечаются несколько повышенные содержания бериллия, олова и ниобия, который совместно с tantalитом концентрируется в не используемом промышленностью минерале — ценините.

Дайки гранит-пирофироз ($\Sigma_{2,1}$) отличаются от гранитов более темной окраской и повышенным содержанием щелочных альббитотов (до 10–15%). Структуры их разнообразны: микротрафидомикротравертинистая с участками микротрафической и ампиговой, гранофирозная, сферолитовая. Они образуют пояса шириной 2–5 км и протяженностью до 20 км (между рекой Мал.Саранка — Мал.Улентя, правобережье Атжи, Верховья Барун- и Сун-Немчега). Дайки куполопадающие мощностью 5–60 м, протяженностью 100–900 м.

Атжинский интрузионный комплекс представлен породами кислого и среднего состава ($SiO_2 = 62,1\text{--}77,7\%$), очень близкими по петрографическим особенностям к Илан-Хунгейским вулканитам. Осными для них являются резко выраженная "антеллеритовая тенденция", низкие содержания известия, принадлежность к образованию кальциатриевого ряда. Гранитоиды отличаются от вулканитов повышенным содержанием флюса и еще большей лейкократостью. Они относятся к формации щелочных гранитов.

В гранитоидах атжинского комплекса, как и в раннеюрских вулканитах, в концентрации, превышающей квоту в 2–17 раз, содержатся Nb, Y, Yb, Zr, Ce, La, Be, Pb, Sc.

Дайки сиенит-пироклазов ($\Sigma_{2,1}$) —

различном залегает средненерская хардатинская свита [26]. Относительное положение, а также радиометрические данные, большинство которых укладывается в интервал 163–178 млн. лет, позволяют датировать атжинский комплекс концом ранней, возможно, началом средней при-

ПОЗДНЕЙСКИЕ ИНТРУЗИИ

Поздненерские интрузии представляют субвуликанические образования, связанные с эндоконтактами балинской свиты, а также сложные складки с ними по составу дайками. Они описаны вместе с балинской свитой.

РАННЕЙСКИЕ ИНТРУЗИИ

Ранненерские интрузии развиты на правобережье Хлын. Они представляют собой даткообразование (от 3–5×100–200 до 100–300×2000–4000 м), редко изометричные тела, имеющие краткое название. Основные части их сложены трахиолеритами (β К), которые сменяются к эндоконтактам трахиандезито-базальтами. Интрузии иногда сопровождаются небольшими (1–2 км²) потоками пористых трахиандезито-базальтов буро-красного цвета.

Трахиолериты — массивные плотные породы черного цвета с пахаревыми включениями плагиоклаза размером до 3×10 мм (от 2–3 до 20–25% породы), изредка пироксена и рутилового минерала. Минеральный состав трахиолеритов: плагиоклаз № 42–45 (во вкрашиваниях с альббитовыми включениями) — 70%, моноклинный пироксен — 10%, рутиловый минерал — 5–10%, калиевит — 0–3%, палагит — 10%, оливин — единичные зерна, апатит — 1–2%. Структура основной массы лейкократовая (стекловатых разностей — гиалоклазовая и вериолитовая). Стекло в основном снежее.

По химическому составу породы близки к средним типам юшонитов и бианитов, по даек, но отличаются от них режимом преобладанием наряду над калием.

Трахиолериты латеритятся ранним мелом, так как они прорывают южноевропейскую систему поздненерского возраста и по составу близки трахибазальтам, залегающим в разрезе нижнего мела.

ТЕКТОНИКА

Исследованная территория расположена в южной части Салонгено-южной системы геантклиматально-аспидного типа [1]. Развитые на юго-западе формации образуют десять структурно-формационных комплек-

лексов, сформированных в следующие эпохи геотектонического развития: протогеосинклинальную (раннепротерозойский комплекс), геантити- нально-эпиконтинентальную (позднепротерозойский, кембрийский и средне- позднепалеозойский комплексы), орогенно активизацию (триасовый, ранненерский, средненерский и поздненерский комплексы), подиличной плат- формы (раннемеловой и четвертичных комплексов).

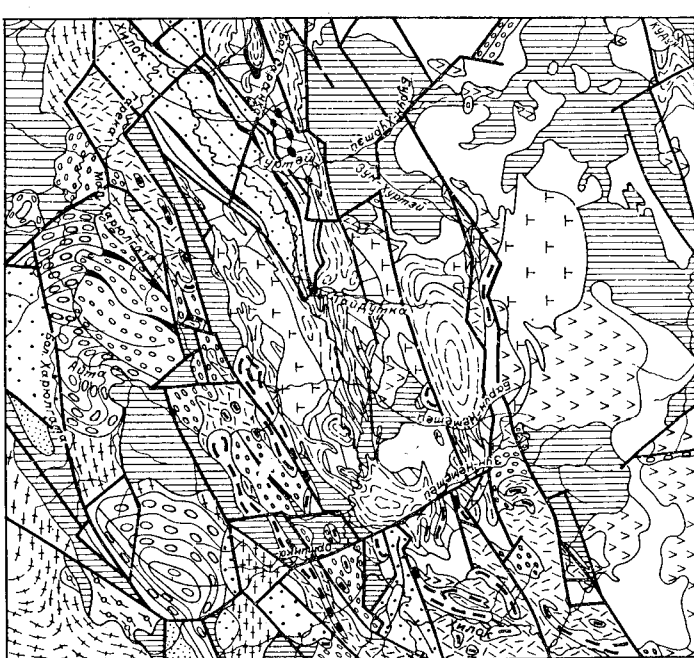
Анализ распределения формаций, а также данных гравиметрической съемки 1:200 000 [16] позволяет выделить четыре структурно-формационные зоны (рис. I-3): Яблонскую, представляющую собой выс- туп раннепротерозойского фундамента и обрамленную (напичанную с риффом) устойчивыми тенденциями к возвышению; Оргинскую с рифтами поздне-протерозойских и раннекарбоновых прогибов; Тарекинскую со слабо переработанным в палеозое фундаментом и мезозойскими вулканогенно-терригенными прогибами; Цаган-Хургайскую с интенсивно переработан- ным в палеозое фундаментом и максимально проявленным мезозойским метаморизмом. Первые три зоны располагаются в пределах регионально-го гравитационного максимума, на фоне которого Оргинская зона выде- ляется в виде понижения первого порядка. Цаган-Хургайская зона фи- нируется региональным минимумом. С конца мезозоя разница в разви- тии всех зон несколько нивелируется.

Протогеосинклинальный структурно-формационный комплекс

В раннем протерозое рассматриваемая площадь входила в состав обширной протогеосинклиналии. В ней происходило накопление мощных терригенных и вулканогенных толщ [25]. В процессе раннепротерозойской складчатости эти породы претерпели глубокий метаморфизм и ультра- метаморфические преобразования.

Раннепротерозойский комплекс представлен гранито-gneйсовый фор- мацией, включавшей метаморфические породы малинской серии и сфор- мирование за их счет ультраметаморфические образования. Современные выходы рыхлых протерозойских явлений являются частью единого, расщепленного палеозойскими интрузиями склада зонального строения. В его антидель- ной части, в полосе гранито-gneйсовых куполов (Яблоновая зона), сконцентрированы наименее плотные (кислые) породы, по периметрии и, судя по геофизическим данным [21], на глубинах – плотные породы сред- него и основного состава. Территория листа захватывает северо-за- падное крыло одного из гранито-gneйсовых куполов, в пределах кото- рого породы падают в северных рубежах под углом 30–60°. Крыло купо- да осложнено синклиналью с размахом крыльев 2 км. Падение гнеисо- видности в них 10–15°.

¹⁾ Термин В.А. Амантова [1].



I - структурно-формационные комплексы: раннепротерозойский: 1 - гранито-gneйсовая формация; позднепротерозойский: 2 - тер- риентная молassa; кембрийский: 3 - дипларитовая формация; сред- не-позднепалеозойская: 4 - терригенная молassa; 5 - порфирито-трансверсальная формация; 6-7 - трахиандезит-липаратовая формация; 6 - вулканогенно-осадочная подформация; 7 - вулканогенная подфор- мация; 8 - сиенит-трансверситет-гранитовая формация; ранненерский (вулкано-плиточитовая формация): 9 - трахиазальт-трахиитовая под- формация (в - ступенчатые насыпи); 6 - стратиграфическая фа- милия; 10 - цементно-липаратовая подформация, суперизушенные фа- милии; II - формация мелочных гранитов; средненерский; 12 - терри- генная молassa; поздненерский; 13 - формация калевых дипларитов (а - субизушенные фации); 5 - стратиграфические фации; ран- немеловой; 14 - утильосная молassa; 15 - разломы, оси складок: 16 - антиклинальных; 17 - синклинальных.

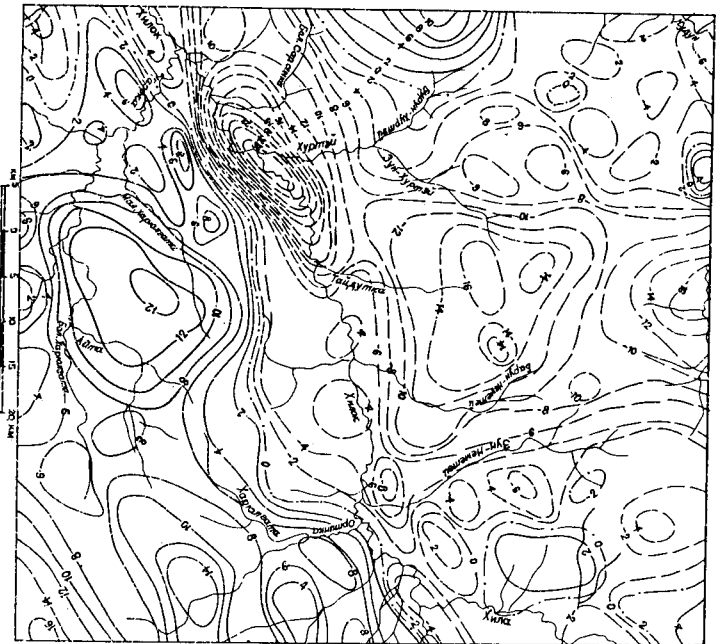


Рис. 2. Карта локальных гравитационных аномалий
Изолинии, мГ: 1 - положительные, 2 - нулевые, 3 - отрицательные.

Тектонико-лито-геодинамические структурно-формационные комплексы

Изолинии, мГ: 1 - положительные, 2 - нулевые, 3 - отрицательные.

Орлинская зона, большую часть которой слагают описываемые граниты, выделяется понижением первого порядка на фоне гранитационного максимума. Это указывает на глубинность данной зоны и, одновременно, автотонный характер гранитолов.

Структурно-формационные комплексы орогенного активизации

Формационные комплексы

В результате раннепротерозойского тектогенеза была сформирована олигияная протолиформация. В позднем протерозое – палеозое она была расчленена на ряд следующих систем. Седиментно-обстановочная гео-антропогенная-эволюционная система, в пределах которой расположена изученная площадь, характеризуется формированием в позднем протерозое, кембрии (?) и раннем карбоне приразломных прогибов, выполненных колесовидной и портфолиевыми формациями, и интенсивным гравитационным катабазизмом, проявившимся на изученной территории в позднем палеозое.

Позднепротерозойский комплекс представлен территорией монолитностью 2 км (Застепинская свита). Она слагает рельеф предгорного прогиба, приуроченного к Орлинской структурно-формационной зоне. Образование моноклинально падает на северо-запад под углом около 30°. Кембрийский комплекс представлен толщем вулканитов кислого состава монолитностью около 500 м (диапиритовая формация). Они образуют ряд небольших разобщенных радиальных древних вулканических построек. Средне-позднепалеозойский комплекс образует две формации: терригенная молассовая (орлинская свита) и диорит-гранодиорит-гранитовая.

Терригенная молassa (1800 м) простирается, как и позднепротерозойский комплекс, к Орлинской зоне. Она образует радики предгорной впадины, в которой породы имеют моноклинальное (20–35°) падение на северо-запад.

Диорит-гранодиорит-гранитовая формация развита во всех структурно-формационных зонах, кроме Яблоновой. Цаган-Хуртайская зона занята одним крупным Зүйт-Хуртайским массивом. Он фиксируется региональным гравитационным минимумом, ограниченным четкими ступенями. По расчетам Л.А. Масловцева [21], массив представляет собой плоскообразное тело (монолитность 13–17 км) с крутыми контактами.

В Гарекинской зоне, расположенной в пределах гравитационного максимума, охватывающего наряду с этой зоной Яблоновский восточный фундамента, массивы палеозойских гранитоидов имеют меньшие размеры и, судя по их слабому влиянию на гравитационное поле, небольшую вертикальную мощность. По-видимому, для данной зоны они являются аллювийными, произведеными спутниками Цаган-Хуртайской зоны.

Орлинская зона, большую часть которой слагают описываемые граниты, выделяется понижением первого порядка на фоне гранитационного максимума. Это указывает на глубинность данной зоны и, одновременно, автотонный характер гранитолов.

Формационные комплексы

В данном зону были обнаружены четыре структурно-формационных комплекса: триасовый, раннепермский, среднепермский и позднепермский. Они отражают последовательные этапы становления Цаган-Хуртайского вулканогена – обособленного звена Западно-Забайкальского вулканогенного пояса. Образования каждого комплекса слагают самостоятельные структурные элементы – тектономагматические структуры различного структурного типа и видами, сконцентрированные в линейных зонах. Размещение структур отражает направленность в развитии вулканогена. По периферии его располагаются зоны триасового возраста.

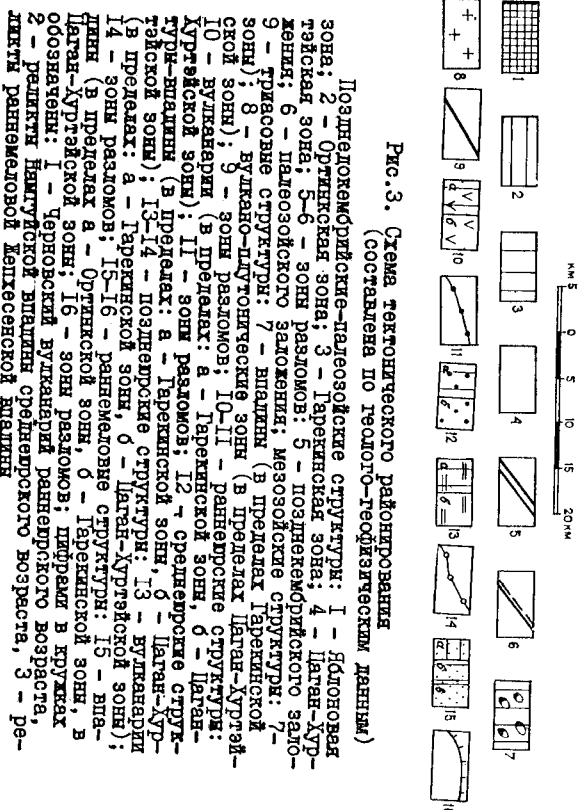
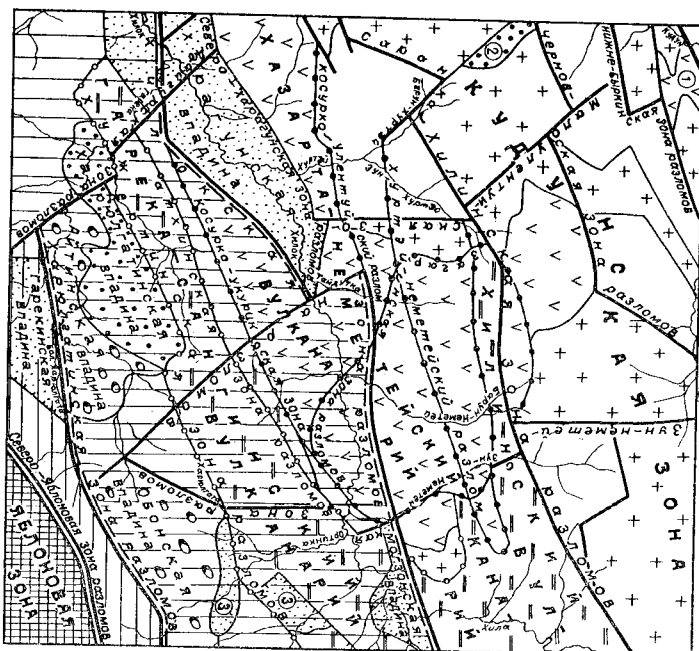


Рис.3. Схема тектонического районирования

(составлено по геодетико-геофизическим данным)

Поднедокомирские-палеозойские структуры: 1 - яблоновская зона; 2 - Ортинская зона; 3 - Гаринская зона; 4 - Цаган-Хуртская зона; 5-6 - зоны разломов; 5 - поднедокомирского заложения; 6 - палеозойского заложения; мезозойские структуры: 7 - Тимасовы структуры; 8 - вулкано-плутонические зоны (в пределах Цаган-Хуртской зоны); 9 - зоны разломов; 10-11 - ранненерские структуры; 10 - вулканики (в пределах а - Гаринской зоны, б - Цаган-Хуртской зоны); 11 - зоны разломов; 12 - среднеранние структуры-разломы (в пределах а - Гаринской зоны, б - Цаган-Хуртской зоны); 13-14 - поздненерские структуры; 13 - вулканики (в пределах а - Гаринской зоны, б - Цаган-Хуртской зоны); 14 - зоны разломов; 15-16 - ранненерные структуры; 15 - вулканики (в пределах а - Ортинской зоны, б - Гаринской зоны, в - Башкирской зоны); 16 - зоны разломов; цифрами в кругах обозначены: 1 - Черновской вулканический ранненерского возраста; 2 - радиотектонический южногорский южногорского возраста, 3 - ре-



Далее от этапа к этапу наблюдается сокращение магматической активности и преобладающее смещение зон магматической деятельности к центру вулканизма, на участки, не затронутые процессами активизации в предыдущий этап.

Грависовский комплекс представлен образованием двух формаций: трахиан-плейзит-липаратовой (тампинская сията и связанные с ней структурно-литологические образования) и сиенит-трансмент-транитовой (бичурский комплекс). Они сконцентрированы в двух зонах. Кудуская зона, центр которой был глубоко переработан в палеозое, сложена зулуватами и гранитогнейами. В ней выделяются две отвратительные разломы: параллельные ветви, насыщенные интрузиями и экзокрустациями. Структуры зоны определяются формой и взаимным расположением этих тел. В западной части зоны они кругопадающие, линейной или Т-образной формы, подчищены двум системам трещин: северо-восточной и северо-западной. В восточной части наблюдаются сочетание крупных пластовых тел вулкаников и кругопадающих трещинных интрузий.

В Богдановской зоне со слабо переработанным в палеозое фундаментом прессобладают вулканогенно-осадочные образования тампинской свиты мощностью до 3900 м, выполненные Одоискую и Атынскую антиклинали. Первая из них представляет собой асимметричную мульду, ось которой смещена к юго-востоку. Падение северного и западного крыльев складки 50-70°, к югу оно выполняется до 20-30°. Асимметрия структуры подтверждается распределением осадков и склонузаводов. Атаянская антиклиналь симметрична. Падение пород на крыльях 10-35°. Текущая структурно-временная связь траппистых вулканитов и гранитов, их петрологическое и геохимическое сходство свидетельствуют о принадлежности этих городов к единой вулкано-плутонической ассоциации.

Ранненерский комплекс образует две формации: трахиан-плейзит-траппист-диатомитовая и пелоночные граниты. Они слагают Казаргинскую-Неметовскую тектономагматическую структуру (вулканарий), которая выделяется в гравитационном поле локальным минимумом и резко переменным магнитным полем. Вулканарий состоит из двух сопряженных структур второго порядка: Кутайского лежащего вулканиотектонического традея и Загаринского кольцевого куполовидного поднятия. Грабен выполнен средними и основными залежами мощность не менее 700 м. Поводящие каналы их протягиваются поперек через весь грабен в его осевую часть. Породы пограничной фауны образуют сложную структуру, полого ($10-30^{\circ}$) погружющуюся к центру грабена с небольшим осложнением вблизи неккоев, где покровы имеют пологое (10°) переклинальное падение. Липараты концентрируются гнейсом образом вдоль краевых разломов, где образуют серии кругопадающих линейных экзокрустаций размером от первых сотен метров до 9×2 км. В эту же структуру

высывается Атласская трещинная интрузия щелочных гранитов. В центре тяготеет эксплуатный мало, они невелики и имеют изометрический форм.

Задаринская структура (28x40 км) состоит из центрального блока, сложенного породами донецкого фундамента, к ядру которого приурочена субвульканическая интрузия липаритов и гранито-литофантов. Блок окаймлен почти непрерывным кольцом раннеширских интрузий и экспрузий. По периферии его прослеживается узкая (3x5 км) полоса покровов нижнешапа-хунгейской подсвиты мощности 100–300 м.

Таким образом, все элементы Казарта-Немецкого вулканария обнаруживают тесную структурную соподчиненность, что указывает на принадлежность слагающих его вулканогенных и интрузивных образований к единой вулкано-плутонической ассоциации. Это подтверждается сходством их петрохимических и геохимических особенностей.

Среднерусский комплекс представлен территорией мощностью до 1500 м. Она выполняет решетку двух впадин: Хардигатинской и Намтульской, которые расположаются соответственно в южном и северном обрамлении Казарта-Немецкого вулканария, Хардигатинская сопка смыта в ряд склонов, параллельных общему простиранию впадин. Так, в Междуречье Атха – Большой Хардигатинской и три синклинальные складки (см. рис. 2). Крайняя с юга наиболее крупная синклиналь имеет размах крыльев 11 км. Складка асимметрична: падение северо-западного крыла 55–85°, юго-восточное крыло положение – около 35°. Остальные складки симметричные с размахом крыльев 2–3 км, падение которых колеблется от 15 до 55°, достигая в участках местных усложнений 70–80°. Шарниры складок согласно ущемлиают, благодаря чему в поднятиях в ядрах антиклиналей обнаружается фундамент.

Позднемицкий комплекс представлен формацией кальевых липаритов, которая слагает два вулканария: Гарека-Сантинский и Халинский. Они состоят из цепочек структур второго порядка – вулканогенных Траббенов (простираний). Последние выполнены сериями эксплуатационных, преимущественно линейных тел, сопровождающимися небольшими сабодислокациями тощими лав, пирокластических и вулканогенно-обводненных пород. По положению подводящих каналов среди этих структур выделяются: симметричные (подводящие каналы симметричны к одному из краевых разломов, например, пентральная часть Кумертинской структуры); полуточечные или кольцевые – подводящие каналы окаймляют опущенный центральный блок (восточная часть Атласской структуры).

Структурно-формационные комплексы полихной платформы

С раннего мела район вступил в стадию формирования впадин залежью байкальского типа.

Распемеловский комплекс, сложенный терригенной молассой, выполняет две системы межгорных впадин: Халюкскую, (Хардигатинская и Намтульская впадины) и Гарекинскую (Гарекинская и Целикесская впадины), поле они выделяются локальными мини-впадинами, матинные поле над ними склонное отрицательное или слабо положительное. На территории Лексинской расположается восточная часть Хардигатинской впадине протяженностью 36 км. Ширина ее уменьшается с запада на восток от 11 до 2 км. Два продольных прибрежных вала – Хардигатинский (северный) и Малый (южный – делит впадину на три мульды (см. рис. 2). Ширина первой валов 0,4–2 км, краевых мульд – 0,6–2 км, амплитуда 200–400 м, падение крыльев 20–30°. Ширина Центральной мульды 3–5 км, амплитуда 300 м, падение крыльев 7–20°. Шарниры валов и мульд по простиранию согласно ущемлиают, образуя ряд параллельных поднятий и опусканий шириной 4–10 км. В пределах валов параллельные поднятия фиксируются выступами фундамента, в отсеканиях мощность отложений достигает 800 м, падение крыльев на участках параллельных опусканий согласно ущемлиают, образуя ряд параллельных поднятий и опусканий шириной 4–10 км. В пределах валов параллельные поднятия фиксируются выступами фундамента, в отсеканиях мощность отложений достигает 800 м. В северной краевой мульде на участках параллельных опусканий мощность отложений достигает 600 м, на поднятиях уменьшается от 100–200 м, в южной мульде – соответственно 350 и 50 м. Резкие колебания мощностей нижнемеловых отложений, сопровождающие их фациальную изменчивость, свидетельствуют о консенсентационных блоковых перемещениях фундамента впадин.

Четвертанный комплекс представлен первично наклонным и горизонтально залегающими осадками четвертичного возраста. Основные кайнозойские структуры выражены в рефлехе и почти полностью упразднены позднемезозойский план. Кроме того, выделяется впадина Левобережная, приуроченная к южному борту Хардигатинской депрессии. Протяженность ее 16 км, ширина 1–5 км. Она состоит из двух продольных мульд, разделенных выступами фундамента. Максимальная мощность отложений во впадине 97,4 м.

Разрывные нарушения

Широко развитые в районе разрывные нарушения закладывались в разное время и контролировали разновозрастный магматизм и осадконакопление (см. рис. 3).¹⁾

¹⁾ На схеме тектонического районирования в отличие от структурно-формационной схемы (см. рис. 1) зоны разломов показаны обособленно с учетом как геологических, так и географических данных.

К разломам позднепротерозойского заложения относятся Северо-Яблоновая зона, прослеженная в северо-восточном направлении от р. Песчанка до верховьев Ортынки. Она состоит из серии субпараллельных ветвей. На протяжении всей плательно-протерозойской истории эта система разломов отделяла Яблоновую структурно-формационную зону, характеризующуюся усиленными геократическими тенденциями и амагматичностью, от зон относительного проявления и интенсивного магматизма. С деятельностью Северо-Яблоновой зоны разломов связано заложение в позднем протерозое и раннем карбоне предгорных прогибов. Затем по ней внедряется Песчанский массив позднепалеозойских гранитов. Дальнейшая ее жизнь тесно связана с деятельностью Харыгатинского разлома (см. ниже). Зона фиксируется четкими ступенями в магнитном и гравитационном полях.

Разломы палеозойского заложения (Хилокская и Харыгатинская зоны) ограничивают Гарекинскую структурно-формационную зону. Они фиксируются четкими гравитационными ступенями, а на отдельных отрезках и ступенями в магнитном поле.

Харыгатинская зона, представленная в основном серией наливов, протягивается в северо-восточном направлении от р. Вол. Харыгаты до верховьев Ортынки. Она контролирует северный контакт Песчанского массива, ограничивает с юга триасовую Альгинскую и Олонскую впадины, причем в обеих отмечается "приголосование" отвертанных бортов к разломам, фиксирует северный сорт Гарекинской раннемеловой впадины и, наконец, к ней приурочена долина р. Вол. Харыгаты. Это свидетельствует о длительной активности Харыгатинской зоны. Все доломые породы в ее пределах в полосе шириной 7–10 км катаклизированы и рассланцованны (до миллиардов). Ориентировка плоскостей складчатости незакономерно варьирует от северо-восточной до северо-западной. Углы падения 15–40°. Сколы волочения сидят вдогонку о наливовых смыслах масс в одном направлении. Рассланцевание пород сопровождалось постепенно затуханием во времени термального метаморфизма: от низких ступеней фации эпигенетических амфиболитов (застепинская свита) до начальных ступеней зеленосланцевой фации (таврическая свита). В гранитоидах обнаруживаются сильные, но они обусловлены слабо проявленными окварцеванием и кальцитизацией.

Хилокская зона прослеживается через всю территорию вдоль долины Хилка. Она совпадает с границами палеозойской зоны, прилегающей к зоне приуроченного северного контакта раннепалеозойского Альгинского массива, экструзии позднепалеозойских липаритов, борта раннемеловых Харыгатинской и Могойтской античерт, множество даек различного возраста и, наконец, долина Хилка и четвертичная впадина Левобережная.

В триасе замыкаются системы нарушений северо-восточного и субмеридионального направлений. Зоны первого направления (Нижне-Барканская, Черновская и Саратка-Хильинская) ограничивают Кудыкскую вулкано-плутоническую зону триасового возраста и отдельные ее ветви. Все разломы кругопадающие. Они контролируют размещение триасовых экструзий и интрузий и сопровождаются зонами рассланцевания и проявления мощности от первых десятков до 200 м. Иогта и Ним предупреждено сдвиговое окварцевание и омартирование. Болшинство разломов подвижено, причем к Саратка-Хильинской зоне приурочены более молодые структуры: раннепалеозойские (экструзии липаритов и линий контакта Тайдукского массива) и позднегорские (субширотная ветвь Хильинского вулканического массива). Зоны выражены более или менее четкими ступенями в гравитационных полях.

Зоны разломов субмеридионального простирания (Дайчурская, Нижне-Ленгутанская и Зун-Неметейская) выделяются как единые системы в нарушении по ступеням в гравитационном и магнитном полях. По геологическим данным, они фиксируются лишь на отдельных участках, контролируя поперечные окончания мезозойских структур различных порядков. Например, с Зун-Неметейским разломом связано восточный контакт триасовой экструзии липаритов г. Бадата, восточное окончание Казарга-Неметейского вулканического ядра, резкое уменьшение ширине Хильинского вулканического района, западное окончание Чаган-Хильинской меловой Молдонской впадины. К нему приурочены долины рек Затерято и Зун-Неметей.

Разломы раннепалеозойского заложения (Косустро-Укуринский и Косустро-Улентуский) ограничивают Казарга-Неметейский вулканический. Это крупные сбросы, участками переходящие в крутие (55°) поднятия. Заключенный между ними блок опущен не менее чем на 700 м (мощность чаган-хильинской свиты). Дорстки образованы в зонах разломов (100–200 м) рассланцованны, участками каолинизированы и окварцированы. Раннепалеозойские липариты и граниты заливают их. Обе зоны фиксируются четкими ступенями в магнитном поле.

Разломы позднепалеозойского заложения (Альгинская и Хужергинская зоны) ограничивают Гарекинский вулканический. Они представляют собой крутопадающие сбросы. Определяющие трещины крутие и пологие – до 30° . В зонах разломов (ширина до 100 м) доломитные породы рассланцованны и раздроблены. Бадинские вулканиты заливают их. В гравитационных полях фиксируются лишь отдельные участки описываемых зон. К зонам раннепалеозойского заложения более или менее достоверно относена Северо-Харыгатинская зона, ограниченная с севера Харыгатинской впадиной. Судя по резкой смене магнитных полей, гравитационных характеристик пород, а также большим мощностям меловых отложений

близи борта впадины, она имеет крутое падение. Смещение по зоне 200–600 м. В отдельных случаях борта раннегенеральных впадин приурочены к разломам более древнего заложения, лишь подложенным в раннем мезоэне.

Т Е О М О Р Ф О Л О Г И Я

Тектоническая основа современного рельефа района была создана в позднем мезоэозое, когда обособились основные хребты и депрессионные зоны. В позднем мезоэне, палеогене и неогене, по мнению большинства исследователей, интенсивность тектонических движений ослабла, и в пределах Забайкалья была образована поверхность выравнивания. На описываемой территории реликты ее, по-видимому, являются уплощенные поверхности водоразделов, переработанные в четвертичное время процессами аллювиализации. С начала четвертичного периода возобновляется более полное развитие региона, сопровождающее дифференцированными движениями. В результате формируется морфоструктурная основа современного рельефа, в общем наследующая позднемезоэозойский план. Образовавшиеся горст-антагонистические хребты Цаган-Ургэй, Яблоновы, Атха и различные их депрессионные зоны: Чилокская и Гарекинская. Направление и интенсивность тектонических движений обусловили развитие в пределах этих морфоструктурных единиц различных экзогенных процессов: денудационных (эрозия, плоскостной снос, морозное выветривание) и аккумулятивных, что привело к формированию различных типов рельефа: денудационного, денудационно-аккумулятивного и аккумулятивного.

Денудационный рельеф развит в пределах горных хребтов. Водораздельные пространства их широкие уклонение, состоят из куполово-разных вершин высотой 1400–1581 м, разделенных слабо выраженными седловинами (около 1300 м). Водоразделы, по-видимому, являются результатом древней поверхности выравнивания, несколько сниженной процессом аллювиализации. Развитие здесь формы рельефа (вершины горного типа и очень пологие склоны, усложненные лаворными террасами и покрытие крупногабаритным материалом) созданы процессами морозного выветривания, солификции и в меньшей мере ледниками.

Склоны горных массивов расчленены речной сетью на серию водоразделов второго порядка. Относительные превышения их 200–400 м. Они расчленены на многочисленные трофики высоких порогов, в особенности у основания горных массивов. Здесь преобладают склонные крутизной 15–30°, образованные процессами ледниковально-ледниково-грунтового сноса. У подножий хребтов, в прибрежных частях долин, появляются очень пологие (5°) склоны ледниковально-ледниково-наклон-

ния. На левобережье Хилка и Кучна эти склоны перекрыты песками золотого генезиса мощностью до 25 м. Денудационно-аккумулятивный рельеф распространен в пределах Гарекинской депрессионной зоны, охватывающей бассейн Гареки, Ни-Хилка. Он развит на плоскогорьях позднероссийских вулканогенетических структур и равнинных впадин: Гарекинской и Желтесской. Это рельеф останкового типа с широкими уплощенными водораздельными поверхностями (абсолютные отметки 1000–1160 м), переходящим в пологие (5–10°) склоны дельвилико-дельвиимального накопления. Относительное превышение водоразделов 100–150 м. В пределах этого типа рельефа речные долины дельвообразные с широкими сильно заболоченными поймами, среди которых нередки арозионные останцы.

Аккумулятивный рельеф распространен в Харалгунской и Могзонской равнинами впадинами Хилокской депрессионной зоны. Он представляет собой озерно-аллювиальную равнину, которая объединяет пойму, аккумулятивную надпойменную террасу Хилка и конусы выноса ее притоков. Пойма широкая (1–3 км) заblockquoteнная с меандрирующим руслом, прорезанным велами и многочисленными старичными озерами. Первая надпойменная терраса прослеживается по обеим берегам долины Хилка и имеет ширину 0,5–4 км. Вокруг ее уступа 3–5 м. Указанная терраса, часто сливаясь с дельвально-протяжными шлейфами, кроме того, прослеживается в долинах Гареки, Мал.Харалгаты, Ортинки, Хилка.

П О Л Е З Н Ы Е И С К О П А Е М Ь Е

Изученная территория находится в пределах зольфрамово-золотомolibденового рудного пояса [10]. В последние годы установлено перспективность этой зоны на бериллий и другие редкие металлы. Малые депрессии региона содержат месторождения бурых углей. Многие горы могут быть использованы в качестве строительных материалов.

Т Е Й Р Д Н Е Г О Р Ъ Й С К И Е И С К О П А Е М Ь Е

Бурые уголь

Проявление бурого угля (Ш-1-3) обнаружено в Харалгунской пла-диге [26] на площади 25 км², где на глубинах от 26,5 до 470 м пе-сечены три маломощных (от 1–2 до 70 см) прослоя угля, приуроченных к верхним горизонтам нижней толщи доронинской свиты. Угли черные с жирным блеском. Волнистые незначительной мощности прослои и большие глубины их залегания проявление не имеет промышленного значения,

а сравнительно хорошая описываемость видами [26] исключает возможность обнаружения промышленного месторождения.

МЕТАЛЛИЧЕСКИЕ ИСКОПАЕМЫЕ

ЦЕСТИЧНЫЕ МЕТАЛЛЫ

Медь

В верховьях Ортынги выявлено проявление меди и два сопровождающих его комплексных металлометрических ореола рассеяния меди и цинка. Рудопроявление (III-4-2) приурочено к рассланцованным метаморфозованным в фации зеленых сланцев андезито-базальтам тамырской свиты. В районе проявления на площади около 0,04 км² породы пронизаны серией редких мелких (0,1-1,0-5-20 м) жил серого кристаллического кварца, несущего по трещинам налеты вторичных мелких минералов. Содержание меди в штуках кварца до 0,1%, андезито-базальтов - до 0,5%. В ореолах (IV-4-1 - 4 км²; IV-4-2 - 4,5 км²) содержание меди 0,004-0,009%, цинка - 0,01-0,03%. Оценочные работы не проводились. Природность проявления к мощной толще зеленокаменно-измененных пород указывает на возможность наличия коллекторного месторождения.

В бассейнах Большой, Малой Саранки и Убутты в шлихах встречаены единичные знаки халькопирита. Источник их - аксессорный халькопирит раннеиерских трахитов и асексит-диабазов.

Свинец

Известен один металлометрический ореол смысла площадью 1 км², расположенный в правом борту долины Цагана-Горхона (I-2-1). Содержание свинца в нем 0,004-0,02%, спутники: серебро (0,00001-0,0001%), лантан (0,005%). Ореол приурочен к зоне пробояния, окварцевания и пиритизации, осложненной контакт триасовых субвуликанических лигнитов с гранитами II и III фаз бичурского комплекса. Оценочные работы не проводились. Геологическая ситуация позволяет предполагать здесь наличие небольшого полиметаллического проявления жильного типа.

Пространственно разобщенные шлихи с единичными знаками галенита (долины Хилка, Большой и Малой Саранки) не представляют поискового интереса, так как этот минерал присутствует в аксессорных коллекторах в большинстве пород района.

Цинк

На склонах известно пять металлометрических и четыре гидрометаллических ореола цинка. Металлометрические ореолы группируются на

востораделе рек Барку и Бурун-Хургей. Два из них (I-1-1, 2) площадью 7,5 и 6,5 км² расположены в поле развития позднепалеозойских гранитов и содержат 0,01-0,05%, редко 0,06-0,08% цинка, в части пробах - 0,002-0,01% золота и в трех пробах - 0,001% бериллия. В трех других ореолах (II-1-1, 2, 3) площадью 3,2-4 км², расположившихся в поле развития гранитов позднего триаса, содержание цинка 0,01-0,03%. Все эти ореолы в связи с отсутствием благородной геологической обстановки не представляют поискового интереса.

Гидрохимические ореолы рассеянных цинка выявлены в двух участках. В ореоле площадью 1,2 км², расположенным в верховьях Челексса (III-1-2) содержание цинка в суточном отстатке 0,03-0,15%. В трех других ореолах площадью 1,7; 2,4 и 5 км², группирующихся в бассейне Агах (III-2-4, 5, 6) в поле развития эуплитиков бадинской смыши и гранитов южного палеозоя, содержание цинка в суточном отстатке 0,03-2%. Эти ореолы ассоциируют с гидрохимическим ореолом серебра. Источники всех ореолов глубинные.

Олово

В районе известен один гидрохимический ореол площадью 1,5 км² с содержанием олова 0,003 г/л. Он расположен в пристебельной части Прязного Кыча (III-1-1) в поле вулканитов ранней юры. Источник его, вероятно, глубинный.

В разрозненных шлиховых пробах в единичных знаках и знаках присутствует красновато-бурые и коричневые зерна кассiterита размером от 0,05 до 0,3, редко 1 мм. Источник его - аксессорный касситерит, содержащийся во всех породах района.

Редкие металлы и радиоактивные элементы

Молибден

Молибден установлен в Загаринском рудопроявлении, расположенным в левом борту долины р. Загарино (III-4-1). Оно приурочено к небольшому (0,3 км²) штоку грейзенизированных лейкократовых гранитов III фазы бичурского комплекса, прорвавших граниты позднего палеозоя. Выделяются две фации грейзенов: кварцевая (центральная) и кварцит-мусковитовая (краевая). Первая представляет собой широкодобное (5-10 м) обособление серого кварца с пустотами, выполненными гидроксидами железа, и характеризуется повышенными содержаниями молибдена (до 0,02-0,07%), свинца (0,002-0,07%), цинка (0,003-0,08%),

мели (0,005-0,05%). Вторая характеризуется повышенным в 2-5 раз со-

держанием всех этих элементов. В протоличих пробах грейзенизированых пород наблюдаются единичные знаки молибдена, кассiterита, вольфрамита, шеелита. В связи с малой площадью грейзенизированных пород и усогими содержаниями в них полезных компонентов рудопроявление признано бесперспективным.

Кроме того, повышенные содержания молибдена (0,02%) отмечены в Калзанском проявлении висмута (см.раздел "Висмут").

Вольфрам

В районе, особенно в его южной половине, известно множество шлиховых проб с шеелитом и вольфрамитом в единичных знаках. Поискового интереса они не представляют, так как шеелит и вольфрамит в составе аксессорий встречаются почти во всех породах района.

Тантал и ниобий

Клинические знаки тантало-ниобитов, встречающиеся в шлихах вправом борту долины Мал.Харыгата в долине Энг-Неметек, поискового интереса не представляют, так как природа их аксессорная.

Висмут

Высокут установлен в Калзанском проявлении (П-2-1) в сопровождении его металлометрическим ореолом. Оно расположено в верховых бол.Уленты и локализуется в зоне грейзенизации в гранитоидах позднего палеозоя. Ширина зоны - десятки метров, длина 800-900 м, простирание меридиональное. К ней приурочены квари-гематитовые и кварцевые (иногда с флюоритом) жилы мощностью до 1 м. Содержание висмута в штурах до 1%, серебра - до 60 г/т, молибдена - до 0,02%.

Проявление сопровождается комплексным металлометрическим ореолом рассеяния тех же элементов площадью 2 км² (П-2-2). В пределах ореола содержание висмута 0,0003-0,0005%, серебра - 0,00005-0,0001%, молибдена - 0,0003-0,002%. Площадь проявления перспективна для обнаружения редкометального месторождения грейзенового типа.

Клинические знаки высокута отмечаются в шлихах в междуручье Ткачево-Кипча - Мал.Саранки. Источником их является аксессорный висмут в палеозойских гранитоидах.

Благородные металлы

Золото

На изученной территории известны два мелких россыпных месторождения золота.

Неизвестное месторождение "Падь Задостак", расположение в 6 км к северо-западу от ст.Могасы (П-4-3), известно с 1895 г. До 1920 г. здесь велась старательская добьча металла, прекращенная (со слов местных жителей) виду неравномерного распределения золота в экономической невыгодности его добчи (селения о побче отсутствует). Оценочными работами [14] установлено, что россыпь приморечна к приподнятой части аллювия. Ширина ее от 35-40 до 180-200 м, мощность песков от 1 до 4,5 м., протяженность 2,4 км. Содержание золота на пласт до 23,67 мг/т. Золото преимущественно пластичной и комковатой формы, окатанное и полукатаное. Рассыпь промышленного значения не имеет.

Неприменимое месторождение "Бильчир" расположено в правом борту долины Бильчир (ГУ-4-3) в пределах узкой (0,3 км) террасы. Длина россыпи около 1,4 км. По словам жителей с.Абдатукаев, здесь мощность песков от 1 до 4,5 м., протяженность 2,4 км. Содержание золота на пласт до 23,67 мг/т. Золото преимущественно пластичной и комковатой формы, окатанное и полукатаное. Рассыпь промышленного значения не имеет.

Режкое разобщение точек с единичными знаками золота в шлихах отмечается в долинах Хилька, Тайдутка, Барун-Неметек, Хилья, Загатай-Бо, Убутуты, Харыгата, Атын, Кепкаса. Форма зерен пластичная, слабо окатанная, размер от 0,05 до 0,3 мм.

Серебро

В районе известно одно рудопроявление серебра в комплексе с высокутом (Калзанское) в сопровождении его металлометрическим ореолом верховых бол.Уленты (П-1-1,2). Содержание серебра в штурах грейзенизированных пород до 60 г/т, в металлометрическом ореоле - 0,0006-0,0001 (см. раздел "Висмут").

Известны два гидрохимических ореола рассеяния серебра. В одном из них площадью 1 км², расположенным в верховье Кипчеса (П-2-3) в поле гранитоидов позднего палеозоя, содержание серебра в сухом остатке 0,0003-0,0002%. Источник его глубинный. Второй ореол рассеяния, расположенный в верховье Мал.Харыгата (П-2-2) в поле позднегорской пульпитов и гранитоидов позднего палеозоя, имеет вытянутую форму в плане. Площадь его 5 км², содержание серебра в сухом остатке 0,0008-0,002%. Этот ореол ассоциирует с гидрохимическими склонами пинка.

Благоприятная геологическая обстановка позволяет предполагать, что ореолы обслюдения глубинной изокомпенсированной гидротермальной межпереизменяющей, связанной с позднепрерскими субвуликанами.

НЕФТЕШИСТИЧЕСКИЕ ИСКОПАЕМЫЕ

ХИМИЧЕСКОЕ СЫРЬЕ

Флюорит

Проявление Улентуйское расположено на водоразделе Бол. и Мал. Улентуя (II-2-3) в поле развития гранитов I фазы позднего палеозоя. Флюоритовая минерализация приурочена к зонам проблем субширотного простирания. Канавой вскрыты две крутопадающие кварц-флюоритовые жилы мощностью 1,6 и 1 м, протяженностью сажне 150 м. Флюорит содержит и залегает в кристаллических обломках кварца, полевомаштавых липаритов. Содержание CaF₂ в жилах 26 и 32% (по бордовым пробам). Оценка проявления флюорита продолжается.

СТРОИТЕЛЬНЫЕ И ОГНЕУДОЛЖНЫЕ МАТЕРИАЛЫ

На изученной территории известно несколько местородений галечника и гравия, вулканических туфов, глин и строительного песка. Они сконцентрированы вдоль железной дороги. Кроме того, развиты интузивные и залегающие породы, которые могут быть использованы в качестве облицовочных материалов.

ИЗВЕРЖЕНИЯ ПОРОДЫ

Кислые и средние интузивные породы, декоративные свойства и полиморфность которых позволяют использовать их в качестве облицовочных материалов, широко развиты на исследуемой территории. В первую очередь это малковернистые сиенитово-серые шелочные граниты ажинского комплекса (ажинский массив) и розовые с черным кварцем ажинской II фазы биотитового комплекса (р.Бурун-Хуртей). Породы плотные и нетрещиноватые. Большие площади их развиты, слабая изветрелость, небольшая мощность вскрыши и слизистость к железной дороге позволяют рекомендовать указанные породы в качестве поисковых объектов на облицовочные материалы.

Кислые и средние эфузивы – лавобрекции раннепрерских липаритов южной окраины (р.Бол. Саранка) и красновато-коричневые масивные трахиты цаган-хунгайской свиты (реки Мал. Саранка, Хуртей) – могут быть использованы в качестве облицовочных материалов. Породы плот-

ные, хорошо шлифуются. Площади их развития – первое квадратные километры, расположены вблизи железной дороги. На этих участках также рекомендуются полевые работы.

Вулканические туфы

Месторождение "Зиг-Городок" (II-4-1) расположено в верховьях северо-западной речки в 21 км северо-западнее ст.Могойт и представлено туфами трахилититов подавленского возраста. Площадь выхода их на дневную поверхность 6 км², мощность пластов 49,1 м. Цвет туфа светло-розовый и светло-салатный с декоративным рисунком. Пористость туфа неизвестна. Путевые щебено-минеральные свойства их не изучены. Туфы могут быть использованы в качестве облицовочного материала. Такие же характеристики имеют и среднетектонские туфы (II-4-2).

Месторождение "Краснодино" расположено в левом борту долины Зиг-Городока в северо-западную от ст.Могойт (II-4-2). Оно представлено псевдотекстурными туфами трахилититов позднепрерского возраста. Объемная масса туфа 1,51-1,69 т/м³, пористость сажне 10-15%, прочностные свойства туфа отвечают требованиям промышленности, превышением в честь – изолитов бетона. Туфы разбиты их 2 км², мощность сажне 10 м, распространение заходит 20 км².

ГЛЕНН ЖИРИЧАМЕ

Мотзонское месторождение глин, расположено в 2 км к западу от ст.Могойт (II-4-7), приурочено к современным отложениям р.Хуртей. Запасы по категории С1 145 тыс.м³. Месторождение эксплуатируется Министерством путей сообщения до 1952 г. Из-за низкого качества глин они законсервированы.

Кроме того, в поименных отложениях р.Хуртей залегают сел.Улутек и Улутук имеются пласти глин низкого качества, которые используются местным населением.

СЛОМОЧНЫЕ ПОРОДЫ

Галечник и гравий

В районе работ известно 7 месторождений гравия. Наиболее крупные из них месторождение "878-й км" и Дайтурское, расположенные

близи железнодорожной линии в 8 км к юго-западу от ст. Тайдут (П-3-1) и в 2,5 км к востоку от пос. Дамбур (П-1-1), приурочен к южной оконечности современного аллювия Хилка. Качество сырья этих месторождений отвечает промышленным требованиям к балластному гравию II сорта. Запасы месторождения "878-й км" по категориям А+В+С₁ 1152,8 тыс. м³, запасы не утверждены, месторождение законыировано, эксплуатировалось Министерством путей сообщения с 1935 по 1938 г. и в 1945 г.

На Дайтурском месторождении на 1/1 1956 г. числились запасы по категории А+В в 292 тыс. м³. В настоящее время оно законыировано.

Две других месторождения, находящиеся вблизи железнодорожной линии в 2,5 км к западу от пос. Тайдут (П-2-1) и в 3 км к северу от ст. Могозы (П-4-5) приурочены к зонам ранней и поздней природы. По оперативным подсчетам, запасы первого из них 300-500 тыс. м³, второго - 500 тыс. м³. Первое эксплуатировалось Министерством путей сообщения в 1920-1940 гг. Второе эксплуатируется в настоящее время местными организациями.

Три месторождения, расположенные в долине Хилка (П-4-8, 9, 10), представляют средне-позднегеотвертанные (П-4-8) и современные (П-4-9, 10) аллювием Хилка. Оперативные запасы каждого 500-700 тыс. м³. Для них (П-4, 8, 9), расположенные вблизи грунтовой дороги Могозы-Лягута, используются при ее строительстве, одно (П-4-10) разрабатывается.

Песок строительный

Месторождения строительного песка расположены в 5 км к северу (П-4-4) и в 2,5 км к северо-западу (П-4, 6) от ст. Могозы. Пески разносыты с примесью гравийно-щебенчатого в первом месторождении и гравийно-галечного материала во втором. Оперативные запасы песка в каждом 100-200 тыс. м³. Месторождения используются местными организациями.

Кроме описанных месторождений, в районе известно несколько участков плоского распространения золочин и лентивально-противополальных песков (левый берег долины Хилка и Кудута). Мощности их 5-25 м. Пески светло-серые с желтоватым оттенком мелко-среднезернистые хорошо сортированные. Они могут быть использованы в качестве строительного материала (наполнители и т.п.).

ПОДЗЕМНЫЕ ВОДЫ

По условиям залегания подземные воды подразделяются на надмерзлотные, межмерзлотные и подмерзлотные, что обусловлено развитием в пределах района островной многолетней мерзлоты, вляющей на их рельеф и питание.

Надмерзлотные и межмерзлотные воды приурочены к четвертичным отложениям и частично к верхней третичной зоне коренных пород (при незначительной мощности первых). Подземные воды приурочены преимущественно к коренным породам и незначительно - к верхнечетвертичным отложениям.

По характеру вододрainingости пород в регионе выделяются следующие водосборные комплексы: горное-плакстовые воды четвертичных отложений; трещинно-плакстовые воды неподвижных отложений, трещинно-пластового-трещинных вод тундрово-яркотипов, залегающие склонами в азимутальных образованиях; трещинные воды разновозрастных тундр, сильно волнующие текtonических нарушений.

Болоночный комплекс горного-плакстовых вод четвертичного отложения

Этот комплекс представляет горные-плакстовые воды залегающие в них отложения. Болоночный горизонт в них встречается на глубинах 2-3 м от поверхности нескольких километров. Он имеет запасы отложений, состоящих из аллювиальных осадков, незначительной мощности, залегающих в четвертичном. Вода попадает в него через затяжной затохом и эрозию.

Несколько иначе складываются в районе обиль залегают пластово-горизонтальные и межмерзлотные воды аллювиальными отложениями. Воды горные, пресные чистые, пригодны для питья и технических целей. Воды четвертичных отложений слабо минерализованы (0,1 г/л).

По характеру минерализации они принадлежат к гидрокарбонатно-хлоридно-натриево-хлоридным и гидрокарбонатно-хлоридно-кальциево-натриевым, реже встречаются хлоридно-карбонатные.

Болоночный комплекс трещинно-плакстовых вод нижнечелюстных отложений

Этот комплекс занимает около 450 км² и образует Харатунский, Гаретинский и Могозынский артезианские бассейны. Болоночные породы представлены континентальными, гравелитами, песчаниками, алевролитами и аргиллитами. Воды носят в основном напорный характер, раскрываются скважинами на глубине 35-80 м. Их дебят от 0,02-0,7 до 4,7 л/с. По химическому составу они гидрокарбонатные кальциево-магниевые с общим минерализацией от 0,1 до 0,2 г/л [24, 27].

**Водоносный комплекс трещинных и пластово-трещинных вод
триасово-юрских осадочных, вулканогенно-осадочных и
вулканических образований**

Образования этого комплекса занимают около половины исследуемой площади. Водоемещающими породами являются липариты, их туфы и лавы, туфоконгломераты, туфогравелиты, туфопесчаники и туфобирюлиты, континентальные, пестранные и алевролиты, трахииты, базальты и их туфы, а также мелкие интрузивные тела. Эффективную трещиноватость создают трещины различного происхождения: тектонические, отдельности, пневматиты, напластования, кимбаки.

Общая минерализация вод комплекса от 0,09 до 0,11 г/л, воды очень мягкие с общей жесткостью 1,0-1,8 мг-экв/л слабожесткие с рН=6,5-6,6. По минеральному составу воды гидрокарбонатные кальциевые магниево-кальциевые и натриево-магниево-кальциевые. Усредненный химический состав по формуле Курлова

НСО-84 С12

CO_2 0,004 $\text{M}_0,1$ — Са53 №50 №17 рН = 6,5 .

По физическим свойствам воды пресные иультрапресные прозрачные бесцветные или светло-желтоватые, без запаха и привкуса, весьма холода, при стоянии осадка не образуют.

Питание комплекса происходит за счет инфильтрации атмосферных осадков и конденсации паров. Дренажируются воды родниками в областях заминания долин и долинах их склонов, а также в тершиноватые зоны тектонических нарушений.

Водоносный комплекс трещинных вод разновозрастных интрузий

Водоемещающими породами комплекса являются разнообразные граниты. Породы комплекса распространены повсеместно и составляют 1/2 исследуемой площади. Среди интрузивных образований комплекса находятся магнитные тела нижнерусских и триасовых эфузивов.

Гидрогеологически эффективность трещиноватости создает трещины выветривания, клинажа, тектонические, трещины отдельности. Глубина трещиноватости достигает 70 м. Воды очень мягкие со средней общей жесткостью 0,1 г-экв/л. Общая минерализация от 0,1 до 0,16 г/л. По химическому составу они гидрокарбонатные кальциевые и натриево-магниево-кальциевые. Реакция воды слабокислая от 6,1 до 6,8 мг-экв/л. Усредненный химический состав

НСО-91 С17

CO_2 0,004 $\text{M}_0,13$ — Са51 №11 рН = 6,7.

Воды пресные бесцветные без запаха и привкуса, осадка при стоянке не образуют. Области питания комплекса местные, основными источниками питания служат атмосферные осадки. Инфильтрация происходит по всей площади района интрузивов на поверхность. Разгрузка осуществляется родниками на днищах, в областях заминания долин и долинах пологие их склонов, где эрозионный врез вскрывает уровень подземных вод. Кроме того, частичная разгрузка осуществляется в смежные водоносные комплексы и в трещиноватые зоны тектонических нарушений.

Жилые воды зон тектонических нарушений

В районе наиболее распространены воды тектонических нарушений в изверженных горных породах. Последние, включая аффизы, занимают более 80% площади. Эти воды имеют многочисленные источники, приуроченные обычно к подложкам склонов, падам и распадкам, а также встречаются на склонах. Дебет источников очень мал, режим чаще не постоянный, летом они пересыхают, зимой перемерзают. Воды их чистые холодные без вкуса и запаха.

О Ц Е Н К А П Е Р С П Е К Т И В РАЙОНА

При рассмотрении металлогении описанного и сопредельных районов выявляется четкая специализация различных формаций на определенные виды полезных ископаемых.

Практически безрудны раннепротерозойские и палеозойские образования.

Триасовая вулкано-плутоническая ассоциация перспективна на медь и редкие металлы (молибден, висмут). В расслабленных залежах каменно-измененных и оквартированных среднеосновных эфузивах тампропроявление. Район проявлено рекомендуется для постановки поисково-съекточных работ М-ба 1:50 000 в комплексе с геохимическими и геофизическими исследованиями того же масштаба (площадь 480 км²).

В трещинах, связанных с триасовой синекли-трансекли-транзитной формацией, из исследованных плонок на усташовлены проявления молибдена (Загаринское), висмута, молибдена и серебра (Халзансое), а на соседней с севера территории — перспективные проявления молибдена. Наиболее благоприятен для поисков месторождений этого типа район Халзанского рудопроявления, приуроченного к пронесу кровли района Халзанского массива биотурбированного комплекса. Здесь же располагается Водораздельный массив биотурбированного комплекса. Здесь же располагается Улентуйское проявление флюорита. В этом районе (640 км²) рекомендуется проявление поисково-съемочных работ М-ба 1:50 000 в комплексе с электро- и магниторазведкой (рис.4).

Со средненурской молассой в исследуемом и сопредельных районах проявлений полезных ископаемых не обнаружено.

С позднегеозойской формацией калиевых鹽水层 в Забайкалье связана эпимеральная минерализация. На территории листа сложенные ею **вулканотектонические структуры** (Гарека-Сынгинский и Хеминский вулканарии) залегают слабо. В пределах этих структур и в их обрамлении наблюдается гидротермальное ореолы цинка и серебра, а также Уленгутское проявление флюорита, что указывает на вероятность находления эпимерального оруденения на глубине. Район флюоритового проявления рекомендован под поисково-съемочные работы №-ба

1:50 000.

Угольные месторождения в Западном Забайкалье локализуются в угтинской свите нижнего мела. На рассматриваемой площади эта свита имеет незначительную мощность и развита локально. Это, а также хорошая изученность раннемеловых впадин позволяет считать район бесперспективным на уголь.

Хорошая изученность четвертичных отложений различного генезиса (отработан материал из большого количества шурfov, канав и скважин, пройденных в разных частях территории), а также отсутствие в районе даже незначительных коренных проявлений золота позволяют считать территорию листа бесперспективной на россыпи этого металла.

Перспективы территории на строительные материалы изложены в разделе "Полезные ископаемые".

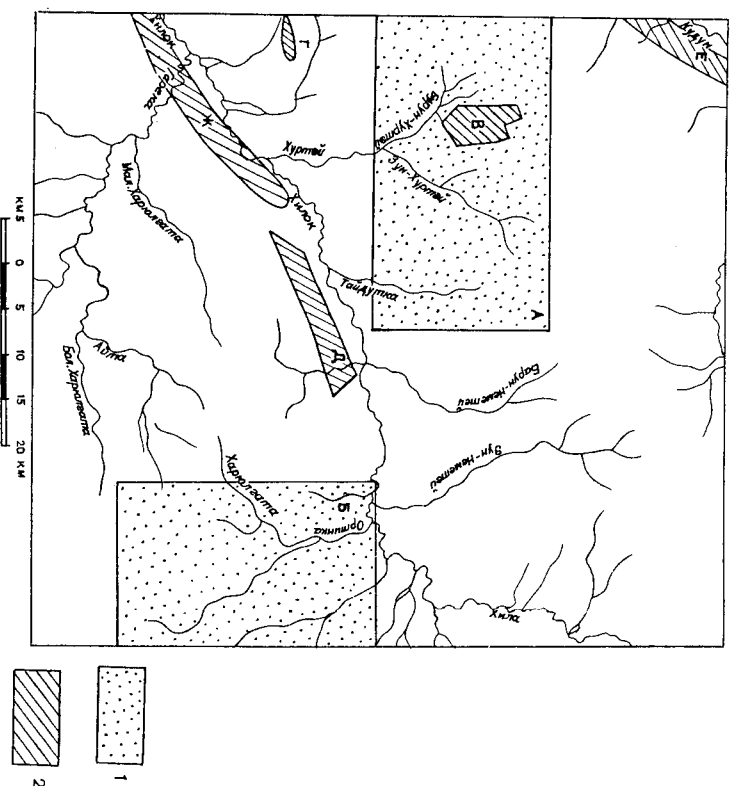


Рис. 4. Оценочно-перспективная карта

Площадь, рекомендуемая для постановки: I - поисково-съемочных и геофизических работ №-ба 1:50 000 (А - на высоте, Монголия и Франция, Б - на Мель и Флориат); 2 - поисково-оценочных работ на строительные материалы (В, Г, Д - на облицовочные камни, Е, Ж - на строительные пески)

Раннеюрские магматические породы обладают редкометальной геохимической специализацией. Наиболее высокие содержания никеля, лантан, бериллия, иттрия, церия отмечены в альбитизированных шелочных гранитах альгинского комплекса. Однако процессы альбитизации проявились в них слабо, даже в аликальных частях массивов с радиогорными хромитами. Промышленных концентраций полезных компонентов в них не установлено. Редкие металлы в этих породах сконцентрированы в не используемых промышленности членитах [26]. Других рудных полезных ископаемых в связи с раннеюрскими формациями не установлено, что позволяет считать площади их развития бесперспективными.

ЛИТЕРАТУРА

О П У Б Л И К О В А Н И Я

1. АМАНОВ В.А. Тектоника и формации Забайкалья и Северной Монголии. Л., "Недра", 1975, 223 с.
2. БАХАЕВ А.Т., ЭДЕЛЬМАН Л.Е. Поздненурская вулканическая серия Хилокской структурно-формационной зоны. Записки Забайкальского филиала географического общества СССР, вып. LXX. Чита, 1972, с.26-28.
3. Карта аномального магнитного поля СССР масштаба 1:200 000, лист №-49. Западный геофизический трест 1961-1967 гг. Геологико-литогенетический геофизический тракт 1961-1967 гг. Геологико-

4. КОЗУЕВА Л.А., РАДЧЕНКО Г.П. Новые данные к уточнению возрастов вулканических телъ джеда-Хилокской серии в Западном Забайкалье. "Тезисы международного стратиграфического совещания в г. Чите в 1961 г." Л., 1961, с. 33-36.
5. КУЗНЕЦОВ В.П. Геологическая карта СССР, масштаба 1:200 000, серия Западно-Забайкальская, лист № 49-XXXI. М., 1965.
6. МАРКЕВ З.М. Геологическая карта СССР масштаба 1:200 000, серия Западно-Забайкальская, лист № 49-XXXII. М., 1974.
7. НЕДЮВ А.Н., СЕНОВА И.С. Северо-западная часть Олекмо-Битимского нагорья. Сборник "Эволюция вещества при ультраметаморфизме". Л., "Наука", 1972, с. 15-21.
8. НОВИКОВ В.А., КИЗЯКОВ А.К. Геологическая карта СССР масштаба 1:200 000, лист № 49-III. М., 1973.
9. ФОМИН И.Н., ДАМБНОВ В.И. Геологическая карта СССР масштаба 1:200 000, серия Западно-Забайкальская, лист № 49-У. М., 1963.
10. ШЕПЛОВ А.Д. Метаморфотные обласстей автономной активизации Л., "Недра", 1968, 180 с.
11. ЭЙДЕЛЬМАН Л.Е. Петрология метаморфических образований Центральной части Казарта-Алентуйского вулканария (Западное Забайкалье). Записки Забайкальского филиала географического общества СССР, вып. ХСУ. Чита, 1973. с. 42-69.

Ф о н д о в а я *

12. АРСЕНЬЕВ А.А., КЛЕВЕНСКИЙ В.М. Геологические исследования в северо-восточной части Сементинской Цепи. 1940, № 5947.
13. АВТОМАНОВ Р.И., МИГЕЕВ Ю.М. и др. Геологический обзор месторождений строительных материалов, расположенных на плоскостях, тягущих к линии Забайкальской А.Д. 1965, № II-321.
14. БАХАЕВ А.Т., ТРУНИКОВ Ю.А. и др. Геологическое строение и полезные ископаемые района пос. Могзон (р. Хилок). Окончательный отчет по результатам геологического картирования (масштаб 1:50 000), проведенного Могзонской партией в 1969-1972 гг. 1973, № 013406.
15. ЕВЛОЖИМОВ А.Л., ЛИСКОВИЧ А.Л. и др. Отчет о работах аэроэлектроразведочной партии № 14 в Центральном Забайкалье в 1969 г. Ленинград, 1970, № 012914.
16. ЗАРУБИН С.М., ТЕЛЕТА А.С. Отчет о результатах работ Чикойской гравиразведочной партии № 277/73 за 1973 г. Иркутск, 1974, № 013615.
17. ИВАНОВ М.В., ЗОРИН Ю.А. и др. Сводный отчет о гравиметровой съемке масштаба 1:1 000 000, выполненной на территории Читинской области в 1959-1963 гг., 1964, № 010866.
18. КОЗУЕВА Л.А. Интрузивный магматизм юго-западной части Хилокско-Олеминской зоны раннепалеозойской складчатости (Западное Забайкалье). Кандидатская диссертация, 1966, № 12231.
19. ЛУЧИКИИ И.В., НАГИБИНА Н.С. Геолого-петрографический очерк части междуречья Хилок - Чикой - Ингода (Западное Забайкалье). Отчет о работах Малханской экспедиции по геологической съемке Мильковского масштаба в районе листа № 49. 1940, № II-98.
20. СКОБИЛО В.М., ДЫМНА Н.А., ХРАМОВСКИЙ С.В. Влияние радиоактивного анализа угленосных и редкокометальных отложений верхнего мезозоя Еур.АССР и математические методы их изучения. Улан-Удэ, 1971, № 13075.
21. СТАРЧЕНКО В.В., КРАСНОВ В.П., МАСТРОНЛ.А. и др. Метаморфическая карта Центрального Забайкалья масштаба 1:200 000. Отчет тематической партии № 57 за 1966-1969 гг. Фонды ЧГУ, 1969, № 12469.
22. СТЕПЕНК М.И., ХИМКА М.Н. Окончательный отчет партии № 3 по теме "Стратиграфия нижнего палеозоя Восточного Забайкалья". (Стратиграфия верхнего претерозоя и нижнего палеозоя Ила и Центральной части Восточного Забайкалья). 1965, № II-200.
23. СУСДИНИКОВ В.В. и др. Отчет по аэромагнитным работам в Центральном Забайкалье за 1956 г. 1957, № 8261.
24. ФЕЛЬДМАН В.И. и др. Геологическое строение бассейнов среднего течения рек Ингода и Хилок. Отчет о геодинамических работах в поисках полезных ископаемых элементов масштаба 1:200 000, проведенных Хилокской ГСП в 1954-1955 гг. 1956, № 7340.
25. ЭЙДЕЛЬМАН Л.Е., БАЛАБАЕВ В.Ф. и др. Геологическое строение и полезные ископаемые хребта Цаган-Хуртэй в междуречье Хилок-Зурун, Калтар-Харранга. (Окончательный отчет Бадинской партии по работам 1966-1968 гг.). 1970, № 12688.
26. ЭЙДЕЛЬМАН Л.Е., БОРОДИНА В.Г. и др. Геологическое строение и полезные ископаемые Центральной части хребта Цаган-Хуртэй. Окончательный отчет Далгурской партии по работам 1969-1972 гг. 1973, № 013414.
27. ЭЙДЕЛЬМАН Л.Е., БОРОДИНА В.Г., САЛНОВ В.В., ФИЛАТОВА Т.С. Геологическое строение и полезные ископаемые хребтов Цаган-Хуртэй и Яблонского в районе ст. Могзон. Окончательный отчет Укурской партии по работам 1973-1974 гг. 1975, № 13855.

* Все работы находятся в фондах Читинского георадиального управления.

Приложение I

Список

Промышленных месторождений полезных ископаемых, показанных на листе М-49-ГУ геологической карты М-база 1:200 000

Приложение 2

Список

непромышленных месторождений полезных ископаемых, показанных на листе М-49-ГУ геологической карты М-база 1:200 000

Индекс клетки на карте	№ на карте	Вид полезного ископаемого и наименование месторождения	Ссылка на ли- тературу (но- мера по списку литературы)	Примеч- ние
СТРОИТЕЛЬНЫЕ И ОГНЕУПОРНЫЕ МАТЕРИАЛЫ				
Извещение о продаже				
П-4	1	Зол-Горюч	14	
П-4	2	Красногорское	14	
Тали и истины породы				
П-4	7	Глини карбоновые	14,24	
Очково-мощные породы				
Галечник и гравий				
П-4	5	Северо-Могойское	14,24	
П-4	8	Рыно-Могойское	14,24	
П-4	9	Ляжинское	14,24	
П-4	10	Жуковское	14,24	
П-2	1	Тайдукское	24	
Б-3	1	878-й км	13,24	
ГУ-1	1	Дайгурское	13,24	
Песок строительный				
П-4	4	Хильское	14	
П-4	6	Хилокское	14	

Индекс клетки на карте	№ на карте	Вид полезного ископаемого и наименование месторождения	Ссылка на ли- тературу (но- мера по списку литературы)	Примеч- ние
МЕДИДИЧЕСКИЕ ИСКОПАЕМЫЕ				
Блатородные металлы				
(российские месторождения)				
П-4	3	Падь Золотая	14,24	
ГУ-4	3	Большер	24	

Приложение 3

Список

**проявлений полезных ископаемых, показанных
на листе М-49-ГУ геологической карты 1:200 000**

Индекс клистки на карте	№ на карте	Вид полезного ископаемого и название (местонахождение) проявления	Ссылка на ли- тературу (но- мера по списку литератур)	Приме- чание литературн
I	2		4	5
III-1	3			
III-1	3			

ТВЕРДЫЕ ГОРНЫЕ ИСКОПАЕМЫЕ

Бурый уголь

III-1	3	Харынгуское	26	В скважин- ках
-------	---	-------------	----	-------------------

МЕТАЛЛИЧЕСКИЕ ИСКОПАЕМЫЕ
ЦВЕТНЫЕ МЕТАЛЛЫ

Медь

III-4	2	Беркове-Орггинское	27	В штуфах из корен- них пород и залежей
-------	---	--------------------	----	-------------------------------------------------

IV-4
I
Берковы Ортинки

27

IV-4	2	То же	27	В штуфах из корен- них пород и залежей Металло- металличес- кий ореол в комплек- се с цин- ком
		Сандал		

I-2
I
Правобережье Чагана-

Горхона

I-2	1	Правобережье Чагана-	27	Металло- металличес- кий ореол
-----	---	----------------------	----	--------------------------------------

Цинк

I-1	1	Водораздел Черного Жайыса и Бырку	27	То же
I-1	2	Берковые Дугитыра	27	" "

**Редкие металлы и рассеянные
элементы**

Молибден

III-4	1	Заларино	27	Бороздовые прои- зы канав
-------	---	----------	----	------------------------------

Висмут

II-2	1	Халзянское	27	Штучные пробы из канав
------	---	------------	----	---------------------------

Благородные металлы

Серебро

II-2	2	Беркове Больш. Улентуя	27	Металлометаллический ореол
------	---	------------------------	----	-------------------------------

III-2	2	Берковые Мал. Харынгаты	26	Гидрохимический ореол
-------	---	-------------------------	----	--------------------------

III-2	3	Берковые Желкеса (левый)	26	То же
-------	---	--------------------------	----	-------

НЕМЕТАЛЛИЧЕСКИЕ ИСКОПАЕМЫЕ

Химические соединения

II-2	3	Улентуйское	27	Бороздовые пробы из канав
------	---	-------------	----	------------------------------

Флюорит (Флюс и химсварье)

Химсварье

II-2	3	Химсварье	27	Бороздовые пробы из канав
------	---	-----------	----	------------------------------